

об'ємних лічильників – мала похибка і порівняно широкий діапазон вимірювань.

В основному, застосовують лічильники з овальними зубцями та колесами (рис. 5.1.1.).

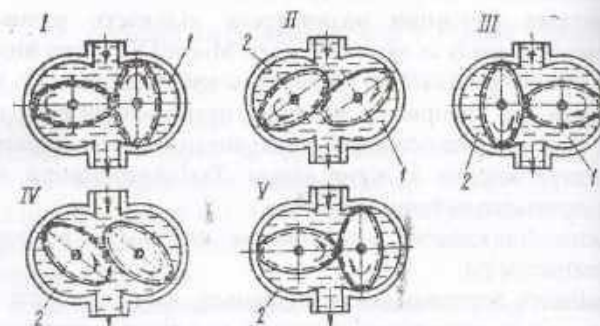


Рис. 5.1.1. Схема лічильника з овальними колесами.
1,2 - фіксовані об'єми рідини в камерах лічильника

Проходячи через лічильник, потік рідини втрачає частину своєї енергії на обертання овальних коліс. Залежно від розташування коліс відносно входу потоку рідини кожне з них почергово або веде, або ведеться. При обертанні овальних коліс періодично відсікається певний об'єм рідини, обмежений овалом коліс і стінкою вимірювальної камери. За один оберт коліс відсікається чотири певних об'єми рідини, які в сумі дорівнюють вільному об'єму вимірювальної камери лічильника.

Кількість рідини, що пройшла через лічильник, визначають за числом обертів овальних коліс. У положенні I рідина обертає праве колесо за годинниковою стрілкою, а праве колесо обертає ліве проти годинникової стрілки. В цьому положенні праве колесо відсікає певний об'єм рідини 1. У положенні II ліве колесо закінчує відсікання нового об'єму рідини 2, а праве виштовхує раніше відсічений його об'єм 1 у вихідний патрубок лічильника. В цьому положенні обертальний момент передається на обидва колеса. В положенні III ведучим є ліве колесо, яке до цього моменту вже відсіло об'єм 2. Воно обертає праве колесо за годинниковою стрілкою. Подальше обертання коліс проходить аналогічно (положення IV і V).

Для вимірювання об'ємів дуже важких рідин (мазут та інші) в лічильниках передбачають парову сорочку. Лічильники з овальними колесами випускають для трубопроводів різних діаметрів трубопроводів при робочому тиску до 1,57 МПа. Втрата напору від установки лічильника становить приблизно 0,02 МПа, похибка приладів становить $\pm 0,5\%$.

§ 5.1.2. Швидкісні лічильники для рідин

Швидкісні лічильники для вимірювання кількості рідин працюють за принципом вимірювання середньої швидкості потоку, що рухається.

Об'ємна витрата Q рідини зв'язана із середньою швидкістю потоку відношенням:

$$Q = \vartheta_{\text{ср}} \cdot S, \quad (5.1.8)$$

$\vartheta_{\text{ср}}$ – середня швидкість руху речовини, м/с;

S – площа поперечного перерізу потоку, м².

Кількість рідини, що пройшла через прилад, пропорційна частоті обертання крильчастої турбінки, розміщеної на штоку потоку. Вважають, що частота обертання турбінки пропорційна швидкості потоку, тобто:

$$n = c \vartheta_{\text{ср}}, \quad (5.1.9)$$

n – частота обертання турбінки; c – коефіцієнт пропорційності, який характеризує механічні і гідрравлічні властивості приладу.

Таким чином, випливає, що частота обертання турбінки також пропорційна витратам рідини. Проте при малих витратах відмінність не підтверджується через протикання рідини через щілини між крильчастими турбінками і корпусом лічильника, а також через тертя в опорах рухомої системи. Для зменшення сили тертя турбінки їх виготовляють із легких матеріалів.

Частота обертання турбінки лічильника в значній мірі залежить від характеристики потоку. Для зменшення турбулентності потоку перед турбінкою зі сторони входу рідини встановлюють струнеконіві прямлячі, а після турбопроводу до і після лічильника роблять згладжувачами.

Залежно від форми турбінки швидкісні лічильники розділяються на дві групи: з гвинтовою і крильчастою турбінкою.

Гвинтові турбінки розміщують паралельно вимірюваному потоку, крильчасті – перпендикулярно до нього.

Частота обертання гвинтової турбінки пропорційна швидкості потоку рідини і обернено пропорційна кроку крилець турбінки, тобто:

$$n = k \vartheta_{\text{ср}} / L, \text{ або } n = kQ / LS, \quad (5.1.10)$$

k – постійна приладу; L – крок крилець гвинта турбінки; Q – об'ємна витрата рідини; S – площа попереднього сечення потоку.

На рис. 5.1.2. показаний швидкісний лічильник з гвинтовою турбінкою, закріпленою на горизонтальній осі. В корпусі з фланцями для приєднання до трубопроводу встановлена турбінка з крильчастими, вигнутими по гвинтовій лінії. Турбінку виготовляють з пластмаси (при температурі вимірюваного середовища до 30°C) або із луїні (при більших температурах рідини).

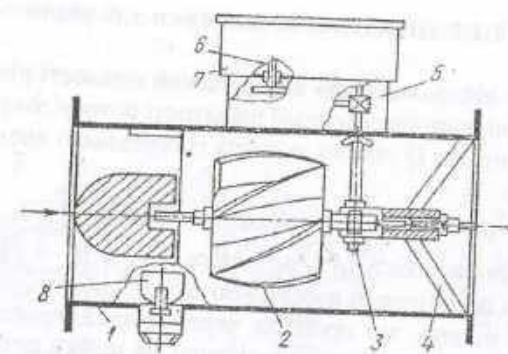


Рис. 5.1.2. Схема швидкісного лічильника рідини з гвинтовою турбінкою:
1-корпус; 2-турбінка; 3-підшипник; 4-хрестовина підшипника;
5-редуктор; 6-ущільнювач; 7-лічильний механізм

Вісь і тіло турбінки виготовляють пустотілими для зменшення сили ваги і тиску на цапфу опори. На осі турбінки перед заднім підшипником 3, закріпленим на хрестовині 4, насаджена черв'ячна пара, яка передає обертання редуктору 5. Від механізму рух передається через вісь, що проходить через ущільнювач 6, лічильному механізму 7.

Лічильний механізм герметично ізольований від корпуса приладу. Перед турбінкою зі сторони входу рідини встановлені струменевирямляч, який складається із декількох радіально закріплених прямих пластин. Кінець однієї із пластин струменевирямляча повертається навколо вертикальної осі, утворюючи лопатку 8, яка використовується для регулювання лічильника через важільний пристрій.

Для кожного лічильника існує певна величина витрат, показані нижче за що величину спричиняють низьку точність вимірювання. Точна робота лічильника можлива в тому випадку, коли розподіл швидкостей по перерізу потоку відповідає градуйованому розподілу. Наявність місцевих опорів (вентилів, колін, засувок) поблизу приладу викликає появу додаткових похибок; тому при встановленні приладу необхідно передбачити перед ним пряму ділянку трубопроводу довжиною (8-10) D, а після нього – довжиною, не меншою 5 D (де D – внутрішній діаметр трубопроводу).

Залежно від способу півлоду рідини до турбінки лічильники з крильчастою турбінкою поділяються на одноструйні (рис. 5.1.3, а) і багатоструйні (рис. 5.1.3 б). В обох випадках рідина підводиться тангенціально до крилець турбінки.

Оскільки поверхня струменевирямляча недостатньо розвинута перед лічильником і за ним повинні бути прямі ділянки труби довжиною, відповідно, 30D і 15D. Калібр лічильника може бути меншим за діаметр

трубопроводу. В цьому випадку лічильники встановлюють з конічним переходом. Швидкісні лічильники розраховані на робочий тиск рідини до 10 МПа і температуру до 40 °C. Похибка лічильників залежно від витрат може становити ± 2 - 5 %.

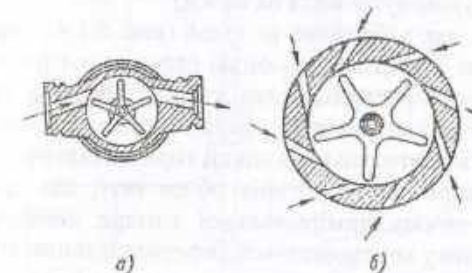


Рис. 5.1.3. Схеми руху рідини в одноструйному (а)
і багатоструйному (б) лічильниках

§ 5.1.3. Лічильники кількості газів

Серед лічильників для газів найбільш розповсюдженими є ротаційні лічильники (рис. 5.1.4).

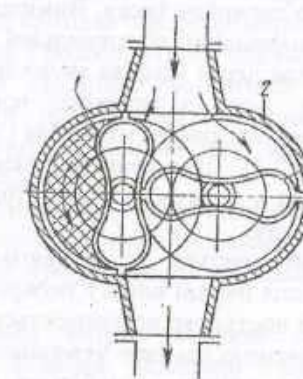


Рис. 5.1.4. Схема принципу роботи ротаційного лічильника
1-ротори лічильника; 2-кожух лічильника

Вони призначені для вимірювання великої кількості газу. Лічильник складається із кожуха 2, всередині якого обертаються на паралельних горизонтальних валах ротори 1. Вали роторів з'єднані зубчастими колесами, які знаходяться назовні кожуха 2. Від одного із валів

обертання передається лічильному механізму. Шарико-роликові підшипники валів, а також зубчаті колеса знаходяться в масленівниках і поміщені в картері. Тонкий валик, що з'єднує вал ротора з лічильним механізмом, проходить через сальник в стіні картера. Відстань між роторами і кожухом дуже мала (0,12 мм).

У положенні, яке зображене на схемі (рис. 5.1.4.), правий ротор обертається під дією газу (тиск по обидві сторони ротора одинаковий). На верхню частину лівого ротора діє газ з більш високим тиском, чим на нижній, тому лівий ротор повертається, тягнучи за собою правий. Коли правий ротор стоїть вертикально, а лівий горизонтально, то він повертає лівий. За один поворот обох роторів об'єм газу, що проходить через прилад, дорівнює об'єму вимірювальної камери лічильника. Перепад тиску газу в лічильнику контролюється диференціальним манометром.

Ротаційні лічильники застосовують для вимірювання витрат газу від 40 до 10000 м³/годину. Похибка вимірювань складає ± 2-3 %. Лічильник допускає короткочасне перевантаження до 30 %.

5.2. Витратоміри змінного перепаду тиску

§ 5.2.1. Основи теорії

Найбільш розповсюдженим методом вимірювання витрат рідини, газу є метод змінного перепаду тиску. Вимірювання витрат за цим методом базується на вимірюванні потенціальної енергії (статичного тиску) речовини, що протікає через місцеве звуження у трубопроводі. У вимірювальній техніці в ролі звужуючих пристрій (первинних перетворювачів) використовують діафрагми, сопла і трубу Вентурі.

Діафрагма (рис. 5.2.1) це тонкий диск, встановлений в трубопроводі так, щоб отвір в диску був концентричний внутрішньому контуру перерізу трубопроводу.

Звуження потоку починається до діафрагми, потім на далекій відстані за нею завдяки дії інерції потоку звужується до мінімального перерізу (діаметр d_2), а далі поступово розширяється до повного перерізу трубопровода. Перед діафрагмою і за нею утворюються зони з вихровим рухом, причому зона вихорів за діафрагмою більша, ніж перед нею.

Тиск потоку біля стінки трубопроводу дещо збільшується через підпору перед діафрагмою і знижується до мінімуму за діафрагмою в найбільш вузькому перерізі потоку. Далі, в міру розширення струменя, тиск потоку біля стінки знову підвищується, але не досягає попереднього значення. Втрата частини тиску P_n визначається головним чином втратою енергії на тертя і завихрення.

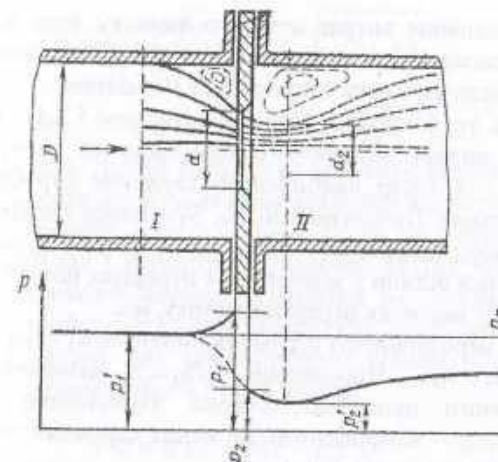


Рис. 5.2.1. Характер потоку і графік розподілу статичного тиску при установці звужуючого пристрою в трубопроводі

Зміна тиску потоку по осі трубопроводу практично співпадає із зміною тиску біля його стінки, за винятком ділянки перед діафрагмою і відносної ділянки в ній, де тиск потоку по осі трубопроводу знижується (вихрова лінія). Різниця тисків $P_1 - P_2$ є перепадом, який залежить від витрат середовища, що протікає через трубопровід середовища.

Характер потоку і розподіл тиску однакові у звужуючих пристроях всіх типів. Оскільки струмінь, що витікає через сопло, майже не завищується від його профільованої частини, втрати на завихрення виникають, в основному, за соплом, тому залишкова втрата тиску P_n у соплі менша, ніж у діафрагмі.

Ще менші втрати тиску P_n у трубі Вентурі, профіль якої близький до перерізу потоку, що проходить через звуження.

Із трьох типів звужуючих пристрій найбільш часто використовують діафрагму.

При вимірюванні витрат методом змінного перепаду тиску протікача рідина повинна повністю заповнювати весь переріз трубопроводу і звужуючого пристроя; потік у трубопроводі повинен бути постійним; фазовий склад речовини не повинен змінюватися при його проходженні через звужуючі пристрій (рідина не повинна випаровуватися, вода повинна залишатися в перегрітому стані тощо).

Теорія й основні рівняння методу змінного перепаду тисків однакові для всіх типів звужуючих пристрій, відрізняються лише деякі коефіцієнти в рівняннях, які визначаються дослідним шляхом.

Виведемо рівняння витрат для того випадку, коли в трубопроводі встановлена діафрагма і по трубопроводу протікає нестискувана рідина, густину якої до і після звуження залишається незмінною.

Виділимо в трубопроводі два перерізи (рис.5.2.1): I – переріз, на якому ще немає впливу звужуючого пристрою на характер потоку в трубопроводі; II – в місці найбільшого звуження струменя на дійсній відстані за діафрагмою. Позначимо: S_1 , S_0 , S_2 – площини поперечного перерізу трубопроводу, отвору діафрагми і найвужчого місця струменя, m^2 ; P_1 , P_2 – абсолютний тиск рідини у відповідних перерізах потоку, Pa ; v_1 , v_0 , v_2 – середні швидкості у вказаних перерізах потоку, m/s .

За умовою нерозривності струменя випливає $S_1 \cdot v_1 = S_0 v_0 = S_2 v_2$ або $S_0/S_1 = v_1/v_0$ і $S_2/S_0 = v_0/v_2$. Відношення $S_0/S_1 = m$ називається відносною площею звужуючого пристрою (модуль звужуючого пристрою), а відношення $S_2/S_0 = \mu$ – коефіцієнтом звуження струменя; тоді $v_1/v_0 = m$, а $v_0/v_2 = \mu$. Із цих відношень знаходимо:

$$v_1 = mv_0 \text{ і } v_0 = \mu v_2. \quad (5.2.1)$$

Для нестискуваної рідини при постійній густині і відсутності обміну енергії з навколошнім середовищем з урахуванням втрат і нерівномірного розподілу швидкості для перерізів I і II горизонтального трубопроводу запишемо рівняння Бернуллі:

$$P_1/\rho + k_1 v_1^2/2 = P_2/\rho + k_2 v_2^2/2 + \xi v_2^2/2, \quad (5.2.2)$$

де P/ρ – статичний тиск, який відповідає потенційній енергії; $v^2/2$ – швидкісний тиск, який відповідає кінетичної енергії; ρ – густина рідини; $\xi v^2/2$ – втрати кінетичної енергії на ділянці I і II; ξ – коефіцієнт опору на ділянці I і II; k_1 і k_2 – коефіцієнти поправок на нерівномірність розподілу швидкостей у перерізах I і II. Підставивши у рівняння (5.2.2) значення v_1 і рівняння (5.2.1) і розв'язавши рівняння (5.2.2) відносно v_2 , отримаємо:

$$v_2 = \frac{1}{\sqrt{\xi + k_1 - k_2 m^2 \cdot \mu^2}} \sqrt{\frac{2}{\rho} (P_1' - P_2')}. \quad (5.2.3)$$

При обчисленні цього рівняння абсолютні тиски P_1' і P_2' відповідають площам січень S_1 і S_2 , в дійсності P_1' і P_2' замірюють безпосередньо коло стінки трубопроводу до і після звужуючого пристрою і вони відповідають тискам P_1 і P_2 . Позначивши $\Psi = (P_1 - P_2) / (P_1 - P_2)$, отримаємо:

$$v_2 = \frac{\sqrt{\psi}}{\sqrt{\xi + k_1 - k_2 m^2 \mu^2}} \sqrt{\frac{2}{\rho} (P_1' - P_2')}. \quad (5.2.4)$$

Враховуючи рівняння об'ємних витрат для нестискуваної рідини $Q = v_2 \cdot S_2 = v_2 \mu S_0$, отримаємо:

$$Q = \frac{\mu \sqrt{\psi}}{\sqrt{\xi + k_1 - k_2 m^2 \mu^2}} \cdot S_0 \sqrt{\frac{2}{\rho} (P_1' - P_2')}. \quad (5.2.5)$$

Безрозмірний вираз $\alpha = \mu \sqrt{\psi} / \sqrt{\xi + k_1 - k_2 m^2 \mu^2}$ – називається коефіцієнтом витрат. Даний коефіцієнт враховує нерівномірний розподіл густини по перерізу потоку, який зумовлений в'язкістю рідини і тертям між стінок трубопроводу, вимірюванням тиску не в центрі потоку, а при зважках трубопроводу і введенні в рівняння витрат перерізу, S_0 замість невідомого найменшого перерізу струменя S_2 . Коефіцієнт витрат для звужуючих пристрій різних типів визначають дослідним шляхом.

Рівняння витрат для нестискуваної рідини в об'ємних (m^3/s) і масових (kg/s) одиницях мають такий вигляд:

$$Q = \alpha S_0 \sqrt{\frac{2}{\rho} (P_1 - P_2)}; \quad (5.2.6)$$

$$Q_m = \alpha S_0 \sqrt{2\rho (P_1 - P_2)}. \quad (5.2.7)$$

При вимірюванні витрат газів і парів при великих тисках і перепадах тиску у звужуючому пристрії враховують зменшення густини внаслідок зниження тиску при проходженні через звужуючий пристрій, в результаті чого масові витрати (а також об'ємні, віднесені до початкового значення ρ) дещо зменшуються.

Час, протягом якого гази і пари проходять через звужуючий пристрій, настільки незначний, що їх стиснення і наступне розширення проходить практично без обміну теплотою з навколошнім середовищем, тобто адіабатично. Для адіабатичного процесу справедливе співвідношення:

$$p_2/p_1 = (P_2/P_1)^{\frac{1}{k}}, \quad (5.2.8)$$

де k – показник адіабати.

Для газів і парів рівняння Бернуллі і нерозривності потоку записується в такому вигляді:

$$\frac{P_1'}{\rho_1} + k_1 \frac{V_1^2}{2} = \frac{P_2'}{\rho_2} + k_2 \frac{V_2^2}{2} + \xi \frac{V_2^2}{2}; \quad (5.2.9)$$

$$V_1 \cdot s_1 \cdot p_1 = V_2 \mu_k S_0 p_2, \quad (5.2.10)$$

де μ_k – коефіцієнт звуження потоку газів і парів, який залежить від відношення P_1'/P_2' .

Розв'язавши сумісно рівняння (5.2.9) і (5.2.10) з урахуванням виразу (5.2.8), отримаємо рівняння витрат для газів і парів в об'ємних (m^3/s) і масових (kg/s) одиницях відповідно:

$$Q = \alpha \varepsilon S_0 \sqrt{\frac{2}{\rho_1} (P_1 - P_2)} ; \quad (5.2.11)$$

$$Q_m = \alpha \varepsilon S_0 \sqrt{2 \rho_1 (P_1 - P_2)} , \quad (5.2.12)$$

де ε – множник поправки на розширення вимірюваного середовища, який називається коефіцієнтом розширення; ρ_1 – густина середовища перед входом потоку в отвір діафрагми.

Рівняння (5.2.11) і (5.2.12) дійсні тільки за умови, що швидкість потоку у звужуючому пристрої менша за критичну швидкість, тобто менша за швидкість звуку в даному середовищі.

Рівняння витрат для парів відрізняється від рівнянь витрат нестиснутої рідини тільки множником поправки ε . Таким чином, рівняння (5.2.11) і (5.2.12) є загальними і придатними також для нестиснутої рідини, якщо прийняти $\varepsilon=1$.

$$\text{Коефіцієнт розширення } \varepsilon = f \left(\frac{P_1 - P_2}{P_1}, m, k \right).$$

Для сопел і труб Вентурі переріз найвужчої частини потоку практично дорівнює перерізу циліндричної частини сопла і труб Вентурі, тому: $\mu = 1$ і $a = \sqrt{\nu / (\sqrt{\xi} + k_2 - k_1) \cdot m}$.

§ 5.2.2. Обчислювальні формулі

Для зручності розрахунку у формулах витрат (5.2.11) і (5.2.12) площину перерізу отвору звужуючого пристрою S_0 замінюють діаметром отвору d , вираженим у мм. На практиці зручніше користуватися годинними, а не секундними витратами. Якщо замінити $S_0 = \pi d^2/4$, то формули витрат можна переписати у вигляді:

$$Q = \frac{3600 \cdot \pi \cdot \sqrt{2}}{4} \alpha \varepsilon d^2 \sqrt{\frac{P_1 - P_2}{\rho}} = 3,9986 \cdot 10^3 \alpha \varepsilon d^2 \sqrt{\frac{P_1 - P_2}{\rho}} \approx 4 \cdot 10^3 \alpha \varepsilon d^2 \sqrt{\frac{P_1 - P_2}{\rho}} ; \quad (5.2.13)$$

$$Q_m = 4 \cdot 10^3 \alpha \varepsilon d^2 \sqrt{\rho (P_1 - P_2)} , \quad (5.2.14)$$

де Q і Q_m , відповідно, в $\text{m}^3/\text{годину}$ і $\text{kg}/\text{годину}$.

Позначивши внутрішній діаметр трубопроводу через D , та урахуванням того, що $d^2/D^2 = m$, рівняння (5.2.13) і (5.2.14) можна переписати у такому вигляді:

$$Q = 4 \cdot 10^3 \alpha \cdot \varepsilon m D^2 \sqrt{P_1 - P_2} \rho ; \quad (5.2.15)$$

$$Q_m = 4 \cdot 10^3 \alpha \cdot \varepsilon m D^2 \sqrt{\rho (P_1 - P_2)} . \quad (5.2.16)$$

Через те, що дифманометри, які працюють із звужуючими пристроями, градуйовані в kgs/cm^2 або kgs/m^2 , перетворимо рівняння (5.2.13) і (5.2.14), щоб перепад тиску в них був наведений у kgs/m^2 .

Для цього рівняння (16.13) і (16.14) помножимо на $\sqrt{9,81}$.

Зважуючи, що $4 \cdot 10^3 \sqrt{9,81} = 0,01252$, отримаємо наступні рівняння:

$$Q = 0,01252 \alpha \varepsilon d^2 \sqrt{(P_1 - P_2) / \rho} ; \quad (5.2.17)$$

$$Q_m = 0,01252 \alpha \varepsilon d^2 \sqrt{(P_1 - P_2) / \rho} . \quad (5.2.18)$$

Останні формули є основними при розрахунку звужуючих пристроя; у них d у мм; ρ у kg/m^3 і $(P_1 - P_2)$ у kgs/m^2 .

З рівнянь (5.2.11) і (5.2.12) випливає, що для однозначності витрат від перепаду тиску на звужуючих пристроях необхідна однією залежністю всіх величин, які входять у ці рівняння.

Величина S_0 постійна для кожного конкретного випадку.

Коефіцієнт витрат α – залежить від геометричної форми звужуючого пристроя і фізичних властивостей потоку вимірюваного середовища. В загальному випадку коефіцієнт витрат для звужуючих пристрій виражається залежністю $\alpha = f (Re, m)$. Експериментально встановлено, що коефіцієнт витрат залежить від характеру руху тільки до певного значення числа Рейнольдса, вище якого він визначається тільки величиною m .

На рис. 5.2.2 наведена діаграма для визначення початкового коефіцієнта витрат α_0 діафрагм для різних значень m та числа Рейнольдса.

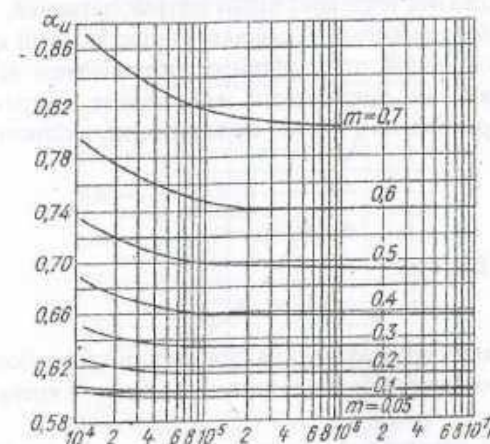


Рис. 5.2.2. Залежність початкового коефіцієнта витрат для діафрагми від числа Рейнольдса

Для сопел і труби Вентурі діаграма визначення початкового коефіцієнта витрат від числа Рейнольдса і від m наведена на рис. 5.2.3.

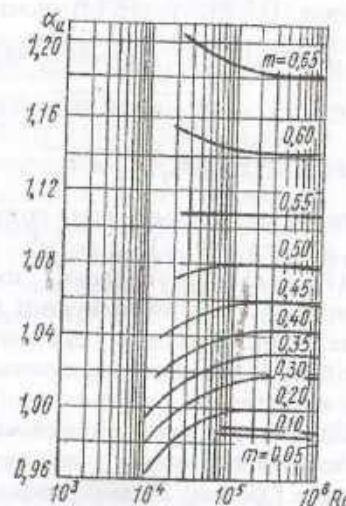


Рис. 5.2.3. Залежність початкового коефіцієнта витрат сопла і труби Вентурі від числа Рейнольдса і від m

Для шороховатих труб коефіцієнт витрат, зазвичай, збільшується і в значення α_u необхідно вносити поправку. Якщо входний край діафрагми закручений або скосений, то коефіцієнт витрат також збільшується. У більшості випадків до початкового коефіцієнта витрат вносять дві поправки – на шороховатість труби і на затуплення входного краю:

для діафрагми

$$\alpha = \alpha_u \cdot k_2 \cdot k_3 ; \quad (5.2.19)$$

для сопел і труби Вентурі

$$\alpha = \alpha_u \cdot k_2 , \quad (5.2.20)$$

де k_2 – множник, який враховує вплив шороховатості трубопроводу;

k_3 – множник, який враховує притуплення входного краю діафрагми.

На рис. 5.2.4 наведена діаграма для визначення коефіцієнта витрат звужуючих пристрій від величини m для гладких труб.

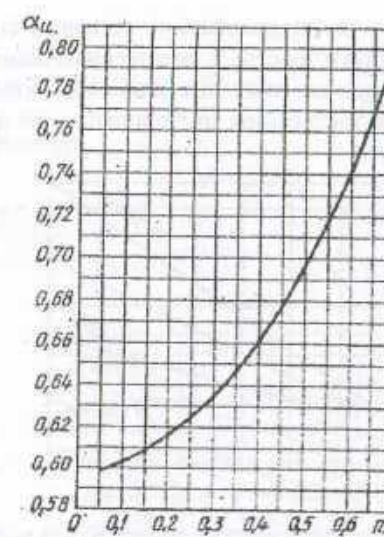


Рис. 5.2.4. Залежність початкового коефіцієнта витрат діафрагм від m

На рис. 5.2.5. наведена залежність початкового коефіцієнта витрат сопел і труби Вентурі від m .

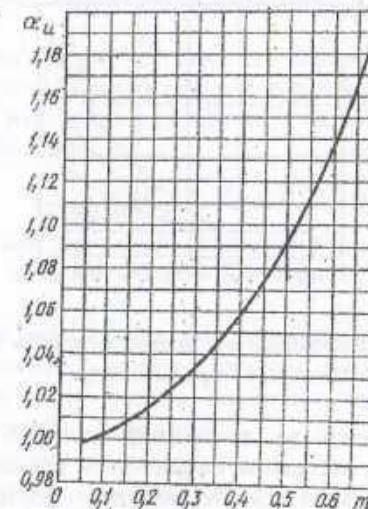


Рис. 5.2.5. Залежність початкового коефіцієнта витрат сопел і труби Вентурі від m

У загальному випадку шороховатість підвищує коефіцієнт витрат, причому вплив цієї поправки зростає із зменшенням діаметра труби.

На рис. 5.2.6 наведено значення множника поправки K_2 , який враховує вплив шороховатості стінок трубопроводу для діафрагм.

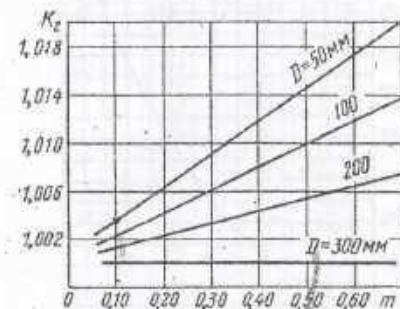


Рис. 5.2.6. Залежність множника поправки K_2 від t для діафрагми

На рис. 5.2.7 наведено значення множника поправки K_2 , який враховує вплив шороховатості для сопел і труб Вентурі.

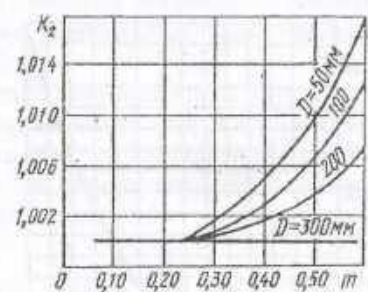


Рис. 5.2.7. Залежність множника поправки K_2 від t для сопел і труб Вентурі

Множник поправки на затуплення вхідного краю діафрагми визначають за графіком наведеним на рис. 5.2.8; для сопел і труб Вентурі $K_3 = 1$, тому що вхідні отвори їх мають обтікачу форму.

Множник поправки ε , який враховує зміну густини середовища (газу чи пари) при проходженні через звужуючий пристрій визначають за допомогою таких формул:

для діафрагми

$$\varepsilon = 1 - (0,3707 + 0,3184 m^2) \left[1 - \left(1 - \frac{\Delta P}{P_i} \right)^{\frac{1}{k}} \right]^{0,915}, \quad (5.2.21)$$

для сопел і труб Вентурі

$$\varepsilon = \left[\left(1 - \frac{\Delta P}{P_i} \right)^{\frac{2}{k}} \frac{k}{k-1} \frac{1 - \left(1 - \frac{\Delta P}{P_i} \right)^{\frac{k-1}{k}}}{\Delta P / P_i} \frac{1 - m^2}{1 - m^2 \left(1 - \frac{\Delta P}{P_i} \right)^{\frac{2}{k}}} \right]^{1/2}. \quad (5.2.22)$$

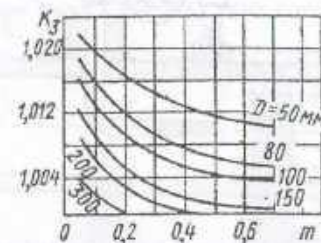


Рис. 5.2.8. Залежність множника поправки K_3 , який враховує затуплення вхідного краю діафрагми від t і D

5.3. Витратоміри динамічного тиску

Вимірювання витрат базується на залежності динамічного тиску від швидкості потоку контролюваного середовища. Згідно з рівнянням Бернуллі, різниця між повним і статичним тиском $P_n - P_c = v^2 \rho / 2$, звідки швидкість, м/с становить:

$$v = \sqrt{2(P_n - P_c) / \rho} = \sqrt{2P_n / \rho}, \quad (5.3.1)$$

де P_n , P_c і P_v – повний, статичний і динамічний тиск,

P_n ; v і ρ – швидкість (м/с) і густину (kg/m^3) контролюваного середовища.

Динамічний тиск, а значить і швидкість, вимірюють швидкісними трубками в комплекті з диференціальним манометром (рис. 5.3.1). За наведеною схемою лівою трубкою вимірюють статичний тиск, а правою (зігнутою під кутом 90°) – повний тиск.

Диференціальний манометр, що з'єднує обидві трубки показує різницю між повним і статичним тиском, тобто динамічний тиск. Якщо при цьому різниця рівна робочій рідині в дифманометрі дорівнює h , то динамічний тиск становитиме:

$$P_n = P_n - P_c = h g (\rho_1 - \rho), \quad (5.3.2)$$

де ρ_1 – густина робочої рідини в дифманометрі, kg/m^3 , g – прискорення сили земного тяжіння, m/s^2 .

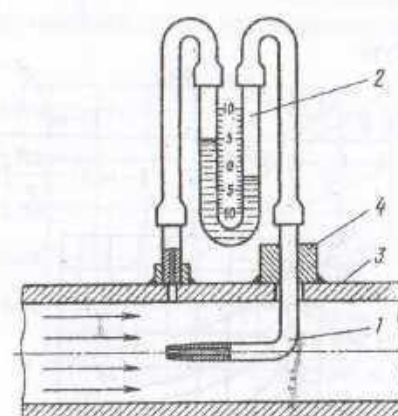


Рис. 5.3.1. Схема вимірювання динамічного тиску
1 – трубка повного тиску; 2 – дифманометр; 3 – трубопровід; 4 – ущільнювач

Підставляючи значення P_v із формулі (17.2) у формулу (17.1), отримаємо:

$$v = \sqrt{\frac{2g}{\rho}} h(\rho_1 - \rho) . \quad (5.3.3)$$

Розглянутий спосіб вимірювання одинарною напірною трубкою вперше застосований у 1732 році вченим Піто для вимірювання швидкості води. Пізніше Прандтль доповнив прилад прямою трубкою, після чого він дістав назву трубка Піто-Прандтля.

Зовнішній діаметр напірної трубки повинен бути невеликим, щоб не викликати значного звуження потоку в місці установки трубки. Зазвичай, зовнішній діаметр напірної трубки не перевищує 1/10 внутрішнього діаметра трубопроводу. Вимірюваний динамічний тиск, зазвичай, невеликий, тому при малих швидкостях потоків застосовують мікроманометри з нахиленою трубкою, або чашкові.

Напірними трубками повний і статичний тиск вимірюють з деякою похибкою, яка залежить від конструкції напірної трубки. Це пояснюється тим, що практично неможливо сумістити в одній точці входні отвори правої і лівої трубок, тому у формулу (5.3.3) вводять коефіцієнт поправки ξ , який враховує конструктивні особливості і неточності виготовлення трубок. Коефіцієнт ξ для трубок різних конструкцій визначають дослідним шляхом.

В загальному виді формула для визначення швидкості набуде такоого вигляду:

$$v = \xi \sqrt{\frac{2g}{\rho}} h(\rho_1 - \rho) . \quad (5.3.4)$$

Для трубок досконалої конструкції при $Re > 700$ коефіцієнт ξ наближається до одиниці, при $Re < 700$ коефіцієнт ξ зменшується і може значно відрізнятися від одиниці.

Із застосованих конструкцій напірних трубок найбільше розповсюдженні нормалізований двійні трубки з півсферичним і конічним (гострим) наконечником (рис.5.3.2), для яких коефіцієнт $\xi=1$.

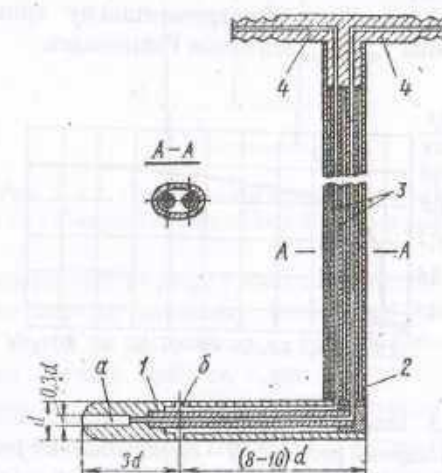


Рис.5.3.2. Нормалізована подвійна напірна трубка з півсферичним наконечником
1-вимірювальний циліндр; 2-держак; 3-металева трубка; 4-штуцери

Трубка складається із вимірювального циліндра 1, який має центральний отвір d для сприйняття повного тиску. На вимірювальному циліндрі є два, або чотири отвори b для вимірювання статичного тиску. Один кінець вимірювального циліндра закріплений на держаку 2, овального перерізу з двома штуцерами 4 для під'єднання до дифманометра. Центральний отвір вимірювального циліндра сполучений насрізним каналом всередині вимірювального циліндра і металової трубки 3, розміщеної в держаку 2 із штуцером трубки з більшим тиском.

Статичний тиск передається через кільцеву щілину, сполучену із другою металевою трубкою 3 всередині держака 2. Швидкісну трубку встановлюють в отворі, просвердленому в стінці трубопроводу, і

закріплюють або на фланці, або в штуцері з ущільнювачем. У випадках бажано забезпечити можливість поздовжнього переміщення трубки. Швидкісні трубки встановлюють на прямих ділянках трубопроводів або після струменевирямлячів.

При визначенні витрат швидкісними трубками повинна бути вимірювана середня по перерізу трубопроводу швидкість потоку. Найпростіший спосіб визначення середньої швидкості v_{cp} у трубопроводі круглого перерізу при ламінарному і турбулентному русі базується на використанні залежності $v_{cp}/v_{max} = f(Re)$, де v_{max} – максимальна швидкість потоку по осі трубопроводу; Re – число Рейнольдса, віднесене до діаметра трубопроводу.

На рис. 5.3.3 показано експериментальну криву, яка показує залежність відношення v_{cp}/v_{max} від числа Рейнольдса.

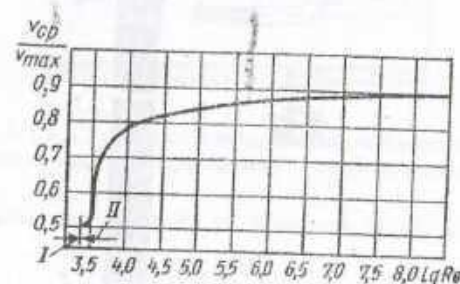


Рис. 5.3.3. Залежність v_{cp}/v_{max} від числа Рейнольдса (I – ламінарний режим; II – турбулентний режим)

Швидкісну трубку встановлюють по осі трубопроводу, вимірюють v_{max} , по ній розраховують Re , а потім по графіку (див. рис. 5.3.3) визначають середню швидкість v_{cp} . Переріз трубопроводу, в якому встановлюють трубку повинен знаходитись на відстані (40-50) D від входу.

5.4. Витратоміри постійного перепаду тиску.

До приладів постійного перепаду тисків відносяться ротаметри, поплавкові і поршневі витратоміри. Найбільше застосування мають ротаметри і поплавкові витратоміри, шкали яких практично рівномірні. Їх можна використовувати для вимірювання малих витрат, тому втрати є незначні і не залежать від витрат. Ротаметри і поплавкові витратоміри мають великий діапазон вимірювань, ($Q_{max}/Q_{min}=10:1$).

Потік рідини чи газу що знизу проходить через ротаметр (рис. 5.4.1) діє поплавок доти, поки розширяюча кільцева щілина між тілом поплавка і стінками конусної трубки не досягне такого значення, при якому сили, що діють на поплавок, врівноважуються. При рівновазі сил поплавок встановлюється на деякій висоті, яка залежить від витрат.

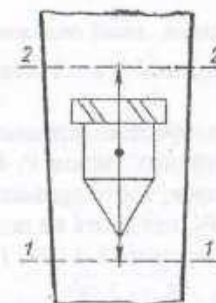


Рис. 5.4.1. Принципова схема ротаметра
1 – 1 і 2 – 2 – переріз потоку по двох діаметрах ротаметра

На поплавок ротаметра зверху вниз діє дві сили: сила ваги G_a і сила опору потоку на верхню площину поплавка. Сила ваги становить $G_a = V \cdot \rho_n \cdot g$, де V – об'єм поплавка, ρ_n – густина матеріалу поплавка; g – прискорення сили земного тяжіння. Сила від тиску потоку на верхню площину поплавка становить $P'_2 S$, де P'_2 – середній тиск потоку на верхню площину верхньої поверхні поплавка; S – площа найбільшого перерізу поплавка. Знизу вверх на поплавок діють також дві сили: сила тиску потоку на нижню площину поплавка $P'_1 S$ і сила тертя потоку до поплавка $k v_k^2 S_n$, де k – коефіцієнт опору, який залежить від числа Рейнольдса і степені шороховатості поверхні; v_k – середня швидкість потоку в кільцевому каналі, охоплюючим бокову поверхню поплавка; S_n – площа нижньої поверхні поплавка; n – показник, який залежить від швидкості.

Поплавок врівноважений в тому випадку, якщо виконується рівність:

$$V\rho_n g + P'_2 S = P'_1 S + k v_k^2 S_n, \quad (5.4.1)$$

або

$$P'_1 - P'_2 = \frac{V\rho_n g}{S} - \frac{k v_k^2 S_n}{S}. \quad (5.4.2)$$

Якщо припустити, що при всіх витратах v_k – величина постійна (із збільшенням витрат збільшується площа кільцевого каналу), то права частина рівняння (5.4.2) буде постійною, оскільки решта величин для

даного приладу незмінні. Таким чином, різниця тисків на поплавок $P_1 - P_2 = \text{const}$, тобто ротаметр є приладом постійного перепаду тисків.

Різниця статичного тиску $P_1 - P_2$ змінюється, оскільки діє сама динамічного тиску потоку, яка становить:

$$F = \varphi \rho \cdot S \cdot \vartheta_1^2 / 2, \quad (5.4.3)$$

де φ – коефіцієнт опору поплавка, який залежить від його форми; ϑ_1 – середня швидкість потоку в січенні I-I; ρ – густинна речовини, яка протікає через ротаметр.

Із збільшенням витрат зростає швидкість v , а таким чином, величина F ; тоді різниця статичних тисків $P_1 - P_2$ повинна зменшуватися (гідростатичний тиск на поплавок, тобто архімедова сила, вже враховано) у різниці статичних тисків $P_1 - P_2$, що діють на поплавок).

Рівняння Бернуллі для перерізів 1-1 і 2-2 (рис. 5.4.1) має вигляд:

$$\frac{P_{1,0}}{\rho g} + \frac{k_1 \vartheta_1^2}{2g} + L_1 = \frac{P_{2,0}}{\rho g} + \frac{k_2 \vartheta_2^2}{2g} + L_2 + \zeta \frac{\vartheta_2^2}{2g}, \quad (5.4.4)$$

де $P_{1,0}$ – середній статичний тиск у перерізі 1-1, починаючи з якого здійснюється вплив поплавка на потік; $P_{2,0}$ – середній статичний тиск в перерізі 2-2, який співпадає з самим вузьким місцем струменя після проходу його через кільцевий отвір; ϑ_1 і ϑ_2 – середні швидкості потоку у перерізах 1-1 і 2-2; k_1 і k_2 – коефіцієнти нерівномірності розподілу швидкості у перерізах 1-1 і 2-2; L_1 і L_2 – висота січень 1-1 і 2-2 над деяким початковим рівнем; ζ – коефіцієнт втрат енергії на ділянці між перерізами 1-1 і 2-2.

Згідно із законом нерозривності потоку, можна записати для перерізів 1-1 і 2-2 таке:

$$Q = \vartheta_1 \cdot S_1 = \vartheta_2 \cdot S_2 = \vartheta_2 \cdot \mu \cdot S_k, \quad (5.4.5)$$

де Q – об'ємна витрата рідини; S_1 і S_2 – площини січень потоку в перерізах 1-1 і 2-2; $\mu = S_2/S_k$ – коефіцієнт стиснення струменя; S_k – площа кільцевого перерізу.

Сумісним розв'язком рівнянь (5.4.4) і (5.4.5) отримаємо рівняння об'ємних витрат:

$$Q = \alpha \cdot S_k \sqrt{\frac{2}{p} (P_1 - P_2) - 2q\ell}, \quad (5.4.6)$$

де $\alpha = \mu \sqrt{\varphi} / \sqrt{\zeta + k_1 - k_1 \mu^2 (S_k / S_1)^2}$ – коефіцієнт витрат;

$P_1 - P_2$ – різниця статичного тиску, яка діє на поплавок;

$$1 = (L_1 - L_2) / \psi \sim (L_1 - L_2); \quad \psi = (P_{1,0} - P_{2,0}) / (P_1 - P_2).$$

Якщо врахувати динамічний тиск потоку на поплавок, то різниця статичних тисків становить:

$$P_1 - P_2 = \frac{V \rho_a \cdot g}{S} - k \vartheta_e^2 \frac{\vartheta_1^2}{S} - \varphi \rho \frac{\vartheta_1^2}{2}. \quad (5.4.7)$$

Підставивши в рівняння (5.4.6) значення $P_1 - P_2$ із рівняння (5.4.7), отримаємо:

$$Q = a \cdot S_k \sqrt{\frac{2}{p} \left(\frac{V \rho_a g}{S} - k \vartheta_e^2 \frac{S_d}{S} - \varphi \rho \frac{\vartheta_1^2}{2} - 2g\ell \right)}. \quad (5.4.8)$$

Рівняння (5.4.8) можна переписати у такому вигляді:

$$Q = a \cdot S_k \sqrt{\frac{2gV(\rho_a - \rho)}{\rho_s}}, \quad (5.4.9)$$

$$a_1 = \alpha \sqrt{\frac{q(V\rho_a - S\ell\rho) - kS_d\vartheta_e - \varphi\rho\vartheta_1^2/2}{qV(\rho_a - \rho)}}. \quad (5.4.10)$$

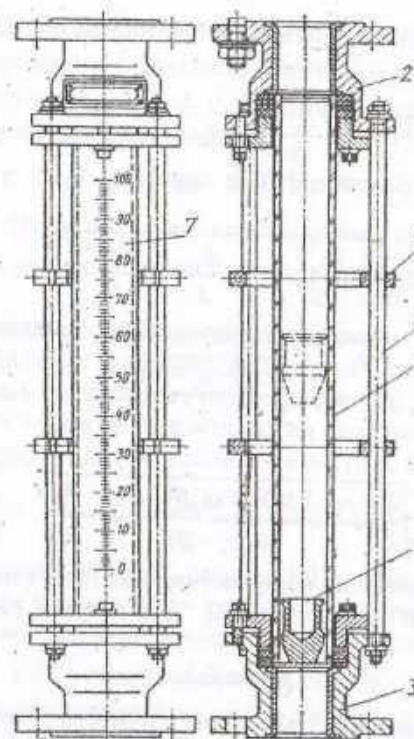
Оскільки величини під коренем рівняння (5.4.9) практично постійні, їх можна замінити коефіцієнтом k . Тоді витрати виражаються такою формулою:

$$Q = a_1 S_k k. \quad (5.4.11)$$

Ця залежність лінійна, тому шкала ротаметра рівномірна.

Ротаметр із скляною трубкою (рис. 5.4.2) складається із конічної трубки 1, закріпленої в двох металевих головках 2 і 3 обладнаних шайбами і фланцями для потоку у вертикальному трубопроводі. Головки з'єднані декількома тягами 4, які утворюють разом з поперечинами 5 захисну решітку навколо скляної трубки. Всередині трубки 1 вільно ротаціонований поплавок 6, який має форму дзиги.

У нижній головці є сідло, на яке опускається поплавок при зупинці потоку речовини. Верхня головка обладнана обмежувачем ходу поплавка. Сідло і обмежувач ходу не дозволяють поплавку вийти за межі скляної трубки. Шкала 7 приладу витравлена на поверхні скляної трубки; відлік ведеть по верхній горизонтальній площині поплавка. У верхній частині поплавка є косі прорізи (див. рис. 5.4.1) завдяки чому поплавок обертається навколо вертикальної осі. При обертанні поплавок центрується всередині трубки не торкаючись стінок. Максимальний тиск рідини або газу ротаметрів із скляною трубкою становить 0,58 МПа. При більш високих тисках рідини або газу, а також для вимірювання витрат пари застосовують ротаметри з металевою конічною трубкою. Покази такого приладу змінюють за допомогою показчика, сполученого з поплавковим стрижнем.



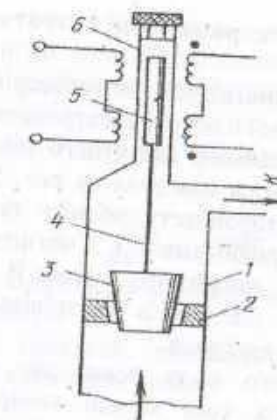
*Рис. 5.4.2. Ротаметр із скляною конусною трубкою
1-кінцева трубка; 2,3-металеві головки; 4-тяги; 5-поплавок; 6-шакла пружини*

Розглянуті ротаметри мають такі недоліки: неможливість передачі показів на відстані; недостатня чіткість шкал приладів.

Прилади з металевою трубкою і електричною чи пневматичною передачею показів на відстані не мають цих недоліків. Вимірювання пристрій таких ротаметрів не відрізняється від описаних раніше вимірювальних пристрій розглядуваних ротаметрів.

На рис. 5.4.3 наведена схема принципу роботи поплавкового витратоміра з електричною диференційно-трансформаторною передачею показів на відстані.

Вимірювальна частина витратоміра складається із діелектричного металевого корпуса 1 (стал 12Х18Н9Т) з діафрагмою 2. Всередині діафрагми переміщується конусний поплавок 3, жорстко посаджений на шток 4. На верхньому кінці штика 4 закріплений сердечник 5 диференційно-трансформаторного давача. Сердечник 5 переміщується всередині розділюючої трубки 6, зовні якої знаходиться котушка давача.



*Рис. 5.4.3. Схема поплавкового витратоміра з диференційно-трансформаторним датчиком
1-корпус; 2-діафрагма; 3-конусний поплавок; 4-шток; 5-сердечник; 6-розділююча трубка*

В іншій моделі такого витратоміра поплавок переміщується всередині конічної трубки. Безшкальні витратоміри працюють в комплекті з показуючим або реєструючим вторинним диференційно-трансформаторним пристроям. Такі витратоміри розраховані на робочий тиск до 6,27 МПа.

5.5. Безконтактні витратоміри

Розглянуті методи і прилади для вимірювання витрат рідин, парів і газів мають ряд суттєвих недоліків, головним із яких є наявність контакту датчика з контролюваним середовищем і зумовлена цим вимірюванням тиску потоку вимірюваного середовища. Існуючі прилади для вимірювання витрат також недостатньо точні, не задовільняють вимогам до стабільності показів, надійності в роботі і простоти виготовлення.

Специфічні особливості процесів контролю навколошнього середовища при виникненні надзвичайних ситуацій та для контролю навколошнього середовища обумовлюють необхідність використання допоміжної апаратури для захисту пристрій від корозії, вибухонебезпечності та токсичності середовища. Використання спеціальних захисних пристрій в значній мірі знижує точність і надійність таких пристрій.

Останнім часом створено багато безконтактних методів і пристрій для вимірювання витрат.

§ 5.5.1. Електромагнітні витратоміри

Принцип дії електромагнітних витратомірів (ЕМВ) базується на вимірюванні ЕРС, індукованої в потоці електропровідної рідини (кислота, лугу, солі) під дією зовнішнього магнітного поля. Принципова схема електромагнітного витратоміра наведена на рис. 5.5.1. Трубопровід 1 є немагнітного матеріалу (фторопласти, еbonіту та ін.) з рухомою в ньому рідинкою розміщений між полюсами 2 і 3 магніта, перпендикулярно напрямку силових ліній магнітного поля. В стінки трубопроводу діаметрально протилежно (заодно із внутрішньою поверхнею труби) вмонтовані вимірювальні електроди.

Під дією магнітного поля йони, що знаходяться в рідині, перемішуються і віддають свої заряди вимірювальним електродам, створюючи в них ЕРС, пропорційну швидкості руху рідини.

До електродів під'єднаний вимірювальний прилад 4, шкала якого відградуйована в одиницях витрат.

Величина ЕРС (у випадку постійного магнітного поля) визначається основним рівнянням електромагнітної інструкції:

$$E = B \cdot d \cdot v_{cp}, \quad (5.5.1)$$

де B – магнітна індукція в зазорі між полюсами магніту;

d – внутрішній діаметр трубопроводу (довжина провідника);

v_{cp} – середня швидкість потоку рідини.

Виразивши швидкість через об'ємні витрати Q , отримаємо (для трубопроводів круглого сечення):

$$E = 4BQ / (\pi d). \quad (5.5.2)$$

Із цієї формули випливає, що при однорідному магнітному полі ЕРС прямо пропорційна об'ємним витратам.

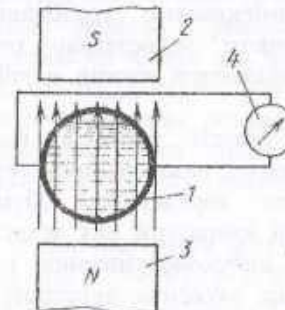


Рис. 5.5.1. Схема електромагнітного витратоміра
1 - трубопровід; 2,3 - полюси магніту; 4 - вимірювальний прилад

Сьогодні в електромагнітних витратомірах застосовують періодично змінне магнітне поле. Якщо магнітне поле змінюється в часі з частотою f , то для трубопроводу круглого перерізу ЕРС має такий вигляд:

$$E = B_{max} \cdot d \cdot v_{cp} \cdot \sin \omega t, \quad (5.5.3)$$

$$E = \frac{4Q}{\pi d} B_{max} \cdot \sin \omega t, \quad (5.5.4)$$

$B_{max} = B / (\sin \omega t)$ – амплітудне значення магнітної індукції;

$\omega = 2\pi f$ – колова частота.

На рис. 5.5.2 наведена еквівалентна схема перетворювача витратоміра із змінним магнітним полем.

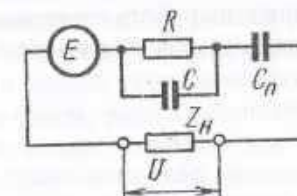


Рис. 5.5.2. Еквівалентна схема
перетворювача електромагнітного витратоміра
E – генератор; C, Cn – ємності генератора; Zn – опір навантаження; R – опір генератора

Перетворювач витрат у схемі замінений еквівалентним генератором – E ; R , C_n . Ємність C_n враховує процес поляризації електродів, який все ж таки проявляється на промисловій частоті, використовуваній у витратомірах. Залежність між напругою U , і вимірювана приладом ЕРС, що розвивається перетворювачем, має вигляд:

$$U = E / (1 + \frac{Z}{Z_n}), \quad (5.5.5)$$

Z – внутрішній опір перетворювача; Z_n – опір навантаження (вимірювального приладу і з'єднувальних приладів). Для зменшення впливу ефекту поляризації необхідно, щоб $Z_n \gg Z$. В електромагнітних витратомірах, зазвичай, $Z_n >(100...150) Z$. Зменшення Z досягається збільшенням частоти змінного магнітного поля і збільшенням ємності C_n .

У сучасних електромагнітних витратомірах для підсилення сигналу, який змірюється з перетворювача, використовують підсилювач з великим входним опором. Це є важлива перевага електромагнітних витратомірів.

Питання до п'ятого розділу.

1. Як впливає густина речовини на витрати?
2. Що називається нормальними умовами газу?
3. Поясніть фізичну суть коефіцієнта стиснення газів?
4. На чому базується принцип дії об'ємних лічильників?
5. Який принцип роботи швидкісних лічильників?
6. Які пристрої використовують у приладах змінного перепаду тиску?
7. Поясніть фізичну суть коефіцієнта витрат.
8. Який принцип роботи витратомірів динамічного типу?
9. Як називаються прилади постійного перепаду тиску?
10. Назвіть типи ротаметрів, які використовують для вимірювання витрат.
11. На чому базується принцип роботи електромагнітних витратомірів?
12. Які переваги електромагнітних витратомірів перед витратомірами інших конструкцій?

Розділ 6**МЕТОДИ І ПРИЛАДИ ДЛЯ АНАЛІЗУ СКЛАДУ
І ВИМІРЮВАННЯ ПАРАМЕТРІВ
РЕЧОВИН І ДОВКІЛЛЯ****6. Загальні відомості, класифікація методів і приладів
для аналізу складу і вимірювання параметрів речовин і довкілля**

До недавнього часу для аналітичного контролю параметрів навколишнього середовища в основному застосовували методи опораторного аналізу періодично відібраних проб аналізованих речовин. При широкій розвиток автоматизації, електроніки і досягненням наукової електроніки вимагають розробки методів і приладів, які придатні для автоматичного аналізу і контролю параметрів навколишнього середовища.

При контролі й аналізі навколишнього середовища доводиться вимірювати, головним чином, рідкі і газоподібні речовини. У більшості випадків під аналізом складу речовини мають на увазі визначення її хімічного, функціонального або молекулярного складу; деколи необхідно також визначити фазовий склад середовища. Прилади для визначення складу середовища називаються аналізаторами. В простійшому випадку аналіз може бути виконаний без перетворення проби, коли про склад аналізованого середовища можна дізнатися безпосередньо за вимірюваними параметрами.

Вимірювані параметри проби можна поділити на механічні (швидкість і поглинання звуку, густина), теплові і кінематичні (питома теплота, тепlopровідність, в'язкість), електричні і магнітні (провідність, потенціал, діелектрична проникність, магнітні властивості), оптичні (коєфіцієнти поглинання, відбивання, заломлення і розсіювання, інтенсивність випромінювання, магнітооптичне обертання).

Вимірювання механічних параметрів (швидкості і поглинання звуку) складає основу акустичних методів аналізу. На вимірюванні теплових і кінетичних параметрів – питомої теплоти, тепlopровідності і в'язкості – основані, відповідно, методи: колориметрія, термокондуктометрія і віскозометрія.

Значна група методів базується на вимірюванні електрических і магнітних параметрів: на зміні провідності – кондуктометрія, потенціалу (pH -метрія), полярографія, діелектричні проникності – діелькометрія, магнітному сприйнятті – магнітомеханічні методи аналізу.

Широко розповсюджені в аналітичній практиці методи аналізу, що базуються на безпосередньому вимірюванні оптичних параметрів аналізованої проби: на вимірюванні коєфіцієнта поглинання –

абсорбційно-оптичний, коефіцієнта заломлення – рефрактометрія, коефіцієнта оптичної активності – поляриметрія, коефіцієнта розсіювання – нефелометрія, турбідиметрія.

Додаткове цілеспрямоване перетворення проби при аналізі допомагає забезпечити підвищену вибірковість аналізу. Для перетворення проби можна використовувати як фізичні, так і хімічні методи. Якщо вплив на пробу призводить до суттєвої зміни її фізичних властивостей, то таке перетворення називається фізичним. Якщо вплив на пробу призводить до суттєвої зміни її складу, то таке перетворення називається хімічним.

Поседнання йонізації з наступним вимірюванням провідності йонізованого газу складає основу йонізаційних методів аналізу, а поєднання йонізації з вимірюванням оптичних параметрів – основу атомно-абсорбційної спектрофотометрії. На попередньому просторовому і часовому розділенні проби на компоненти з наступним вимірюванням тепlopровідності, електропровідності й оптичних параметрів основу методи хроматографії і мас-спектрометрії.

Хімічна реакція з наступною зміною колъювого ефекту (оптичні параметрів) складає основу фотоколориметричних методів.

При автоматичному контролі концентрації (складу) і властивостей рідин найбільшого розповсюдження набули такі методи аналізу без попереднього перетворення проби: кондуктометричний, потенціометричний, полярографічний дієлькометричний, оптичні (рефрактометричний, абсорбційний, люмінесцентний, поляризаційний, турбідиметричний, нефелометричний), за величиною температурної депресії і тиску насичених парів – радіоізотопний, механічний (густина), кінетичний (в'язкість); з попереднім перетворенням проби – титрометричний.

Для автоматичного аналізу газів: без попереднього перетворення проби – абсорбційно-оптичні (інфрачервоного і ультрафіолетового поглинання), термоCONDуктометричний, термомагнітний, пневматичний; з попереднім перетворенням проби – електрохімічний (кондуктометричний, кулонометричний, полярографічний, потенціометричний), термохімічний, фотоколориметричний, полу'яно-йонізаційний, аерозольно-йонізаційний, хроматографічний, мас-спектрометричний. Далі у викладі приведена наведену класифікацію.

6.1. Хроматографічний метод аналізу

§ 6.1.1. Загальні відомості. Фізичні основи методу

Хроматографічний метод аналізу призначений для визначення кількісного і якісного складу сумішей газових і рідких речовин. Метод оснований на розділені досліджуваної суміші на компоненти за рахунок

різної сорбції компонентів при русі суміші по шару сорбента. При цьому компоненти суміші газів під дією потоку рухомої фази переміщуються по шару сорбента, який є нерухомою фазою з різними швидкостями. Рухома фаза – з газом або рідину, нерухома фаза – рідину або твердим тілом.

Метод, реалізований в аналітичних приладах, які називаються хроматографами. Нерухома фаза в хроматографах розміщена в хроматографічних колонках і являє собою тверду порошкоподібну речовину або рідину, нанесену у вигляді тонкої плівки на твердий носій. Залежно від стартового стану рухомої фази (газ або рідина) хроматографи відрізняються, відповідно, на газові і рідинні. Області застосування газових хроматографів різні, проте принцип їх дії одинаковий.

Схема хроматографічного аналізу, двохкомпонентної суміші (рис. 6.1.1) ілюструє принцип дії і взаємозв'язок основних пристрій у хроматографі. Доза досліджуваної суміші A+B строго визначеного об'єму подається дозатором 1 у потік рухомої фази C і попадає у хроматографічну колонку 2 (рис. 6.1.1, I). У колонці внаслідок взаємодії з нерухомою фазою компоненти суміші A і B сповільнюють рух і набувають різних швидкостей. Різниця швидкості руху компонентів в колонці призводить до створення зон бінарних сумішей (компонент + рухома фаза), розділених зоною чистої рухомої фази (рис. 6.1.1, II).

При подальшому переміщенні компонентів на колонці зона чистої рухомої фази між ними збільшується до тих пір, поки компоненти не виїдуть із колонки з потоком рухомої фази (рис. 6.1.1, III, IV). Після виходу із колонки компоненти в установлений послідовності поступають у детектор 3 – пристрій, який перетворює зміну складу рухомої фази у електричний сигнал.

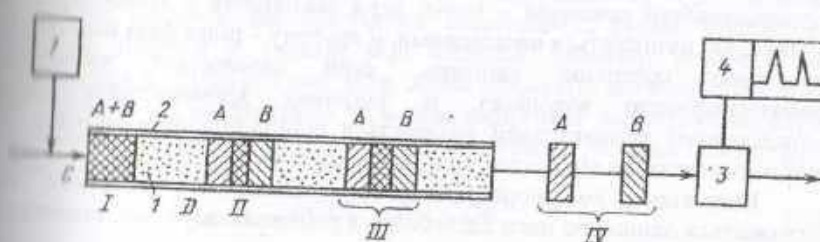


Рис. 6.1.1. Схема хроматографічного аналізу
1-дозатор; 2-хроматографічна колонка; 3-детектор; 4-вторинний пристрій

Цей сигнал поступає і реєструється вторинним пристадом 4 у вигляді хроматограми, який називається хроматограмою.

Хроматографічний метод розділення відкритий і досліджений у 1901 році російським вченим Цветом М.С., який використовував його для

розділення пігментів, виділених із зелених листків рослин. Спостерігаючи процес розділення суміші різних пігментів на колонці, заповненій крейдою, Цвет М.С. назвав цей процес "хроматографією", що означає запис кольору.

Хроматографічне розділення базується на сорбції – поглинанні газів, парів або розчинених речовин (сорбатів) твердими або рідкими поглиначами (сербентами). Залежно від природи сорбційних процесів вони поділяють на абсорбцію, адсорбцію і хемосорбцію (коли адсорбція супроводжується утворенням на поверхні адсорбента хімічних сполук). Адсорбція і хемосорбція можуть відбуватися в хроматографічних установках одночасно, але переважає, як правило, один із цих процесів. У випадку, коли переважну роль відіграє адсорбція, метод розділення називається адсорбційною хроматографією; якщо це розділення зумовлене адсорбційним процесом, то метод розділення називають розподілюючою хроматографією.

Різновидностями адсорбційної хроматографії, що застосовується в газових і рідинних хроматографах, є відповідно, газо-адсорбційний і рідинно-адсорбційний методи. В обох випадках нерухома фаза є твердим порошкоподібною речовиною.

У розподілюючій хроматографії розділення речовин проходить за рахунок розподілу розділяючих речовин між плівкою рідкої нерухомої фази і рухомою фазою, причому розділення суміші на компоненти зумовлено відмінністю швидкостей розчинення компонентів у рідині нерухомій фазі. В газових хроматографах застосовують два варіанти розподілюючої хроматографії: газо-рідинний і капілярний. В першому випадку рідина нерухома, фаза нанесена у вигляді плівки на поверхні порошкоподібної речовини – носія, який поміщають у хроматографічні колонки, які називаються насадковими, у другому – рідка фаза нанесена на внутрішню поверхню капіляра, який називається капілярною хроматографічною колонкою. В рідинних хроматографах метод розподілюючої хроматографії називається рідино-рідинним методом. За технікою виконання він аналогічний газо-рідинному.

Відповідно до теорії Ленгмюра, кількість а речовини, що поглинається одиницею маси адсорбента в рівноважному стані, становить

$$a = \frac{mv}{(1+vc)}, \quad (6.1.1)$$

де m і v – незмінні, що залежать від властивостей адсорбента і речовини, яка адсорбується (сорбаті); c – концентрація розчину.

Якщо $c << 1$, то $a = mv$ (рівняння прямої), яка виходить з початку координат. Цей випадок відповідає рівнянню Генрі:

$$a = \Gamma \cdot c, \quad (6.1.2)$$

де Γ – коефіцієнт Генрі, якщо $c >> 1$, то

$$a = \frac{mv}{bc} \cdot \frac{1}{c}. \quad (6.1.3)$$

Рівняння (6.1.3) є прямою лінією, паралельною осі абсцис.

При адсорбції суміші із n компонентів рівняння (6.1.1) для i-го компонента має вигляд:

$$a_i = \frac{mv_i C_i}{\left(1 + \sum_{i=1}^n b_i c_i\right)}. \quad (6.1.4)$$

Графічна залежність $a = f(c)$ (при постійній температурі) називається ізотермою адсорбції і є основною характеристикою адсорбційної здатності сорбента. Залежність кількості адсорбованої речовини від температури при постійному тиску описується рівнянням ізотерми адсорбції:

$$Q = k \exp(Q/RT) \sqrt{T}, \quad (6.1.5)$$

де k – константа; Q – теплота адсорбції; R – універсальна газова постійна; T – абсолютна температура.

Фазова рівновага між розчином газу в рідині і газовою сумішшю над рідиною в процесі адсорбції газу при температурі нижче критичної в системі рідина – насычена пара характеризується законом Рауля:

$$P_n = P_n \cdot C_m. \quad (6.1.6)$$

де P_n – парціальний тиск парів компонента над рідиною; P_n – тиск насыченої пари чистого компонента при даній температурі; C_m – мольна концентрація даного компонента в розчині.

На процес хроматографічного розділення суттєво впливають дифузійні процеси, що протікають одночасно з рухом компонента в колонці. Дифузія в значній мірі визначає характер розподілу маси компонента в потоці рухомої фази. Якщо прийняти, що коефіцієнт дифузії не залежить від концентрації, то можна визначити розподіл концентрацій компонента вздовж колонки в будь-який момент часу на основі другого закону Фіка:

$$\frac{\partial C}{\partial t} = D \frac{\partial^2 C}{\partial x^2}, \quad (6.1.7)$$

де t – час; x – поздовжня координата; D – коефіцієнт дифузії; C – концентрація компонента.

Розв'язок рівняння (6.1.7), за умови, що початковий об'єм компонента в суміші достатньо малий, приводить до рівняння кривої Гausса:

$$C = C_{\max} \exp(-x^2/4D t_0), \quad (6.1.8)$$

де $C_{\max} = q \sqrt{\pi D \tau_0}$ – максимальна концентрація компонента в потоці рухомої фази (q – маса компонента); τ_0 – час перебування компонента в хроматографічній колонці; C – концентрація компонента в потоці рухомої фази на відстані x від координати, що відповідає C_{\max} .

У реальних процесах хроматографічного розділення при лінійній ізотермі сорбції і незмінному об'ємі досліджуваної суміші розподіл концентрацій компонентів у потоці рухомої фази також близький до розподілу по кривій Гаусса (6.1.8).

На рис. 6.1.2 наведений графік хроматографічного піка на виході з колонки в процесі вимивання (елювування) компонента.

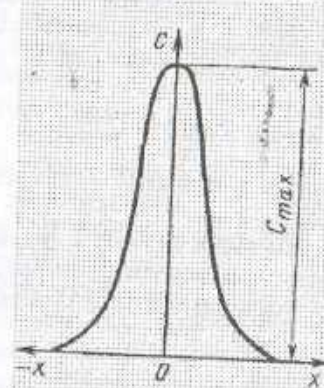


Рис. 6.1.2. Графік зміни концентрації аналізованого компонента в рухомій фазі на виході з колонки

У хроматографі хроматографічний пік перетворюється в детекторі в електричний сигнал і реєструється на діаграмній стрічці вторинного самопишучого пристроя (див. рис. 6.1.1). Якщо детектор і реєструючий пристрій не скривлюють форму хроматографічного піка, то зареєстрований на діаграмній стрічці графік відрізняється від показаного на рис. 6.1.2 лише одиницями вимірювання і масштабом.

Площа піка, пропорційна масі q речовини, її визначають з використанням інтегруючих вимірювальних пристрій, спеціально обчислювальних пристрій і комп'ютерної техніки, або розраховуючи апроксимацією площини піка через площу трикутника за такою формулою

$$S \approx h\mu, \quad (6.1.9)$$

де μ – ширина піка при $h/2$ (рис. 6.1.3)

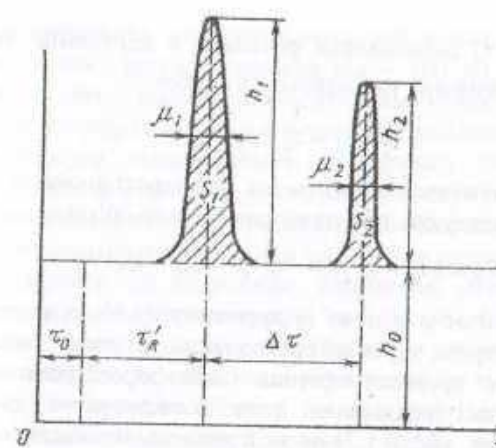


Рис. 6.1.3. Хроматограма двохкомпонентної суміші

Градуювальна характеристика хроматографа залежно від того, який параметр прийнятий як вихідний сигнал (h чи S), виражається таким виразом:

$$h=k_b q; \quad S=k_s q, \quad (6.1.10)$$

k_b – чутливість хроматографа; k_s – величина пропорційна чутливості.

Для оцінки граничних аналітичних можливостей хроматографів за чутливістю і порівняння хроматографів різних типів використовують характеристику, яка називається межею чутливості

$$C_{\min} = 2 \Delta q / (h_a \mu), \quad (6.1.11)$$

Δ – рівень флюктуаційних шумів нульового сигналу хроматографа (нульовий сигнал – сигнал хроматографа при відсутності в аналізованому середовищі компонентів); h_a – амплітуда максимуму хроматографічного піка, наведеної у шкалі, за якою вимірюється величина Δ ; μ – ширина піка при $h/2$.

При постійних умовах хроматографічного розділення (температура в колонці, швидкість рухомої фази, геометричні параметри колонки, властивості і кількість нерухомої фази) кожний компонент аналізованої суміші проходить через колонку протягом строго визначеного часу, який, зазвичай, чином, є якісною характеристикою, що дозволяє розпізнавати компоненти аналізованої суміші. Час, від моменту вводу дози у хроматограф до моменту отримання максимуму хроматографічного піка, називається часом утримування τ_R . В колонці він складається із двох

складових: часу t_0 знаходження речовини в нерухомій фазі і часу t_R , протягом якого речовина знаходитьться в сорбенті:

$$\tau_R = t_0 + \tau_R' \quad (6.1.1)$$

Час утримування залежить від швидкості рухомої фази, тому в практиці використовують поняття утримуючого об'єму:

$$V_R = (\tau_R - t_0) Q = \tau_R Q - t_0 Q = V_R - V_0, \quad (6.1.2)$$

де V_0 – об'єм пустот у колонці (у хроматографі V_0 складається із вільного об'єму всіх пристрій, через які проходить аналізована суміш).

Сукупність хроматографічних піків, зареєстрованих на діаграмі стрічки в процесі розділення дози досліджуваної суміші, утворює хроматограму (див. рис. 6.1.3) на якій нульова лінія відповідає нульовому сигналу хроматографа, зареєстрованому на хроматографі.

Хроматографічний процес складається із двох стадій: розділення речовин і "розмивання" піків розділюючих компонентів. Розділення (основна хроматографічна процесу) – корисний процес, а розмивання завжди призводить до погрішення розділення. При виборі оптимальних умов хроматографічного розділення, зазвичай, прагнуть до отримання максимального Δ і мінімального μ .

Вид хроматограми залежить від характеру з'язку вихідного сигналу детектора із складом рухомої фази. Детектори за цією ознакою поділяються на два типи – диференціальні й інтегральні. Вихідний сигнал диференціального детектора пропорційний концентрації, або масовій витратам компонента; тому хроматограма, отримана за допомогою диференціального детектора, подібна до графіка зміни складу рухомої фази в детекторі (див. рис. 6.1.3).

Сучасні хроматографи забезпечують можливість аналізу складних сумішей, які мають сотні компонентів. Мінімальна кількість аналізованих компонентів, які можна визначити за допомогою хроматографа, можуть мати величини до 10^{-14} г.

Ускalальні аналітичні можливості хроматографів основані на тому, що в процесі аналізу досліджувана суміш розділяється на компоненти і після цього поступає в аналізатор складу, в ролі якого може бути селективний і неселективний детектори будь-якого типу, яким властива мала інерційність. Наприклад, поруч з простішим неселективним термокондуктометричним детектором у хроматографічному аналізі широко застосовують мас-спектрометричні, оптичні, іонізаційні та інші детектори, яким властива висока селективна чутливість. Okрім цього, за останні роки хроматографії широко запроваджують комп'ютерну техніку на стадії управління процесом аналізу й обробки хроматограм.

Газові хроматографи використовують для кількісного й якісного аналізу речовин з температурою кипіння від -100 до $+500^{\circ}\text{C}$. Складні суміші, розділення яких іншими методами неможливе, розділяються в хроматографічній колонці і аналізуються протягом декількох хвилин. Багато інших властивостей навколошнього середовища таких як теплота кипіння, коефіцієнти розподілу, молекулярні маси і тиск парів, можна вимірювати за допомогою газових хроматографів. Важливою особливістю хроматографічного аналізу є можливість розділення речовин з одинаковими температурами кипіння, що недосяжно, наприклад, методом дистиляції. Особливо ефективна рідинна хроматографія при аналізі багатьох речовин, особливо малолетючих і нетермостабільних, конкурює з газовою хроматографією відносно ефективності розділення, а також швидкості і чутливості проведення аналізів. Рідинні хроматографи дають можливість аналізувати багато компонентів суміші, аналіз яких неможливий газовим хроматографом. Це в свою чергу відноситься до біологічних і небіологічних об'єктів, які руйнуються при високих температурах, придатні для їх аналізу газовим хроматографом. Рідинні хроматографи постачають в медицині, біології для кількісного і якісного аналізу біологічних кислот, наркотичних і лікарських препаратів, пестицидів і гербіцидів, полімерів, амінокислот, вуглеводнів, поверхнево-активних речовин, антиоксидантів.

Рідинні хроматографи поступаються газовим щодо чутливості та точності, але мають більш ефективні і різновідчільні методи розділення суміші.

Крім аналітичних хроматографів, існують так звані препаративні хроматографи, призначенні для розділення суміші з метою отримання чистих фракцій. Їх широко використовують у виробництві, особливо чистих речовин, в тому числі лікарських препаратів.

§ 6.1.2. Газовий хроматограф і його основні елементи

У склад хроматографа (рис. 6.1.4) разом з основними елементами (хроматографічна колонка, детектор) входить ряд допоміжних пристрій, які забезпечують необхідні умови роботи (введення аналізованої суміші в хроматограф, вимірювання і обробка вихідного сигналу хроматографа та ін.).

Рухома фаза (газ-носій) подається в колонку, як правило, із балона спущенного газу. Зазвичай, у ролі газу-носія використовують гелій, азот, рідкісні гази – водень. Газ-носій повинен відповісти таким вимогам: бути чистим відносно аналізованої речовини, нерухомої фази і конструктивного матеріалу, з якими він контактує; вміщувати мінімальну кількість домішок, не погрішувати умови роботи детектора.

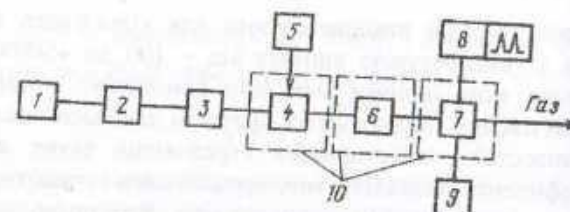


Рис. 6.1.4. Схема газового хроматографа

1 – балон з газом-носієм; 2 – регулятор витрати газу – носія; 3 – витратомір газу-носія; 4 – випаровувач; 5 – дозатор; 6 – хроматографічна колонка; 7 – детектор; 8 – реєструючий вимірювальний прилад; 9 – інтегратор; 10 – термостат

У більшості випадків від витрат газу-носія залежить чутливість детектора, тобто зміна витрат газу-носія викликає зміну висоти і площини. Тому в хроматографах використовують регулятор витрат, який поєднанням стабілізатора витрат і вимірювача газу-носія. Витрати газу-носія складають в хроматографах, як правило, 15-200 мл/хв. Дози досліджуваної речовини вводиться дозатором в хроматограф дуже швидко і вигляди "корка".

Гази, зазвичай, вводяться герметичними шприцами або кранами дозаторами. Об'єм газової зони становить від 0,1 до 10 мм. Рідини вводять мікрошприцами. В хроматографічному аналізі об'єми доз рідини, зазвичай, становлять від 0,5 до 10 мкм. Крани – дозатори і шприци – найбільш розповсюджені типи дозаторів, використовуваних у хроматографі.

Стандартна методика вводу газоподібних і рідких сумішей в хроматограф полягає в проколованні самоущільнюючої прокладки (гумової) голкою шприца з наступним видавлюванням дози досліджуваної суміші в потік газу-носія. В більшості випадків у сучасних конструкціях хроматографів голка шприца при вводі дози входить безпосередньо в хроматографічну колонку. При цьому початкова частина колонки заповнюється нерухомою фазою. Пристрій, в якому герметично застікається початкова ділянка колонки і самоущільнюча гума прокладка називається випаровувачем. Для встановлення і підтримування температури, необхідної для випаровування дози рідкої досліджуваної суміші і нагрівання до необхідної температури початкової ділянки колонки, випаровувач обладнаний термостатом. Робочі температури випаровувачів сучасних хроматографах досягають 500° і вище.

У газо-адсорбційній хроматографії як нерухому фазу використовують тверді порошкоподібні адсорбенти. Як адсорбенти в хроматографії в основному використовують вугілля, силікагелі, алюмінію, синтетичні іоніти (молекулярні сита), пористе скло, різні сили, також пористі полімери.

У газо-рідинній хроматографії нерухома фаза є рідинною, нанесеною тонкою плівкою на твердий носій. Рідку фазу наносять на твердий носій з використанням однорідної інертної поверхні.

Твердий носій повинен мати такі властивості: інертність, механічну стійкість, велику поверхню, однорядну форму і рівномірний розподіл піни.

Температура нерухомої фази має дуже складний вплив на ступінь розділення. Температуру нерухомої фази підбирають експериментально за допомогою термостата колонки. Утримуваний об'єм (час утримування) зменшується з підвищеннем температури, тому для надійного, якісного аналізу необхідно висока точність стабілізації температури колонки.

Про характер впливу параметрів на утримуючий об'єм V_2 можна говорити висновки із такого рівняння:

$$V_R = S_k L k e^{Q_c / RT}, \quad (6.1.14)$$

де S_k – площа перерізу колонки; L – довжина колонки; k – константа; Q_c – теплота сорбції; R – газова незмінна; T – абсолютна температура.

Хроматографічна колонка це трубка із скла, полімерного матеріалу чи металу, найчастіше із корозійно-стійкої сталі. Колонки бувають прямі, U – подібні і спіральні. Спіральні колонки найбільш компактні, тому їх використовують частіше, ніж колонки інших типів. У сучасних хроматографах використовують колонки з внутрішнім діаметром 1-6 мм і довжиною від декількох десятків сантиметрів до 5-6 м (середня довжина 1-2 м). Капілярна колонка це трубку з внутрішнім діаметром 0,2-0,5 мм і довжиною від 25 до 100 м (середня довжина 50 м). Розміри колонки суттєво впливають на об'єм утримування, ступінь розділення й ефективність колонки. Із збільшенням довжини колонки підвищується ступінь розділення, із зменшенням внутрішнього діаметра підвищується ефективність. Для досягнення максимальної ефективності найчастіше використовують колонки з внутрішнім діаметром 1,5-3 мм.

Хроматографічні колонки встановлюють у спеціальному термостаті, який забезпечує можливість установки двох і більше колонок довжиною 3-6 м. Діапазон робочих температур термостата колонок може бути від +100° до +500°C, точність підтримування температури +0,2°C. Термостат колонок (найбільший блок хроматографа) визначає особливості конкретного типу і його зовнішній вигляд. Цей блок є основним у хроматографах, оскільки у ньому розміщені хроматографічні колонки, а на його сторонах – детектори, дозатори і випаровувачі, тобто основні елементи хроматографа.

Як реєструючі пристрої у хроматографах використовують компенсуючі самопищучі потенціометри. Проте складність і трудоемність

ручної обробки хроматограм визначили необхідність розробки використання у хроматографах – електронних інтеграторів і комп’ютерної техніки.

Детектори. На сьогодні відомо більше п’ятдесяти методів детектування у хроматографії, проте лише декілька із них широко використовують на практиці. Це, в першу чергу, термокондуктометричний, полум’яно-йонізаційний, термойонний, електронно-захоплюючий, і полум’яно-фотометричний методи детектування. Крім указаних методів, деколи використовують термохімічний і кулонометричний методи детектування.

Термокондуктометричний детектор. Принцип термокондуктометричних детекторів у хроматографах і газоаналізаторах одинаковий. В хроматографах для зменшення постійного часу детектора робочу камеру чутливого елемента виготовляють з меншими розмірами, ніж камеру в газоаналізаторах. У хроматографії термокондуктометричний детектор (детектор тепlopровідності або катарометр) є одним із найбільш розповсюджених. Це пояснюється, в першу чергу, його універсальністю, простотою в експлуатації, проте він потребує термостатування, високої точності і захисту від попадання в робочі камери повітря. Межа визначення (C_{\min}) хроматографів з термокондуктометричним детектором становить $(5-5) \cdot 10^{-5} \%$ в об’ємі.

Полум’яно-йонізаційний детектор. Принцип дії полум’яно-йонізаційного детектора базується на йонізації аналізованих речовин у полум’ї водню. Схема такого детектора показана на рис. 6.1.5.

Окрім указаних речовин, полум’яно-йонізаційний детектор проявляє високу чутливість фактично до всіх сполук. Особливу увагу привертає відсутність чутливості до повітря, H_2O і CS_2 . Це дозволяє ефективно використовувати полум’яно-йонізаційний детектор при контролі забруднень навколошнього середовища – повітря і води. Полум’яно-йонізаційний детектор надійний у роботі і йому властива висока стабільність, тому що його робота незначно залежить від зміни параметрів – витрат газу, температури, напруги живлення. Межа чутливості C_{\min} хроматографів з полум’яно-йонізаційним детектором при аналізі, наприклад, пропану виражена в одиницях масової швидкості аналізованої речовини в детекторі, складає $(1-3) \cdot 10^{-2} \text{ г/с}$, бо $1 \cdot 10^{-2} \%$ об’ємних. Таким чином, полум’яно-йонізаційні детектори в 100-1000 разів перевищують чутливість термокондуктометричних детекторів.

Нижче наведені речовини, до яких полум’яно-йонізаційний детектор нечутливий, або малочутливий: He, Ar, Kr, Ne, Xe, O_2 , N_2 , CS_2 , COS , H_2S , SO_2 , NO , NO_2 , NH_3 , CO , CO_2 , H_2O , $SiHCl_3$, SiF_4 .

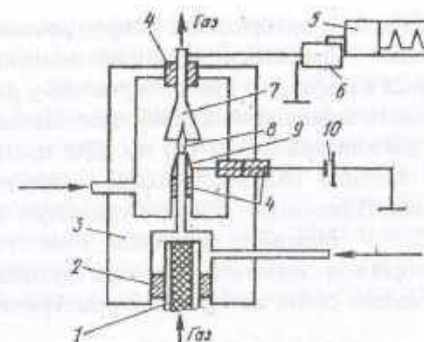


Рис. 6.1.5. Схема полум’яно-йонізаційного детектора

1 – хроматографічна колонка; 2 – ущільнення колонки в детекторі; 3 – корпус детектора; 4 – електричні ізолятори; 5 – реєструючий пристрій; 6 – електрометричний підсилювач; 7 – колекторний електрод; 8 – водневе полум’я; 9 – пальник (одночасно потенціональний електрод); 10 – джерело живлення детектора

Термойонний детектор. За принципом дії термойонний детектор аналогічний полум’яно-йонізаційному з тою лише різницею, що в цьому детекторі в полум’я водню додатково подають пари солі лужного металу, наприклад, CsI , $CsBr$ та ін. Наявність парів солі у водневому полум’ї викликає різке підвищення чутливості детектора до фосфор- і азотовмістких органічних сполук. Різновидні конструкції термойонних детекторів відрізняються, в основному, елементами пристроїв для подачі парів солі у водневе полум’я.

Завдяки надзвичайно високій селективній (вибірковій) чутливості до фосфор- і азотовмістких органічних речовин ці детектори широко застосовують при здійсненні аналізу мікроконцентрацій, особливо під час контролю забруднень навколошнього середовища. Окрім того, селективність детектора надзвичайно важлива при здійсненні аналізу складних багатокомпонентних сумішей. Термойонні детектори мають, як правило, максимальну робочу температуру $300-350^{\circ}\text{C}$. Цього цілком достатньо для вирішення основних аналітичних завдань, пов’язаних із визначенням мікроконцентрацій фосфор- і азотовмістких органічних сполук, які мають температуру $250-300^{\circ}\text{C}$.

Межа визначення хроматографів з термойонними детекторами $\sim 10^{-14} \text{ г/с}$ при здійсненні аналізу фосфовмістких органічних сполук і $\sim 10^{-15} \text{ г/с}$ – азотовмістких сполук.

Полум’яно-фотометричний детектор. Детектори цього типу найчастіше використовують для селективного аналізу сірковмістких сполук, рідше фосфорорганічних речовин.

Суть методу полягає у вимірюванні випромінювання аналізованих сполук у полум'ї водню. Сірковмісні органічні сполуки, попадаючи в полум'я перетворюються в результаті хімічних реакцій у радикали SO , C_6 , CH , і S_2 . Для практичного використання найбільше підходить випромінювання S_2 у діапазоні довжин хвиль 350-460 нм. Для цього в зоні горіння полум'я створюється значний надлишок водню в порівнянні з стехіометричним відношенням. В результаті температура полум'я знижується, що сприяє утворенню S_2 . У більшості випадків різні типи полум'яно-фотометричних детекторів відрізняються лише конструкцією пальників.

На рис. 6.1.6 показано схема полум'яно-фотометричного детектора.

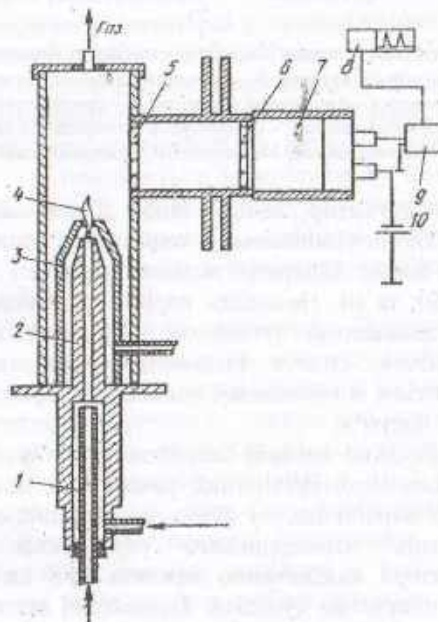


Рис. 6.1.6. Схема полум'яно-фотометричного детектора
1 - колонка; 2 - пальник; 3 - ковпак; 4 - полум'я; 5 - кварцевий диск; 6 - світлофільтр;
7 - фотопомножувач; 8 - потенціометр; 9 - підсилювач

Газ-носій, виходячи із колони 1, змішується з воднем і через сопло пальника 2 попадає в простір, який обмежений ковпаком 3. В цей простір подається кисень, який дифузійно змішується з воднем. Таким чином створюються умови для горіння полум'я 4. Випромінювання частинок S_2 , що утворюється в полум'я 4 із аналізованих сірковмісніх речовин, проходить через селективний світлофільтр 6, який пропускає

випромінювання із довжиною хвилі 394 нм і перетворюється фотопомножувачем 7 в електричний сигнал, який поступає у підсилювач 9 і реєструється на діаграмній стрічці самопишучого потенціометра 8. Кварцевий диск 5 обертає світлофільтр 6 від контакту з гарячим газом і від забруднення продуктами згоряння. Полум'яно-фотометричний детектор живиться від джерела 10 постійної напруги 700-1100 В. Робоча температура детектора, як правило, не перевищує 250°C , тому що його чутливість різко падає з підвищеннем температури. Відмінністю полум'яно-фотометричного детектора – лінійна залежність вихідного сигналу від кількості речовини, що поступає в детектор. Ця залежність описується таким рівнянням:

$$h = k_b \cdot q_c^v; S = k_s q_c^v, \quad (6.1.15)$$

де S – площа хроматографічного піка; q_c – кількість сірки, що знаходитьться в речовині, що аналізується; k_b і k_s – масштабні коефіцієнти; v – величина, яка залежить від конструкції пальника.

Межа знаходження хроматографів з полум'яно-фотометричними детекторами $(1-5) \cdot 10^{-11} \text{ г/с}$ сірки в аналізований речовині.

Електронно-захоплюючий детектор

Принцип дії цього типу полягає у використанні здатності молекул деяких речовин захоплювати електрони, перетворюючись при цьому у від'ємні іони. Цю властивість називають спорідністю до електрона. Схема електронно-захоплюючого детектора наведена на рис. 6.1.7.

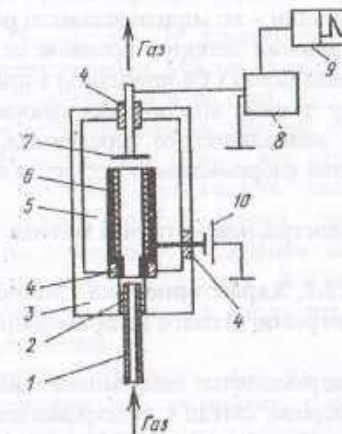
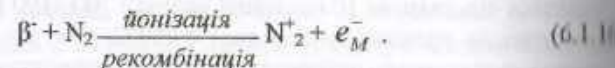


Рис. 6.1.7. Схема електронно-захоплюючого детектора
1 - хроматографічна колонка; 2 - ущільнення колонки в детекторі; 3 - корпус детектора;
4 - електричні ізолятори; 5 - іонізаційна камера (потенціальний електрод);
6 - радіоактивне джерело; 7 - колекторний електрод; 8 - електрометричний підсилювач;
9 - реєструючий прилад; 10 - джерело живлення детектора

Електронно-захоплюючий детектор працює таким чином: радіактивне джерело бета-випромінювання, наприклад ^{63}Ni , випускає бета-частинки, які зіштовхуються із молекулами газу-носія (азоту), в результаті чого в об'ємі обмеженому стінками йонізаційної камери 5, утворюються позитивні електрони і додатні йони азоту:



Стінка йонізаційної камери з'єднана з від'ємним полюсом джерела живлення 10 і є катодом, а колекторний електрод 7 – анодом.

Утворені внаслідок йонізації азоту заряджені частинки під дією електричного поля розподіляються між електродами: електрони переміщуються до колекторного електрода, а додаткові йони – до стінки йонізаційної камери. Розподіл заряджених частинок між електродами призводить до виникнення струму в колі: колекторний електрод – електрометричний підсилювач 8 “земля”, цей струм називається фоновим.

При появі в об'ємі йонізаційної камери аналізованої речовини, яка має спорідненість до електрона, вільні електрони захоплюються молекулами аналізованої речовини, в результаті чого утворюються від'ємні йони, які мають значно більшу, ніж електрони, здатність рекомбінації з додатніми йонами азоту, що призводить до зменшення числа електронів, які попадають на колекторний електрод і, відповідно, до зменшення сили фонового струму. Зменшення сили фонового струму при його проходженні через аналізовану речовину – це мірюють кількості речовини, що аналізується. Електронно-захоплюючий детектор проявляє селективну чутливість до галогеновмісних речовин (хлор і фторвмісних) і практично не чутливий до вуглеводнів. В зв'язку з цим, він широко використовується в системах контролю забруднень навколошнього середовища, особливо при аналізі мікросумішій шкідливих хлорвмісних пестицидів, наприклад ДДТ.

6.2. Спектрально-оптичні методи аналізу

§ 6.2.1. Характеристика і діапазони електромагнітного випромінювання

Відомо, що електромагнітне випромінювання має подвійну природу. Згідно з хвильовою теорією, світло є електромагнітною хвилею. Квантово-теорія розглядає випромінювання як потік матеріальних частинок фотонів. Згідно з цією теорією електромагнітне випромінювання характеризується довжиною хвилі (λ) і частотою (v), які пов'язані співвідношенням:

$$C = \lambda \cdot v \quad (6.2.1)$$

де C – швидкість розповсюдження електромагнітного випромінювання.

У вакуумі $C = 3 \cdot 10^8$ м/с.

Довжина хвилі вимірюється або в метрах, або сантиметрах, або міліметрах (1 мм = 10^{-3} м), а для коротких довжин хвиль в мікрометрах (мікронах, 1 мкм = 10^{-6} м), нанометрах (мілімікронах 1 нм = 10^{-9} м), ангстремах ($1\text{ \AA} = 10^{-10}$ м). Частота вимірюється кількістю коливань за одну одиницю і має розмірність s^{-1} , що називається Герц (Гц). Використовуються також кратні одиниці мегагерц (1МГц = 10^6 Гц), гігагерц (1ГГц = 10^{12} Гц).

Величина, обернена до довжини хвилі, пропорційна до частоти називається хвильовим числом :

$$N = v^{-1} = 1/\lambda = c/\lambda \quad (6.2.2)$$

Хвильове число показує кількість довжин хвиль, які вміщуються на довжині 1 см і має розмірність см^{-1} .

За корпускулярною теорією електромагнітне випромінювання характеризується певною енергією фотона (E), яка вимірюється в джоулях (Дж). Зв'язок між енергією фотона і хвильовими характеристиками електромагнітних коливань визначається за формулою Планка:

$$E = h \cdot v = h \cdot c / \lambda \quad (6.2.3)$$

де h – постійна Планка ($6,62 \times 10^{-34}$ Дж с).

Для 1 моля речовини:

$$E = 6,62 \cdot 10^{-34} \cdot 6,02 \cdot 10^{23} \cdot v = 3,99 \cdot 10^{-10} \text{ Дж/моль}$$

Таким чином, λ , v або E однозначно характеризують вид електромагнітного випромінювання. Маючи одну із цих величин, можна за формулами (6.2.1) і (6.2.3) розрахувати дві інші.

Електромагнітне випромінювання має ще одну характеристику – потужність потоку випромінювання (Дж/с), яку називають інтенсивністю. Згідно з хвильовою теорією, інтенсивність визначається амплітудою електричного і магнітного полів певної частоти коливань. За корпускулярною теорією, інтенсивність дорівнює кількості фотонів певної енергії, які випромінюються за секунду. Електромагнітні коливання поділяються на діапазони залежно від механізму випромінювання, які відрізняються довжинами хвиль.

Розглянемо оптичні методи аналізу, які використовують електромагнітне випромінювання оптичного діапазону, що охоплює довжини хвилі ($1-1 \cdot 10^5$ нм) і складається з ультрафіолетового, видимого й інфрачервоного діапазонів (табл. 6.2.1). Таке випромінювання пов'язане з процесами, які відбуваються з участю зовнішніх чинників: оптичних, валентних електронів, атомів із просторовою будовою молекул.

Таблиця 6.2.1

Діапазони випромінювання електромагнітних коливань (нм)

Ультрафіолетовий	10-400
- вакуумний	10-185
- дальній	185-230
- близький	230-400
Видимий	400-750
- фіолетовий	390-430
- синій	420-455
- голубий	455-494
- зелений	494-565
- оранжевий	565-595
- червоний	595-840
Інфрачервоний	640-780
- близький	750-10 ⁶
- дальній	750-25x10 ³
	25x10 ³ -10 ⁶

Монохроматичним називається випромінювання, яке складається з електромагнітних коливань певної довжини хвиль. У природних умовах монохроматичне випромінювання зустрічається рідко. Зазвичай, випромінювання складається з електромагнітних коливань різних довжин хвиль.

Спектром називається сукупність довжин хвиль, частот або енергій фотонів, з яких складається випромінювання. Спектри бувають таких типів: суцільні (безперервні), смугасті та лінійні. У суцільного спектра випромінювання складається з сукупності електромагнітних хвиль, довжини яких змінюються безперервно.

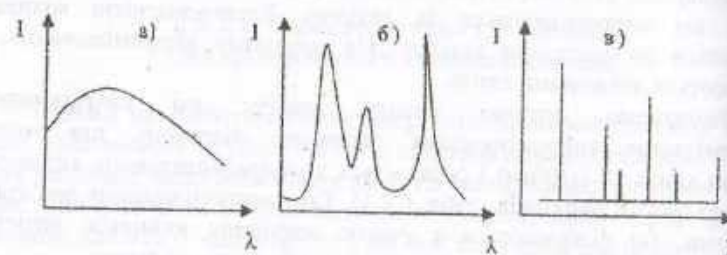


Рис. 6.2.1. Види спектрів випромінювання:
а - суцільний (безперервний), б - смугастий, в - лінійний

Смугастий спектр складається з декількох смуг, в межах яких довжини хвиль змінюються безперервно, і вони розділені інтервалами відсутності випромінювання. Спектри лінійні характеризуються сукупністю випромінювання певних довжин хвиль (рис. 6.2.1).

В екологічному та хімічному аналізах використовуються закономірності як випромінювання електромагнітних хвиль об'єктом аналізу, так і результатом взаємодії випромінювання від стороннього зонду з матеріалом об'єкта аналізу.

§ 6.2.2. Механізм і закономірності випромінювання електромагнітних коливань атомами

Емісійний спектральний аналіз є сучасним фізичним методом аналізу, який заснований на вивчені спектра випромінювання атомів досліджуваного зразка.

Під час процесів, які проходять в атомах, збуджених тепловою або електричною дією або внаслідок поглинання електромагнітних коливань, відбувається випромінювання. Процеси збудження атомів проходять за участю електронів зовнішніх електронних оболонок.

Розміщення електронів в атомі визначається чотирма квантовими числами, в яких атом існує стаціонарно, не випромінюючи своєї енергії:

1. n - головне квантове число. Характеризує відстань орбіти електрона від ядра атома. Позначається цифрами 1, 2, 3... або літерами K, L, M...

2. l - побічне (орбітальне) квантове число. Характеризує форму орбіти. Отримує ряд послідовних значень від $l=0$ до $l=n-1$. Позначається цифрами 0, 1, 2, 3... або літерами S, P, d, f....

3. m_l - магнітне квантове число, яке характеризує просторове розташування орбіти. Набуває ряду послідовних цілих значень від $+l$ до $-l$.

4. m_s - спінове квантове число. Характеризує момент обертання самого електрона. Набуває значень $+\frac{1}{2}$ і $-\frac{1}{2}$.

Чим більше значення s і l , тим більша енергія електронів. Паулі встановив, що в атомі не може бути двох електронів з однаковим набором усіх квантових чисел. Через це в атомі, який перебуває на нульовому рівні (без надлишку енергії), всі електрони займають такі орбіти, що сумарна енергія електронів має мінімальне значення.

Надлишкову енергію можна отримати в результаті зіткнення атома з іншими атомами, іонами, електронами (коли проходить обмін енергією). Якщо атом віддасть надлишкову енергію, він може перейти у збуджений стан. У збудженному стані атом характеризується тим, що один або декілька його електронів знаходяться на орбітах з більшим значенням енергії.

Оптичні електрони беруть участь в одному акті збудження зовнішньої або недобудованої орбіти.

Перехід електрона навищий енергетичний рівень відбувається тоді коли надлишкова енергія, надана атомові, дорівнює або більша від різниці енергій рівнів, між якими відбувається перехід.

Енергія збудження – це мінімальна енергія, необхідна для переходу електрона з нульового рівня навищий енергетичний рівень.

У випадку коли енергія, яка надається атому дуже велика, електрон може відрватися від атома з утворенням позитивно зарядженого іона.

Енергія йонізації це мінімальна енергія, яка потрібна для відриву електрона від атома. У спектроскопії часто використовують одиницю вимірювання електронволт – енергія, яку набуває електрон, проходячи різницю потенціалів 1 В ($1\text{eV} = 1,6 \cdot 10^{-19}$ Дж). Енергію збудження і йонізації часто називають потенціалами збудження йонізації. Атом у збудженню стані може перебувати певний час – $10^{-7}\dots10^{-8}$ с. Якщо за цей час атом не відає надлишкову енергію зіткненнями, він випромінює фотон. При цьому електрон з вищого енергетичного рівня переходить на один з нижчих рівнів або на нульовий рівень. Енергія випромінювання фотона дорівнює різниці енергій рівнів, між якими відбувається перехід. Частоту випромінювання можна розрахувати за формулою Планка

$$h\nu = E_2 - E_1; \quad \nu = \frac{E_2 - E_1}{h}. \quad (6.2.4)$$

Терм – це енергія рівнів, виражена в одиницях частоти – E/h . Таким чином, частота випромінювання атома дорівнює різниці термів, між якими відбувається перехід електрона. Характеристики ліній частот і смугасті спектрів залежать від елементного складу зразка і використовується під час проведення екологічного та хімічного аналізу. Характер безперевідних спектрів для хімічного аналізу не використовують.

§ 6.2.3. Структура і характеристика елементів спектральних приладів

Прилади для емісійного спектрального аналізу складаються з трьох необхідних складових частин: джерела збудження, диспергуючого елементу і приймача випромінювання (рецептора).

I) **Джерело збудження** призначено перевести частину зразка в стан атомної пари (атомізація) і надати атомам додаткову енергію для їх збудження, внаслідок чого вони випромінюють лінійний спектр. Такі процеси відбуваються під дією високих температур. Залежно від способу досягнення високих температур використовують відповідні джерела збудження (табл. 6.2.2). Способ досягнення високих температур передбачає використання певних джерел збудження.

Таблиця 6.2.2.

Джерело збудження	Температура, °C	Об'єкт збудження
газове полум'я		лужні і деякі лужноземельні метали, потенціал збудження до 3 – 4 еВ
- природний газ – повітря	2000	
- водень – повітря	2300	
- ацетилен – повітря	2500	
- водень – кисень	2800	метали з потенціалом
- ацетилен – кисень	3400	збудження до 5-6 еВ
- ацетилен – захист азоту	3500	
електричний дуговий розряд	5000-7000	всі метали і деякі неметали
електричний іскровий розряд	7000-12000	всі елементи
газовий розряд, ВУ і НВУ розряд	до 30000	всі елементи

Умови збудження відтворювані через те, що газове полум'я та плазма НЧ і НВЧ розряду характеризуються стабільністю температур у просторі і часі. Відносно низькі температури газового середовища (полум'я) обмежують кількість визначуваних елементів з цим джерелом збудження.

Нестабільністю характеризуються дугові та іскрові джерела температур, нестабільні у просторі і часі, тому використання їх для точного хімічного аналізу вимагає спеціальних засобів для обробки аналітичного сигналу.

II) Для розкладу випромінювання використовують диспергуючий елемент, який отримують у джерелі збудження згідно довжин хвиль. У даному випадку використовують такі пристрой:

1. Призми із скла для видимого та кварцу для видимого і ультрафіолетового діапазонів, в яких розділення ґрунтуються на залежності нефінінта заломлення від довжини хвилі.

2. Дифракційні ґратки, які використовуються для всіх діапазонів. Принцип їх дії полягає в тому, що при відбиванні коливань відзеркальної поверхні, на якій нанесено паралельні риски на відстані, близькій до довжини хвилі, відбуваються процеси дифракції й інтерференції, внаслідок яких можна отримати спектр випромінювання.

3. Світлофільтри бувають абсорбційні і дифракційні – пристрой, які не розліялють випромінювання хвиль, але пропускають випромінювання у вузькому спектральному діапазоні. Ширина смуги пропускання фільтрів становить 3-5 мм.

4. Рецептор, необхідний для фіксування отриманого спектра. Використовуються такі головні способи фіксування спектра:

a) візуальний спектр спостерігається через окуляр приладу під час роботи джерела збудження, око не дає можливості вимірювати інтенсивність ліній, але можна порівняти інтенсивності двох ліній у вузькому спектральному діапазоні;

b) фотографічне зображення спектра спрямовується на пленку або пластинки, вкриті світлочутливим шаром на певний час. Після хімічної обробки експонованих пластинок отримують спектр у широкому діапазоні. Інтенсивність ліній перетворюється у ступінь почерніння, яке можна вимірювати спеціальними приладами;

v) у фотоелектричному способі використовується перетворення випромінювання в електричний сигнал, пропорційний інтенсивності світла. Фотоперетворювачами можуть бути фотоелементи, фоторезистори, фотодіоди і ін.

Крім основних елементів, електронні прилади можуть мати оптичну систему, яка складається із щілин, лінз, дзеркал, поворотних прizм.

Прилади з візуальним використанням спектра називаються спектроскопами, стилоскопами, стилометрами з фотографічною реєстрацією спектрографами; з фотоелектричною реєстрацією – спектрометрами квантомурами.

§ 6.2.4. Якісний емісійний спектральний аналіз

У якісному емісійному аналізі проводять визначення довжини хвилі спектральної лінії і виявлення елемента, якому воно належить, користуючись довідниковою літературою. На сьогоднішній час спектри всіх елементів вивчені, занесені в таблиці, де для кожного елемента наведено відносні інтенсивності ліній для різних джерел збудження; довжини хвилі їх потенціали збудження, належність ліній нейтральному атому (I), однозарядному (II), двозарядному (III) тощо, йонам.

Існують таблиці спектральних ліній елементів, розташовані як за довжинами хвиль, так і за елементами.

Спектри елементів складаються з багатьох (сотень, навіть тисяч) ліній різної інтенсивності. В екологічному моніторингу використовують переважно невелику кількість найбільш інтенсивних ліній, які наводять спеціальних таблицях чутливих ліній. Якщо завданням аналізу є пошуки певних елементів у зразку, в спектрі зразка шукають останні лінії елементів. Це найбільш чутливі лінії елементів, які при зниженні концентрації елементів у зразках, зникають останніми із спектра. Довжина хвилі залежить від температури джерела збудження і спектральної чутливості рецептора, за допомогою якого фіксують спектр.

При пошуку ліній певної довжини хвилі та ідентифікації ліній необхідно вміти визначити довжину хвилі будь-якої лінії у зафікованому спектрі.

С такі методи визначення довжин хвиль:

1. За шкалою приладу і дисперсійною кривою. У спектроскопа є шкала на барабані, обертаючи який, в окуляр спрямовують ту чи іншу ділянку спектра. У спектрографах шкала фотографується на фотопластинку разом із спектром зразків. Шкали є лінійні, і для того, щоб відлік шкали перетворити в довжину хвилі, необхідно мати дисперсійну криву, яка є графічною залежністю довжини хвилі (λ) від поділок шкали (n) (рис. 6.2.2).

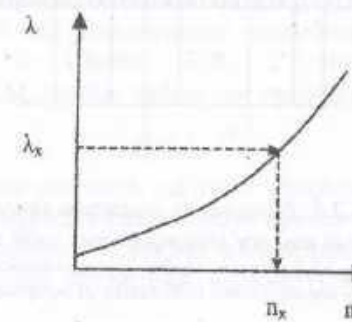


Рис. 6.2.2. Дисперсійна крива

Крива будується для кожного приладу після фіксації спектра добре відомого елемента, як правило, заліза. Таким чином, можна визначити довжину хвилі з точністю $+0,5 \text{ \AA}^0$.

2. За допомогою атласів спектральних ліній. Переважно використовують атлас спектральних ліній заліза. Використання заліза обумовлене тим, що це доступний елемент і його спектр містить багато ліній (~3000) у всіх ділянках спектра. Атлас складається з набору планшетів, на яких зафіковані різні ділянки спектра заліза, шкала довжин хвиль і відповідні характеристики ліній інших елементів відносно ліній заліза.

Знаходження довжини хвилі невідомого елемента полягає у ставленні ліній із планшета спектра заліза так, щоб лінії заліза збіглися з відповідними лініями заліза у спектрі досліджуваного зразка, який містить залізо, або у спектрі заліза, сфотографованого поруч (рис. 6.2.3).

3. Метод лінійної інтерполяції використовують для точнішого визначення довжини хвилі при фотографічному фіксуванні спектра. На пленці фотографують спектр об'єкта аналізу і поруч спектр заліза. У спектрі заліза вибирають дві лінії (λ_1, λ_2), між якими розташована лінія невідомого елемента (λ_3). За допомогою спеціального вимірювального

мікроскопа проводять відлік його шкали проти обраних ліній A_1 , A_x , A_2 (рис. 6.2.4). Довжину хвилі невідомого елемента обчислюють за формuloю

$$\lambda_x = \lambda_1 + \frac{(\lambda_2 - \lambda_1)(A_x - A_1)}{(A_2 - A_1)}. \quad (6.2.5)$$

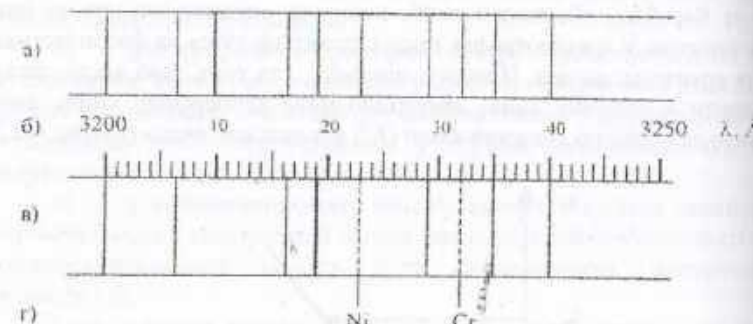


Рис. 6.2.3. Визначення довжини хвилі за допомогою атласу спектральних ліній заліза:
а) спектр зразка, який містить залізо; б) шкала довжин хвиль;
в) планшет атласу спектральних ліній заліза; г) інформаційне поле.

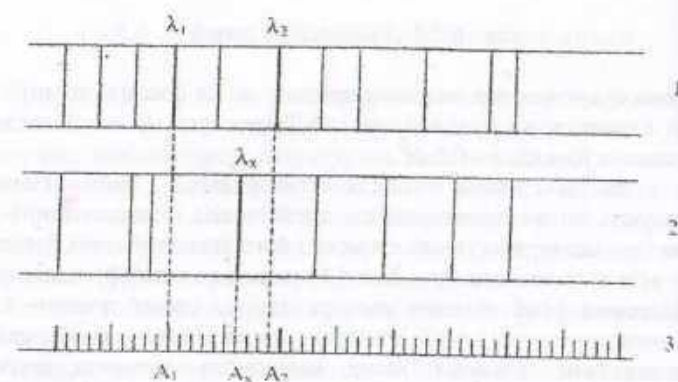


Рис. 6.2.4. Визначення довжини хвилі методом лінійної інтерполяції
1 – спектр заліза; 2 – спектр досліджуваного зразка; 3 – шкала вимірювального мікроскопа

Оскільки кожен елемент зразка має багато ліній у спектрі, які можуть накладатися одна на одну, якісний аналіз не завершується пошуком однієї лінії. Для однозначних висновків про наявність елемента в пробі шукають ще кілька ліній цього елемента.

§ 6.2.5. Кількісний аналіз

Інтенсивність будь-якої лінії визначуваного елемента є кількісним параметром в емісійному спектральному аналізі. Ця інтенсивність лінії певної довжини хвилі безпосередньо залежить від кількості атомів цього елемента, які знаходяться у відповідному збудженному стані, і ймовірності переходу, що зумовлює випромінювання цієї хвилі. Кількість збуджених атомів залежить від концентрації елемента в зразку і умов збудження (температури і геометричних розмірів джерела збудження, швидкості випаровування матеріалу зразка, наявності інших елементів у зразку), а ймовірність переходу є величиною постійною. Залежність інтенсивності спектральних ліній від концентрації елементів у зразках встановлено Ломакіним І.П. і Шайбе Е.Я. і теоретично обґрунтовано Мандельштамом А.М. Ця залежність має такий вигляд:

$$I = a \cdot c^b, \quad (6.2.6)$$

де a – константа, яка залежить від умов збудження; b – коефіцієнт, який залежить від концентрації і характеризує процес самопоглинання ліній.

Зміна інтенсивності ліній від концентрації в широкому діапазоні при постійних умовах збудження виражається графіком, поданим на рис. 6.2.5.

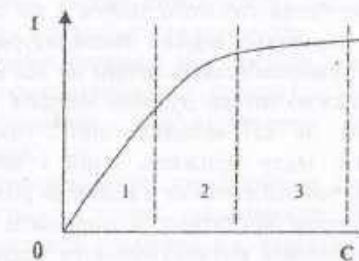


Рис. 6.2.5. Залежність інтенсивності ліній від концентрації при постійних умовах збудження
 $I-b=1$; $2-b < 1$; $3-b=0$.

У випадку малих концентрацій залежність лінійна ($b = 1$), зі збільшенням концентрації інтенсивність збільшується лінійно ($b > 1$). При великих концентраціях інтенсивність перестає зростати ($b = 0$) і навіть зменшується ($b < 1$).

При кількісному аналізі вибирають таку лінію визначуваного елемента і такі умови отримання спектра (режим джерела збудження, налагодження оптичної системи й умови фіксовання спектра), щоб коефіцієнт b для рівняння Ломакіна І.П. був якомога більшим.

Якщо можна забезпечити стабільність умов і параметрів, вони впливають на інтенсивність спектральних ліній при фіксуванні спектрів як досліджуваних зразків, так і еталонів, використовують метод прямого калібрування. Ці умови забезпечують прилади, в яких використовуються стабільні джерела збудження – газове полум'я ВЧ і НВЧ розряд.

Дугові та іскрові джерела збудження не відповідають умовам стабільності, тому для отримання необхідних результатів необхідно використовувати метод відносного калібрування, який в електронному аналізі називається методом гомологічних (аналітичних) пар.

Суть цього методу полягає в тому, що у спектрах зразків вибирають дві лінії, одна із яких належить визначуваному елементу (аналітична лінія), інша – елементу-стандарту (лінія порівняння). На стандарт використовують переважно елемент, який становить основну масу зразків й еталонів, і концентрація якого практично не змінюється. Деколи його додають у зразки і еталони в однаковій концентрації. На стандарт можна використати також матеріал допоміжного електрода або довкілля.

§ 6.2.6. Полум'яно-фотометричний аналіз

Полум'яними фотометрами називають спектральні прилади, призначені для використання газового полум'я як джерела збудження. Особливість методу – порівняно низька температура газового полум'я. Через це збуджуються і випромінюють атоми не всі елементи. Ті атоми, що збуджуються (переважно атоми лужних металів і лужно-земельних металів), випромінюють не всі можливі лінії. Таким чином, спектр випромінювання містить малу кількість ліній і не має необхідності використовувати диспергуючий елемент з великою роздільною здатністю. Між полум'ям і рецептором достатньо розташувати світлофільтр, який пропускає випромінювання визначувального елемента в області, де немає випромінювання інших елементів. Використання світлофільтрів спрощує конструкцію приладів і збільшує їх чутливість, що дозволяє відмовитися від оптичної системи і шілини.

Стабільність полум'я як джерела збудження дозволяє користуватися простим і точним методом прямого калібрування.

У полум'я об'єкт аналізу вводиться у вигляді розпорошених крапель розчину. Через це об'єкт аналізу для фотометрії полум'я необхідно попередньо обробити так, щоб визначуваний елемент перейшов у розчин. Прилад може працювати у безперервному режимі і використовуватися для безпосереднього аналізу рідких потоків. Сконструйовані полум'яні фотометри для одночасного визначення концентрацій декількох елементів.

Переваги атомно-емісійного аналізу:

- 1) високу чутливість елементного аналізу (10^{-3} - 10^{-4} %) без розділення;
- 2) документальність (при фотографічному фіксуванні);
- 3) універсальність (можна визначити всі елементи);
- 4) здатність до автоматизації;
- 5) можливість проведення локального аналізу.

Недоліки методу:

- 1) коштовне обладнання універсального призначення (прилади тики і точної механіки);
- 2) необхідність високої кваліфікації персоналу;
- 3) тривалість у часі при несерійних аналізах.

§ 6.2.7. Коротка характеристика атомно-абсорбційного аналізу

Атомно-абсорбційний аналіз базується на резонансному поглинанні характеристичного випромінювання елемента його незбудженими атомами, які перебувають у вільному стані.

При використанні цього методу об'єкт аналізу піддають дії високих температур для того, щоб привести його складові частини в стан атомної пари, але це стан є недостатній для збудження отриманих атомів. Крізь шар атомізованого зразка пропускають випромінювання від джерела безперервного спектра. Вільні атоми будуть поглинати фотони, енергія яких відповідає енергії резонансних переходів.

На виході випромінювання збільшується хвилями, які поглинаються атомами зразка, тобто спостерігається спектр поглинання.

Спектр поглинання випромінювання атомами елементів є аналітичним сигналом.

Якісною характеристикою аналітичного сигналу є довжина хвилі ліній, що поглинається. Ступінь послаблення інтенсивності цієї хвилі залежить від концентрації елемента і є якісною характеристикою цього методу.

Прилади атомно-абсорбційного аналізу складаються із таких частин: джерела випромінювання, атомізатора, монохроматора, рецептора.

1. Джерело випромінювання повинно мати у своєму спектрі лінії, довжини хвиль яких дорівнюють резонансним переходам атомів, які визначають.

Використовують такі джерела:

- a) газорозрядні лампи високого тиску (водневі, ртутні), які мають безперервний спектр у видимому й ультрафіолетовому діапазонах;
- b) лампи з порожнистим катодом, заповнені інертним газом і катодом, виготовленим з металу, який визначають. Лампи мають кварцеве вихідне вікно, через яке виходить випромінювання, що містить інтенсивну

резонансну лінію визначуваного елемента. Для визначення кожного елемента необхідно мати відповідну лампу з порожнистим катодом;

в) лазерне випромінювання, яке дозволяє отримувати поступове випромінювання певної довжини хвилі. Зручно використовувати лазер довжину хвилі випромінювання яких можна змінювати.

2. Атомізатор використовують для переведення елементів з розчину у стан атомної пари. Є такі типи атомізаторів:

а) полум'яні атомізатори з високою температурою полум'я різних горючих газів з окисниками. Досліджуваний зразок переводиться в розчин, переважно водний, який у вигляді дрібних крапель вводиться в газовий потік перед пальником;

б) електротермічні атомізатори це графітові трубчаті печі, які можуть нагріватися струмом до 3000°C . Об'єкт аналізу у вигляді розчину або твердої речовини вміщують на внутрішньо холодну стінку печі; при нагріванні відбувається його випаровування й атомізація.

3. Монокроматори необхідні для виділення з випромінювання, яке пройшло через атомізатор, резонансної лінії визначуваного елемента. Застосовуються призменні або дифракційні монокроматори з вхідною щілиною і відповідною системою.

4. Фотоелектричні перетворювачі використовують як рецептор. Фотоелементи, які видають електричний сигнал, пропорційний інтенсивності світла, що на них падає.

Якісний аналіз проводять на приладах з безперервним спектром освітлення і монокроматором, що дає можливість зареєструвати спектр поглинання атомізованого зразка. Наявність поглинання, яке відповідає довжинам хвиль в резонанських ліній, свідчить про наявність відповідних елементів. Використання ламп з порожнистим катодом може свідчити про наявність або відсутність елемента, для визначення якого призначена на лампа.

Кількісний аналіз базується на залежності ступеня поглинання випромінювання від концентрації визначуваного елемента. Поглинання монокроматичного випромінювання атомами відбувається за законом аналогічним закону Бугера-Ламберта-Бера:

$$I = I_0 10^{-kc}, \quad (6.2.7)$$

де I – інтенсивність світла, що пройшло через шар атомів;

I_0 – інтенсивність падаючого світла;

k – коефіцієнт поглинання;

c – концентрація поглинаючих атомів пропорційна концентрації елемента в зразку.

Коефіцієнт поглинання змінюється залежно від геометрических розмірів атомізатора і від умов атомізації (температура, швидкість подачі розчину в атомізатор, наявність інших елементів).

Величину $A = kc/l$ називають абсорбційністю. Враховуючи формулу (6.2.7) отримаємо:

$$A = kc\ell. \quad (6.2.8)$$

Кількісний аналіз проводять методом прямого калібрування, оскільки прилади дозволяють підтримувати стабільні умови атомізації і геометричні розміри атомізатора, якщо матриця стандартних розчинів відповідає складу досліджуваного розчину. Якщо неможливо відтворити матрицю, користуються методом добавок.

У теперішніх приладах сигнал рецептора подається безпосередньо на комп'ютер, де опрацьовується, згідно із заданою програмою. Метод має такі переваги: висока чутливість ($0,0001$ - $0,0005$ мг/л), висока точність (0,5-1,0%), навіть для великих концентрацій визначуваної речовини.

§ 6.2.8. Молекулярно-абсорбційні методи аналізу

Молекулярно-абсорбційний метод аналізу базується на поглинанні електромагнітних коливань оптичного діапазону молекул досліджуваної речовини. Коли енергія фотона дорівнює різниці енергій двох енергетичних рівнів молекули, тоді здійснюється поглинання електромагнітних коливань. Розглянемо структуру енергетичних рівнів молекули, яка складається з атомів, пов'язаних між собою хімічними зв'язками.

Енергія молекул має такі складові:

1. Енергія оптических (валентних) електронів, що перебувають або на нижчих (незбуджених) енергетичних рівнях, або на одному із буджених рівнях.

$$E_e = E_1 - E_0. \quad (6.2.9)$$

2. Енергія коливань атомів.

С такі види коливань:

а) валентні – через періодичну зміну відстані між атомами по лінії, яка їх з'єднує. Розглянувши двохатомну молекулу як гармонічний осцилограф, можна обчислити частоту таких коливань:

$$\nu = \frac{1}{2\pi} \frac{F}{\mu}, \quad (6.2.10)$$

де ν – частота коливань; F – силова константа; μ – наведена маса.

Енергія валентних коливань $E_R = h\nu (v + \frac{1}{2})$, де v – коливне квантове число. Енергія коливних рівнів ніколи не дорівнює нулю.

Для трьохатомних молекул буває два види валентних коливань без зміни валентного кута. (рис. 6.2.6, б, в).

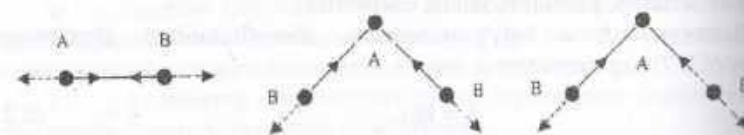


Рис. 6.2.6. Схеми валентних коливань – (A-B)

- а) а – (v (A-B)) – двохатомних молекул; б – (v_r (A-B));
в – (v_{ii} (A-B)) – трьохвалентних молекул;
б) для багатоатомних молекул коливання бувають із зміною валентних кутів – деформаційні. Деформаційні коливання мають чотири види (рис. 6.2.7):

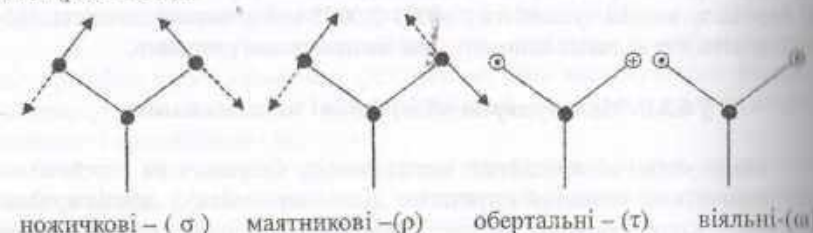


Рис. 6.2.7. Схема деформаційних коливань

в) переважно зміна валентного кута супроводжується зміною міжатомних відстаней. Такі коливання називаються валентно-деформаційними.

1. Енергія обертання молекули як цілого навколо центра мас становить:

$$E = \frac{h^2}{8\pi^2 I_M} (j+1)j, \quad (6.2.11)$$

де I_M – момент інерції молекули, який залежить від маси атомів і міжатомних відстаней; j – обертальне квантове число.

Повна енергія молекули становить суму всіх видів енергій:

$$E_m = E_e + E_k + E_{ob}. \quad (6.2.12)$$

Найбільшу енергію мають електрони збуджених рівнів. Коливальні рівні мають меншу енергію, обертальні – ще меншу:

$$E_e > E_k > E_{ob}. \quad (6.2.13)$$

Оскільки величина енергетичних рівнів молекул залежить від їх будови, то аналітичним сигналом у даному аналізі є сукупність енергій фотонів, які здатні поглинати різні молекули, тобто спектр поглинання електромагнітних коливань. Поглинання світла кількісно вимірюється відношенням інтенсивності світла, яке пройшло через шар речовини (I_e), до інтенсивності світла що падає (I_0), вираженого у відсотках:

$$T = \frac{I_e}{I_0} \cdot 100\%. \quad (6.2.14)$$

Дана величина називається прозорістю, або пропусканням.

У видимому й ультрафіолетовому діапазонах поглинання зумовлене електронними переходами, а в інфрачервоному і мікрохвильовому діапазонах – коливальними і обертальними переходами в основному (незбудженному) електронному стані.

В абсорбційній електроскопії як характеристика коливань використовується число хвиль $v = c/\lambda = v/c$ [см⁻¹], а оптичний діапазон поділяється на вужчі піддіапазони.

Найбільш інформативними є середній ІЧ, видимий і близькій УФ діапазони. Спектр поглинання молекул має смугастий характер, тобто складається з сукупності розмитих смуг, розділених ділянками практичної відсутності поглинання.

Діапазон	Довжина хвилі, мм	Число хвилі, см ⁻¹
Дальний ІЧ	$10^5 - 5 \times 10^4$	10-200
Середній ІЧ	$5 \times 10^4 - 2,5 \times 10^3$	200-4000
Близькій ІЧ	$2,5 \times 10^3 - 760$	4000-13000
Видимий	760-360	13000-28000
Близькій УФ	360-2000	$28 \times 10^3 - 50 \times 10^3$
Дальний УФ	200-10	$5 \times 10^4 - 10^6$

Розмивання спектрів поглинання молекул відбувається через те, що електрони і коливальні рівні розщеплюються на коливальні та обертальні підрівні і налипання супроводжується появою у спектрі великої кількості ліній з близькими довжинами хвиль, які (через брак розділюальної матності спектральних приладів) зливаються у смуги поглинання. Оскільки співвідношення енергій електронних, коливальних і обертальних ліній різне, смуги поглинання в УФ діапазоні більш розмиті, а в ІЧ діапазоні складаються із порівнянь гострих піків.

Отже, в розглянутому методі аналізу аналітичним сигналом є двовимірна залежність коливання: або від частоти (довжини) хвилі, або числа хвилі. Аналітичний сигнал характеризується частотою (довжиною)

хвилі або число хвилі в мінімумі пропускання й інтенсивність поглинання електромагнітних коливань певної частоти.

Для проведення якісного аналізу використовують частоти, при яких відбувається інтенсивне поглинання світла, тобто ті, які залежать від будови і не залежать від кількості молекул.

У кількісному аналізі використовують залежність інтенсивності поглинання світла від кількості (концентрації) молекул досліджуваної речовини для певної частоти.

§ 6.2.9. Якісний аналіз

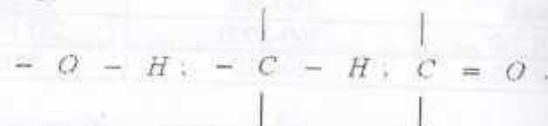
Якісний аналіз за спектрами поглинання ґрунтуються на наступних властивостях:

1. Не буває двох речовин, які мали б або мають одинаковий спектр поглинання, тому якісний аналіз (ідентифікацію) речовин проводять порівнянням спектра досліджуваної речовини із спектрами відомих конкретних речовин, отриманих за однакових умов.

2. Кількість смуг поглинання залежить від кількості активних коливань. Активними є коливання, які призводять до зміни дипольного моменту молекули, тобто до коливань у молекулі. Більше атомів у молекулі – більша кількість активних коливань.

3. На практиці досліджено, що деякі функціональні групи, складі молекул мають характерні смуги поглинання великої інтенсивності, які мало залежать від загальної будови молекуля. Їх називають характеристичними, або груповими.

Наприклад, якщо органічні молекули містять у своєму складі функціональні групи:



то у спектрах поглинання будуть зафіковані смуги поглинання при таких значеннях числа хвилі: 3600-3700; 300 та 1720-1730 cm^{-1} відповідно. Так само для неорганічних сполук – наявність груп = Si – O – Si-O-Si-O- призводить до фіксації смуг поглинання з числом хвилі 785-800 та 480-515 cm^{-1} .

Використовуючи характеристичні коливання, можна провести молекулярний, функціональний, а в деяких випадках і фазовий аналіз. Зміщення частоти характеристичних коливань вказує на структуру молекули і внутрішньо-молекулярні взаємодії. Таким чином, вивчення спектрів поглинання дає інформацію як про якісний склад, так і про структуру молекул. Оскільки є велика кількість органічних і неорганічних

сполук і речовин та порівняно малий набір функціональних груп, то формувати однозначний висновок про якісний склад об'єкта аналізу можливо за даними спектра поглинання важко. Тому молекулярно-абсорбційний метод часто комбінують з іншими фізико-хімічними методами або з попереднім розділенням об'єкта аналізу на чисті йони, або з розчинами суміші.

§ 6.2.10. Закон Бугера-Ламберта-Бера

Зобразимо кількісні закономірності поглинання монохроматичного проміннювання шаром речовини (рис. 6.2.8).

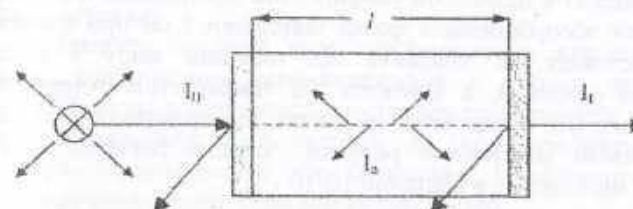


Рис. 6.2.8. Проходження променя світла через шар речовини

Внаслідок проходження світла інтенсивністю I_0 через шар речовини, вміщеної в кюветі з прозорого матеріалу, частина проміннювання (I_t) відбивається або розсіюється на поверхні розподілу фаз, частина поглинається, витрачаючись на збудження молекул поглинаної речовини (I_e), решта (I_a) виходить з кювети:

$$I_0 = I_t + I_a + I_e. \quad (6.2.15)$$

Застосовують такі матеріали і геометрію кювети, щоб $I_t < I_a$. Тому матеріали, через які світло заходить і виходить з кювети, повинні бути тонкими і плоско-паралельними:

$$I_t = I_a + I_e. \quad (6.2.16)$$

Бугер і Ламберт довели, що однорідні шари однакової товщини (t) поглинають одну й ту ж частку падаючого світлового потоку. Це залежність виражає експонента:

$$I_t = I_0 e^{-kt}, \quad (6.2.17)$$

де t – товщина шару номінальної речовини; k – коефіцієнт поглинання, який для кожної конкретної речовини залежить від її природи, конструкції, температури, та довжини хвилі падаючого світла.

Коефіцієнт поглинання пропорційний концентрації речовини і дорівнює:

$$k = \epsilon c. \quad (6.2.18)$$

Об'єднаний закон Бугера-Ламберта-Бера має вигляд:

$$I_t = I_0 e^{-\epsilon cl}. \quad (6.2.19)$$

Величину $A = \epsilon cl / I_0$ називають оптичною густиною, або абсорбційністю. Враховуючи абсорбційність закон Бугера-Ламберта-Бера набуває вигляду:

$$A = \epsilon cl. \quad (6.2.20)$$

Коефіцієнт ϵ називають коефіцієнтом поглинання, або екстинцією. Він дорівнює абсорбційності зразка завтовшки 1 см при концентрації моль/л. Екстинція не залежить від товщини шару і концентрації поглинаючої речовини, а залежить від температури будови речовини, довжини хвилі (λ), числа хвилі (v) світла, що проходить через нього, фізико-хімічною константою речовин. Числові значення екстинції, основному, знаходяться в діапазоні $10-10^5$.

§ 6.2.11. Схема приладів для вимірювання спектра поглинання

Будь-який абсорбційний спектральний прилад складається з таких основних частин:



Рис. 6.2.9. Схема принципу роботи молекулярно-абсорбційного приладу

1. Джерело випромінювання безперервного спектра:

- для ультрафіолетового діапазону – газорозрядні лампи H_2D_2 , H високого тиску;
- для видимого діапазону – лампи розжарювання (W), $T = 3000K$;
- для інфрачервоного діапазону – штифт Глобара (Si) $T = 1200-1500 K$;
- штифт Нернста (оксиди металів), $T = 1500-1700 K$.

2. Монокроматор використовується для виділення із суцільного випромінювання джерела світла вузького діапазону випромінювання:
- для ультрафіолетового діапазону – кварцеві призми, світлофільтри;
 - для інфрачервоного – призми з LiF, NaCl, KBr, CaF₂;
 - для видимого – скляні призми, світлофільтри.

Дифракційні решітки використовують в усіх діапазонах.

3. Пристрій для розміщення досліджуваного зразка.

Тверді прозорі зразки застосовуються безпосередньо у вигляді плоскопаралельних пластинок, розташованих перпендикулярно до променя падаючого світла.

Якщо, зразки малопрозорі, їх подрібнюють і змішують з матеріалом, прозорим у цій ділянці спектра.

У кювети вміщують рідкі зразки, розчини і гази, які мають віконця з матеріалу, прозорого в обраному спектральному діапазоні (кварц, скло, кремез, LiF, NaCl, KBr). Використовуючи двопроменеву схему, один з променів опускається через кювету, заповнену чистим розчинником або речовиною, яка становить основну частину зразка, а інший – через досліджувану речовину.

4. Детектор пристрій, який використовують для перетворення інтенсивності поступаючого випромінювання в сигнал, зручний для реєстрування. Для ультрафіолетового і видимого діапазону використовують переважно фотоелементи й фотоопори. В інфрачервоному діапазоні використовують термоелементи або болометри. Ці фотоперетворювачі подають електричний сигнал, який фіксується реєстратором.

5. Реєстратори – пристрій, необхідні для фіксування сигналу детектора на стрілкових або цифрових вимірювальних приладах чи на самописці. У видимому діапазоні можлива індикація, коли людське око відіграє роль і детектора, і реєстратора. Отриманий спектр поглинання дає зможу визначити числа хвилі, які відповідають молекулам поглинання.

§ 6.2.12. Кількісний фотоколориметричний аналіз

У кількісному аналізі треба визначити оптичну густину в повному діапазоні спектрального аналізу. Оскільки, для проведення тільки кількісного аналізу немає необхідності використовувати прилад за повною гаммою, достатньо виміряти абсорбційність у певних фіксованих спектральних діапазонах, які можна виділити за допомогою простих приладів – світлофільтрів. Переважно кількісний аналіз проводять у видимому та ультрафіолетовому діапазонах. Якщо використовують оптичну детекцію, прилади називаються фотоколориметрами, якщо фотоелектричну – фотоелектроколориметрами.

У фотоколориметрах висока чутливість ($10^{-4}-10^{-9}$ %) до широкопозведених розчинів. Аналіз розчинів, які не поглинають світла у окремих діапазонах (безбарвні), проводять переведенням їх за допомогою окремих речовин у забарвлени сполуки.

Використовуючи фотоколориметри з візуальною детекцією, порівняння інтенсивності забарвлення досліджуваного і стандартного розчину можна здійснювати такими способами:

1. Метод стандартних серій

Готують стандартні розчини з певним кроком, який залежить від концентрації речовини. Вміщують ці розчини у кювети з однаковою товщиною поглинаючого шару. Розчин, що досліджують, наливають у ту ж кювету і вибирають дві кювети із стандартними розчинами, інтенсивність кольору в яких більша і менша, ніж інтенсивність кольору досліджуваного розчину. Концентрація речовини в досліджуваному розчині знаходитьться в межах концентрацій цих стандартних розчинів. Такий метод має перевагу перед методом титрування, оскільки не потребує обладнання і виконання закону Бугера-Ламберта-Бера, однак він трудомісткий і точність його не перевищує 10%.

2. Метод розбавлення

Досліджуваний і стандартний розчин наливають у дві кювети з однаковою довжиною поглинаючого шару так, щоб інтенсивність забарвлення стандартного розчину була меншою, ніж досліджуваного. Розводять досліджуваний розчин об'ємом V_0 до вирівнювання забарвлення і вимірюють кінцевий об'єм досліджуваного розчину – V_x . Концентрацію речовини обчислюють за формулою:

$$C_x = C_{ct} V_x / V_0 . \quad (6.2.20)$$

Такий метод точніший, ніж метод стандартних серій, і також не вимагає виконання закону Бугера-Ламберта-Бера.

3. Метод зміни довжини поглинаючого шару.

У дві кювети наливають досліджуваний і стандартний розчин, причому інтенсивність забарвлення стандартного розчину повинна бути меншою, ніж досліджуваного. Вміщуючи скляний стрижень у кювету з досліджуваним розчином, зменшують довжину поглинаючого шару C_x до вірноваження його забарвлення із забарвленням стандартного розчину з довжиною C_{ct} . Концентрацію обчислюють за формулою:

$$C_x = C_{ct} I_{ct} / I_x . \quad (6.2.21)$$

Метод вимагає виконання закону Бугера-Ламберта-Бера.

§ 6.2.13. Фотоелектроколориметричне титрування

Якщо під час титрування хоча б одна з речовин (визначувана титрантом, або продукт реакції) забарвлена або поглинає різні частини спектрального діапазону, вимірювання абсорбційності може бути використане для фіксовання точки еквівалентності.

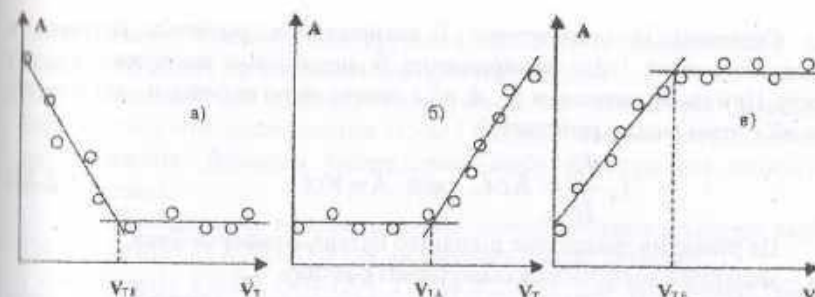


Рис.6.2.10. Криві фотоелектроколориметричного титрування за реакцією $X-T-B$
а) поглинання X ; б) поглинання T ; в) поглинання B .

Тому розчин визначуваної речовини переносять у кювету фотоелектроколориметра, вибирають світлофільтр, максимум пропускання якого відповідає максимуму поглинання обраної речовини, і титрують розчином титранту, фіксуючи залежність абсорбційності розчину від об'єму титранту. Залежно від того, яка речовина поглинає, графік титрування буде мати різний характер (рис. 6.2.10).

У всіх випадках на графіку спостерігається змін при об'ємі титранту, який відповідає точці еквівалентності. При використанні кольорових індикаторів на кривій титрування спостерігається стрібок.

§ 6.2.14. Турбідиметрія і нефелометрія

Фотоелектроколориметри використовують для хімічного аналізу не тільки в молекулярно-абсорбційному методі, але і в методах, які ґрунтуються на поглинанні або розсіюванні світлового потоку дисперсними частинками.

Турбідиметрія базується на вимірюванні послабленого світлового потоку, який проходить через розчин з сусpenзією малорозчинних сполук. Тому поглинання і розсіювання інтенсивності падаючого світлового потоку зменшується і визначається рівнянням:

$$\lg \frac{I_o}{I_t} = K \frac{C d^3}{d^4 + \alpha \lambda^4} , \quad (6.2.23)$$

де I_o і I_t – інтенсивність падаючого світлового потоку, який пройшов через сусpenзію без зміни напрямку; c – концентрація поглинаючих частинок у розчині; d – середній діаметр поглинаючих частинок; K^1 і α – константи, які залежать від методу вимірювання та природи сусpenзії; λ – довжина хвилі падаючого світла.

Суспензії із стандартних і вимірюваних розчинів готують в однакових умовах і для вимірювання їх послідовно вміщують в один кювету. При цьому значення K^1 , d , α і λ мають певні величини, які можуть бути об'єднані в одну константу:

$$\frac{I_0}{I_r} = Kc\ell, \text{ або } A = Kc\ell. \quad (6.2.24)$$

Це рівняння аналогічне рівнянню Бугера-Ламберта-Бера, де K – молярний коефіцієнт каламутності розчину.

Нефелометрія ґрунтуються на вимірюванні світлового потоку розсіяного частинками суспензії малорозчинних сполук. Інтенсивність розсіяного потоку описується рівнянням Релея:

$$I_r = I_0 \left(F \frac{NV^2}{\lambda \gamma^2} \sum (1 + \cos^2 \beta) \right), \quad (6.2.25)$$

де I_0 і I_r – інтенсивність падаючого і розсіяного потоку, відповідно; F – функція, яка залежить від від коефіцієнтів заломлення частинок і розчину; N – загальна кількість частинок у суспензії; V – об'єм частинки, γ – відстань до приймача світла; β – кут між напрямом падаючого і розсіяного світла.

Для нефелометричних вимірювань приймач світла розташовувати перпендикулярно до напрямку падаючого світлового потоку ($\beta = 90^\circ$). Прилади, які мають два фотоелементи і розташовані так, що один направлений до падаючого світла, а інший перпендикулярний до цього, називаються фотоколориметрами-нефелометрами.

При постійності умов проведення реакції загальна кількість частинок (N) пропорційна концентрації визначуваної речовини. Від вимірювання проводять при певних значеннях I_0 , F , V , γ , β . Об'єднуючи їх в одну константу, можна записати:

$$I_r = KC. \quad (6.2.26)$$

Кількісний аналіз проводять методом абсолютноного калібрування залежністю інтенсивності розсіяного світла від концентрації.

Нефелометричні та турбідиметричні вимірювання мають високу чутливість, не дуже точні, оскільки є труднощі у відтворюванні умов утворення однакових за розмірами частинок суспензії малорозчинних сполук.

§6.2.15. Газоаналізатори хімічні

Газовизначник хімічний типу ГХ-М – це портативний пристрій ручної дії, призначений для експресного кількісного визначення шкідливих газів у атмосфері рудників при їх моніторингу. Газовизначник

складається з індикаторних трубок і міхового аспіратора типу АМ (у вигляді міха) для пропускання повітря через трубки.

Принцип дії приладу ґрунтуються на кольоровій реакції, яка відбувається між аналізованим газом і відповідним реагентом, нанесеним на силікагель. Довжина забарвленого шару пропорційна визначуваній концентрації.

Промисловість випускає хімічні газовизначники декількох типів: ГХ-М СО-0,25 і ГХ-М СО-5 для визначення оксиду вуглецю; ГХ-М СО₂-2; ГХ-М СО₂-15 і ГХ-М СО₂-50 для визначення диоксиду вуглецю; ГХ-М SO₂-0,007 для визначення диоксиду сірки; ГХ-М H₂S-0,0066 для визначення сірководню; ГХ-М NO+NO₂-0,005 для визначення оксидів азоту; ГХ-М O₂-21 для визначення кисню.

Кожний газовизначник складається з відповідної індикаторної трубки (СО-0,25; СО-5; СО₂-2; СО₂-15; СО₂-50; SO₂-0,007; H₂S-0,0066; NO+NO₂-0,005; O₂-21) і аспіратора АМ-5, що служить для пропускання досліджуваної газової суміші через трубки. Додатково в склад газовизначників ГХ-М СО-0,25 і ГХ-М СО-5 входить захисна трубка ТП, призначена для вловлення вуглеводнів з газової проби.

Методи визначення газових компонентів атмосфери у рудниках газовизначниками – специфічні. В присутності вуглеводнів (пропану і бутану) вимірювання вмісту оксиду вуглецю газовизначниками ГХ-М СО-0,25 і ГХ-М СО-5 необхідно виконувати з використанням захисної трубки ТП.

Газовизначники можуть експлуатуватися при таких температурах: ГХ-М СО-0,25 – від 0 до 35°C; ГХ-М СО-5 – від 10 до 50°C; ГХ-М NO+NO₂-0,005 – від 10 до 45 °C; ГХ-М SO₂-0,007 – від 5 до 50 °C; ГХ-М H₂S-0,0066 – від 5 до 35°C; ГХ-М СО₂-2 – від 10 до 35°C; ГХ-М СО₂-15 – від 5 до 40°C; ГХ-М СО₂-50 – від 5 до 50°C; ГХ-М O₂-21 – від 0 до 50°C.

Технічні параметри і характеристики газовизначників наведені в довідковій літературі.

Індикаторні трубки в наборі ГХ-М – це скляні трубки довжиною 125 мм (для кисню 242 мм) із зовнішнім діаметром 7; 8,2 і 8,9 мм. Їх заповнюють індикаторним порошком і запають у заводських умовах з двох кінців. Перед відбором проб повітря кінці індикаторної трубки відломлюють за допомогою отвору, що знаходиться на аспіраторі. На

поверхні трубки фарбами нанесено формулу речовини, що визначає вимірювальну шкалу і стрілку, що вказує напрямок руху повітря через трубку при відборі проби аспіратором.

Визначення оксиду вуглецю в повітрі.

Метод призначений для вимірювання концентрації оксиду вуглецю в повітрі робочої зони в межах від $6,25$ до $62,57 \cdot 10^3 \text{ mg/m}^3$ (або об'ємній частці від $0,0005$ до $5,0\%$). При цьому використовують газовизначники ГХ-М СО-0,25 і ГХ-М СО-5. Цей метод використовують для визначення оксиду вуглецю в повітрі робочої зони підприємств різних галузей промисловості, вимоги яких він задовільняє.

Він ґрунтується на окисненні оксиду вуглецю йодатом калію в кислому середовищі з утворенням продуктів реакції від зеленого до темно-коричневого кольору залежно від вмісту оксиду вуглецю в досліджуваній газовій суміші.

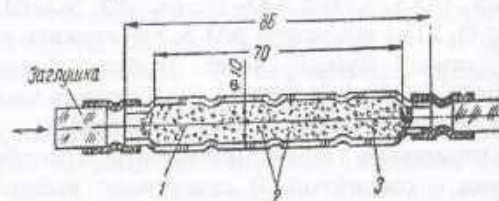


Рис. 6.2.11. Фільтруючий патрон

для лінійно-колористичного визначення оксиду вуглецю

- 1 – силикон, оброблений розчином хромового ангідриду;
- 2 – сухе активоване вугілля;
- 3 – силикон, оброблений розчином сульфату ртуті

Відбір проби повітря і визначення вмісту оксиду вуглецю в повітрі з допомогою індикаторної трубки і аспіратора проводять таким чином. В місці відбору проби повітря відкривають індикаторну трубку СО-0,25, відломавши обидва її кінці з допомогою пристрою, який є в аспіраторі, так, щоб не порушити прокладку і шар порошку. Трубку пішов вставляють в гніздо аспіратора так, щоб стрілка була скерована на аспіратор. Аспіратор приводять в дію, стискаючи сильфон до зупинки, а після цього відпускають його. Кінець всмоктування визначають натягом ремінця. Якщо після одного ходу аспіратора забарвлення в трубці не з'явиться або не досягне другої поділки шкали, то роблять ще стискань аспіратора, тобто пропускають через трубку 1000 cm^3 досліджуваної газової суміші.

Об'ємну частку оксиду вуглецю визначають, розділивши цифру, що відповідає поділці шкали, до якої забарвився індикаторний порошок, на

100 або 1000 залежно від пропущеного об'єму суміші. Якщо вміст оксиду вуглецю в об'ємних частках у повітрі перевищує $0,25\%$, то використовують індикаторну трубку СО-5. Для перерахунку вмісту оксиду вуглецю в об'ємних частках у % або в mg/m^3 використовують літературні дані.

При наявності в досліджуваному середовищі вуглеводнів (пропану і бутану) концентрацію оксиду вуглецю вимірюють з допомогою захисної трубки ТП. Для цього виймають захисну трубку з футляря, відломлюють один її кінець і підключають до аспіратора. Пропускають через захисну трубку 100 cm^3 досліджуваної газової суміші, після цього відключають аспіратор і з'єднують захисну трубку за допомогою гумової трубки з передньою відкритою індикаторною трубкою СО-0,25 або СО-5. Потім вставляють за напрямком стрілки в гніздо аспіратора і вимірюють концентрацію оксиду вуглецю в повітрі.

Визначення оксидів азоту в повітрі

Метод призначений для вимірювання концентрації оксидів азоту (NO+NO_2) в повітрі в межах від $2,05$ до $102,6 \text{ mg/m}^3$ (або об'ємній частці від $0,0001$ до $0,005\%$). При цьому використовують газовизначник ГХ-М $\text{NO+NO}_2-0,005$.

Метод ґрунтується на послідовному окисленні оксиду азоту до оксиду перманганатом калію в кислому середовищі й окисленні йодиду калію диоксидом азоту з утворенням йодокрохмального комплексу іншого кольору.

Якщо після одного ходу аспіратора забарвлення в трубці не з'явиться або не досягне другої поділки шкали, то роблять ще дев'ять ходів аспіратора, тобто пропускають через трубку 1000 cm^3 повітря. Вміст оксидів азоту визначають за градуювальною шкалою на трубці або футлярі, розділивши цифру, на якій забарвився індикаторний порошок, на 10000 .

Якщо необхідно окремо визначити вміст оксидів азоту, то спочатку визначають їх сумарний вміст, а після цього вміст диоксиду азоту. Для цього беруть другу індикаторну трубку, відламують обидва кінці і встановлюють в аспіратор за напрямком стрілки з позначенням NO_2 . Вміст оксиду азоту визначають, сумістивши початок забарвленого шару з чистовою поділкою шкали на футлярі. Вміст NO визначають як різницю між сумарним вмістом оксидів азоту і вмістом диоксиду азоту.

Для отримання більш достовірних даних при окремому визначення вмісту оксидів азоту вимірювання слід робити одночасно двома трубками з відбором проби з однієї точки за допомогою трійника. Для цього встановлюють індикаторні трубки одним кінцем до отворів трійника, а іншим – до аспіраторів.

Визначення диоксиду сірки

Метод призначений для вимірювання концентрації диоксиду сірки в забрудненому повітрі в межах від 5,70 до 200,0 мг/м³ (або об'ємній часті від 0,00020 до 0,007%). При цьому використовують газовизначник ГХ-М SO₂-0,007.

Його робота ґрунтується на окислені диоксиду сірки йодом при наявності крохмалю із зміною кольору індикаторного порошку з сіро-синього в білий.

Якщо після одного ходу аспіратора знебарвлений шар індикаторного порошку в трубці не досягне другої поділки шкали, то роблять ще 9 ходів аспіратора, тобто пропускають через трубку 1000 см³ суміші.

Вміст диоксиду сірки визначають за градуувальною шкалою на трубці або футлярі, розділивши цифру на шкалі, до якої знебарвився індикаторний порошок, на 10 000.

§ 6.2.16. Газоаналізатор УГ-2

Загальна характеристика газоаналізатора УГ-2

Газоаналізатор універсальний УГ-2 призначений для вимірювання концентрації шкідливих газів і парів у повітрі робочої зони виробничих приміщень під час їх моніторингу. Принцип роботи газоаналізатора ґрунтується на вимірюванні забарвлення шару індикаторного порошку в індикаторній трубці після пропускання через неї повітрезабірним пристрієм досліджуваного повітря робочої зони. Довжина забарвленого шару індикаторного порошку в трубці пропорційна концентрації аналізованого газу в повітрі, її вимірюють за шкалою, яка відкалибрована в мг/м³.

Умови експлуатації газоаналізатора: температура навколошнього повітря від 10 до 30 °C, при вимірюванні концентрації диоксиду сірки – від 15 до 30°C, при вимірюванні концентрації ацетону з поглинальною трубкою – 15 до 30°C і без поглинальної трубки – від 10 до 25 °C, відносна вологість повітря не більша, ніж 90%, атмосферний тиск від 90 до 104 кПа (від 700 до 780 мм.pt.st.), масова частка пилу не більша, ніж 40 мг/м³.

Основна відносна похибка результату вимірювання концентрації шкідливих речовин у повітрі газоаналізатором УГ-2 до 1 ГДК не перевищує ±60%, в інтервалі від 1 до 2 ГДК – ±35% і вище 2 ГДК – ±25%.

Газоаналізатор УГ-2 складається з повітрезабірного пристрія, вимірювальних шкал, штока, зразків індикаторних трубок і фільтруючих патронів, запаяних ампул з індикаторними порошками і інших інструментів, які необхідні для приготування індикаторних трубок і фільтруючих патронів (див. рис. 6.2.12).

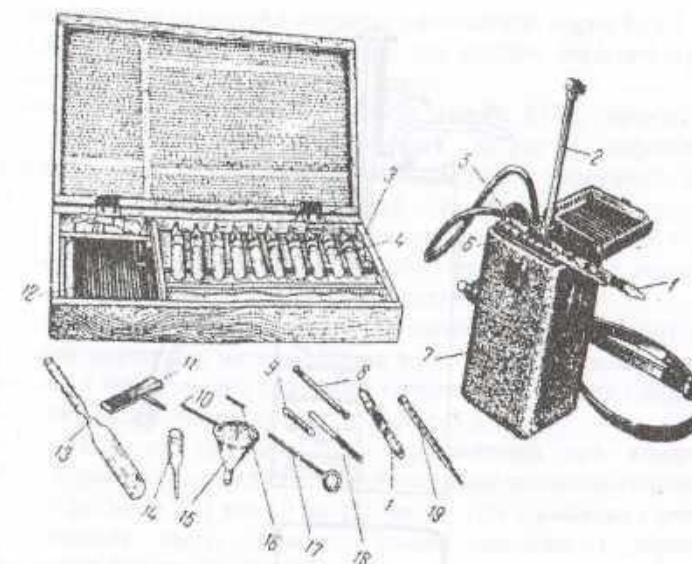


Рис. 6.2.12. Газоаналізатор УГ-2 із комплектом засобів і фільтром
 1 - фільтруючий патрон; 2 - шкали; 3 - футляр для засобів; 4 - ампули з індикаторним порошком; 5 - індикаторна трубка; 6 - шкала; 7 - повітрезабірний пристрій; 8 - індикаторна трубка з ковпачком із сургучу; 9 - маленька трубка для продування патрона; 10 - стрижень; 11 - шаблон для виготовлення заглушок; 12 - металева коробка для зберігання індикаторних трубок і патрона; 13 - пуста запасна ампула; 14 - боронка з видовженим кінцем; 15 - лійки; 16 - заглушка; 17 - стрижень; 18 - відпрацьована індикаторна трубка; 19 - термометр

Залежно від меж вимірювання на кожну пару чи газ, яку визначають одна або дві шкали. В основу побудови вимірювальних шкал покладені градуувальні криві, які виражають залежність довжини шару порошку, який змінив забарвлення, в індикаторній трубці, від концентрації аналізованої речовини. З метою отримання цих даних створюють контрольні суміші аналізованої речовини з повітрям і кількісно визначають його вміст з допомогою пристладу УГ-2. В комплект поставки газоаналізатора УГ-2 входять повітрезабірний пристрій, комплекти індикаторних засобів (КІЗ-УГ-2) і паспорт.

Комплекти індикаторних засобів

Комплект індикаторних засобів (КІЗ), російська абревіатура – КІС (комплект індикаторних засобів) УГ-2 на оксиди азоту призначений для вимірювання концентрації оксиду, диоксиду азоту і їх суми в повітрі робочої зони газоаналізатором УГ-2 у межах від 2,5 до 50 мг/м³.

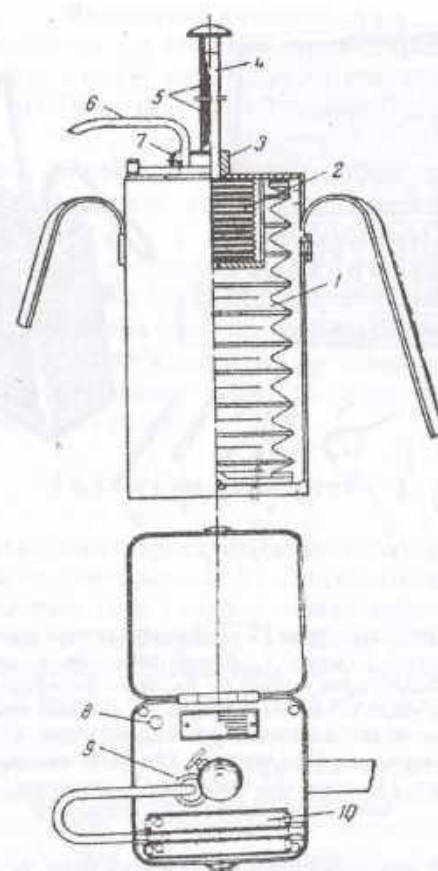


Рис. 6.2.13. Газоаналізатор УГ-2 (поздовжній розріз; вигляд зверху)
1 – гумовий сифон; 2 – пружина в стиснутому стані; 3 – нерухома втулка; 4 – штанг; 5 – канавка з двома заєгленнями; 6 – від'єднана гумова трубка; 7 – фіксатор; 8 – отвір для зберігання штанги; 9 – отвір для штуцера; 10 – підставка із шкалами

У комплект поставки КІЗ УГ-2 на оксиди азоту входять 20 ампул з індикаторним порошком, 10 ампул з окислювачем, 5 ампул з поглиначем 5 і набір засобів для приготування індикаторних і допоміжних трубок. Маса індикаторного порошку в ампулі 4 ± 1 г.

Індикаторний порошок складається з активного силікагелю марки КСКГ фракції 0,16 – 0,24 мм, просоченого індикаторним розчином, який готовують з використанням етанолу, оцтової кислоти, о-дианізидину і дистильованої води. Індикаторний порошок білого кольору після взаємодії з оксидами азоту забарвлюється в червоний колір.

Окислювач складається з активного силікагелю марки КСКГ фракції 0,16 – 0,24 мм, просоченого розчином, що містить перманганат калію, фосфорну кислоту і дистильовану воду.

Поглинач 5 – активний силікагель марки КСКГ фракції 0,16 – 0,24 мм, просочений розчином карбонату натрію і дифеніламіном. Гарантійний термін КІЗ УГ-2 на оксиди азоту – 16 міс. з часу виготовлення.

КІЗ УГ-2 на бензин призначений для вимірювання концентрації бензину в повітрі робочої зони газоаналізатором УГ-2 в межах від 50 до 1000 мг/м³. Для вловлювання парів води, ароматичних і ненасичених углеводнів використовують фільтруючий патрон.

У комплект поставки КІЗ УГ-2 на бензин входять двадцять ампул з індикаторним порошком, чотири ампули з поглиначем 2, чотири ампули з поглиначем 3 і набір засобів для виготовлення індикаторних і допоміжних трубок. Маса індикаторного порошку в ампулі 5 ± 1 г.

КІЗ УГ-2 на диоксид сірки призначений для вимірювання концентрації диоксиду сірки в повітрі робочої зони газоаналізатором УГ-2 у межах від 5 до 30 мг/м³ і від 20 до 120 мг/м³. Для вловлення сірководню, сіану, диоксиду азоту, туману сірчаної кислоти і парів води використовують фільтруючий патрон.

У комплект поставки КІЗ УГ-2 на сірки диоксид входять двадцять ампул з індикаторним порошком, десять ампул з поглиначем 8 і набір засобів для виготовлення індикаторних і допоміжних трубок. Маса індикаторного порошку в ампулі 4 ± 1 г.

Індикаторний порошок складається з активного силікагелю марки КСКГ фракції 0,24 – 0,31 мм, просоченого розчином розчинного крохмалю і йодиду ртуті у воді та індикаторним порошком, що містить йодид калію у воді і металічний йод. Індикаторний порошок темно-сірого кольору після взаємодії з диоксидом сірки забарвлюється в білий колір. Поглинач 8 – це легковаговий теплоізоляційний шамот марки ШЛ-0,4 фракції 0,8 – 1,6 мм, просочений водним розчином сульфату міді і дифеніламіном. Гарантійний термін КІЗ УГ-2 на диоксид сірки – 8 міс. з часу виготовлення.

КІЗ УГ-2 на диоксид вуглецю призначений для вимірювання концентрації оксиду вуглецю в повітрі робочої зони газоаналізатором УГ-2 у межах від 5 до 120 мг/м³. Для вловлення ацетилену, етилену, бензолу і його гомологів, метану, суміші бутану і пропану, парів води, ацетону, оксидів дихлоретану, сірководню, диоксиду сірки і водню використовують фільтруючий патрон.

У комплект поставки КІЗ УГ-2 на диоксид вуглецю входять двадцять ампул з індикаторним порошком, дві ампули з поглиначем 4, дві ампули з поглиначем 6, шість ампул з поглиначем 7 і набір засобів для виготовлення індикаторних і допоміжних трубок. Маса індикаторного порошку в ампулі 4 ± 1 г.

Індикаторний порошок складається з активного силікагелю марки КСКГ фракції 0,11 – 0,16 мм, просоченого індикаторним порошком, що містить йодат калію і сірчану кислоту. Індикаторний порошок білого кольору після взаємодії з оксидом вуглецю забарвлюється в коричневий колір (кільце).

Поглинач 4 – це активний силікагель марки КСКГ фракції 0,4 – 0,6 мм, просочений розчином, що складається з оксиду ртуті і сірчаної кислоти. Поглинач 7 – активоване вугілля КАД – фракції 0,4 – 1,6 мм. Гарантійний термін КІЗ УГ-2 на оксиди вуглецю – 18 міс. з часу виготовлення.

Для підготовки і проведення аналізу повітряного середовища газоаналізатором УГ-2, отримання правильних результатів аналізу при вимірюванні концентрацій шкідливих речовин необхідно дотримуватися вимог, зазначених у паспорті газоаналізатора універсального УГ-2. Перед початком роботи потрібно виготовити індикаторні трубки, фільтруючі патрони і перевірити герметичність повітрезабірного пристрою.

Індикаторна трубка для визначення концентрації шкідливої речовини в повітрі – це скляна трубка довжиною 90 ± 2 мм з внутрішнім діаметром 2,5 – 2,6 мм, заповнена, відповідно до інструкції, індикаторним порошком. Перед виготовленням скляні індикаторні трубки миють хромовою сумішшю, водою і сушать при 120-130 °C. Висушені трубки зберігають в ексикаторі.

В один кінець трубки вставляють стрижень 17 (див. рис. 6.2.12), в протилежний кінець вставляють тампон з вати і вставку 10, ущільнюють вату з допомогою стержня 17 до 2-3 мм. Виймають стрижень і через лійку 14 в індикаторну трубку 8 насипають до краю індикаторний порошок з ампули 4, яку відкрили перед використанням. Ампулу із залишками індикаторного порошку зразу ж закривають заглушкою 16 з гумовою трубкою довжиною 25 мм, або індикаторний порошок, що залишився в ампулі пересипають в порожню ампулу 13 і запають її. Постукуючи стернем по стінці трубки, яку тримають вертикально, ущільнюють стовпчик індикаторного порошку і вкладають другий тампон товщиною 2-3 мм. Довжину ущільненого стовпчика індикаторного порошку контролюють довжиною стрижня від кінця до нанесеної на ньому позначки. Недостатнє ущільнення індикаторного порошку призводить до збільшення довжини забарвленого стовпчика і розмитості його меж.

Правильність ущільнення індикаторного порошку в трубці контролюють довжиною ходу штоку до клапання. Якщо довжина ходу штоку до клапання менша від вказаної на штоці, то індикаторний порошок ущільнено в трубці погано і навпаки.

Індикаторні трубки герметизують ковпачками із суміші парафіну та поліетилену, занурюючи по черзі кінці трубок у розплавлену суміш на

3-7 мм, і вкладають на штатив. Індикаторні трубки виготовляють у сухому, незагазованому, добре вентильованому приміщенні. Для уникнення тривалого контакту індикаторного порошку з повітрям трубки готують партіями, не більше, ніж 10 шт. Для перезарядки відпрацьованих індикаторних трубок з допомогою стержня виймають тампон і висипають використаний індикаторний порошок. Трубки миють і сушать для повторного використання, як вказано вище.

Для виготовлення поглинальної трубки КІЗ УГ-2 на ацетон в один кінець скляної індикаторної трубки вкладають тампон з вати і ущільнюють його до 2-3 мм. За допомогою лійки насипають з ампули поглинач 9 шаром, завтовшки 9-11 мм. Шар ущільнюють до 8-10 мм, постукуючи по трубці стрижнем. Вкладають ватний тампон і ущільнюють його 2-3 мм. Трубки герметизують і зберігають в ексикаторі з хлоридом кальцію.

Для виготовлення фільтруючого патрона КІЗ УГ-2 на ацетилен у вузький кінець патрона 1 (див. рис. 6.2.12) з двома позначками 2 вкладають тампон з вати і ущільнюють його до 4-5 мм. За допомогою лійки насипають в широкий кінець патрона (при легкому і постійному постукуванні стрижнем по стінці патрона) поглинач 4 до другої позначки. Після цього у поглинач 4 вкладають тампон з вати і ущільнюють його до 4-5 мм. Обидва кінці фільтруючого патрона одразу закривають заглушками (з допомогою гумової трубки довжиною 15-20 мм) і зберігають в ексикаторі з хлоридом кальцію. Показником відпрацювання патрона за параметрами води є утворення розмитих від зволоження зерен хлориду кальцію; за сірководнем, фосфіном, сіланом, аміаком та ацетоном – появі блідого забарвлення або зміна кольору оксиду хрому (VI) до малинового.

Для виготовлення фільтруючих патронів КІЗ УГ-2 на бензин і КІЗ УГ-2 на вуглеводні нафти в вузький кінець патрона з двома позначками 2 вкладають ватний тампон і ущільнюють його до 4-5 мм. Потім насипають по другої позначці, поглинач 2 і вкладають тампон з вати, дотримуючись технології виготовлення патрона на ацетилен. Показником непридатності патрона є зміна кольору до темно-сірого.

Для виготовлення фільтруючих патронів КІЗ УГ-2 на бензол, КІЗ УГ-2 на толуол і КІЗ УГ-2 на ксилол у вузький кінець патрона 1 вкладають ватний тампон і ущільнюють його до 4-5 мм. З допомогою лійки через широкий кінець патрона (при легкому і постійному постукуванні стрижнем по стінці патрона) насипають поглинач 1. Вкладають ватний тампон і ущільнюють його до 4-5 мм. Обидва кінці фільтруючого патрона одразу закривають заглушками (з допомогою гумової трубки довжиною 15-20 мм) і зберігають в ексикаторі з хлоридом кальцію. Показником відпрацювання патрона є утворення розмитих від зволоження зерен хлориду кальцію.

Для виготовлення фільтруючих патронів КІЗ УГ-2 на оксид вугілля у вузький кінець патрона з трьома позначками 3 вкладають тампон з вати і ущільнюють його до 4-5 мм. З допомогою лійки через широкий кінець патрона (при легкому і постійному постукуванні стрижнем по стінці патрона) насипають поглинач 4 до першої позначки, поглинач 7 до третьої позначки. Після цього у поглинач 6 вкладають тампон з вати і ущільнюють його до 4-5 мм. Обидва кінці фільтруючого патрона одразу закривають заглушками (з допомогою гумової трубки довжиною 15-20 мм) і зберігають в ексикаторі з хлоридом кальцію. Показником відпрацювання патрона є парами води і ненасичених вуглеводнів є кольорові продукти реакції, забарвлюють білий порошок у сіро-жовтий або темно-жовтий колір.

Для вимірювання концентрації оксиду азоту, диоксиду азоту і суми виготовляють окиснювальну і окиснювально-поглинальну трубки.

Окиснювальна трубка призначена для окиснення оксиду азоту та диоксиду азоту при визначенні концентрації суми оксиду і диоксиду азоту. В один кінець скляної індикаторної трубки вкладають ватний тампон і ущільнюють його до 2-3 мм. За допомогою лійки насипають окиснювач шаром 17-19 мм, ущільнюють його до 15-18 мм, постукуючи по трубці стрижнем. Вкладають ватний тампон і ущільнюють його до 2-3 мм. Трубки герметизують і зберігають в ексикаторі з хлоридом кальцію.

Поглинально-окиснювальна трубка призначена для поглинання диоксиду азоту та окиснення оксиду азоту до диоксиду азоту при визначенні концентрації оксиду азоту. В один кінець скляної індикаторної трубки вкладають ватний тампон і ущільнюють його до 2-3 мм. За допомогою лійки насипають окиснювач шаром, завтовшки 17-20 мм, ущільнюють його до 15-18 мм, постукуючи по трубці стрижнем. Вкладають ватний тампон і ущільнюють його до 2-3 мм. Трубки герметизують і зберігають в ексикаторі з хлоридом кальцію.

Фільтруючий патрон КІЗ УГ-2 на диоксид сірки виготовляють так, як патрон на бензол, але використовуючи поглинач 8. Показником непридатності патрона за диоксидом азоту і сірководнем є забарвлення поглинача в темно-голубий колір шаром, завтовшки більше, ніж 5 мм.

Для виготовлення фільтруючих патронів КІЗ УГ-2 на етиловий ефір у вузький кінець патрона з трьома позначками 3 вкладають тампон із вати і ущільнюють його до 4-5 мм. З допомогою лійки через широкий кінець патрона (при легкому і постійному постукуванні стрижнем по стінці патрона) насипають поглинач 1 до першої позначки, поглинач 10 до третьої позначки, після цього до половини останньої розширеної частини патрона насипають поглинач 11 і поглинач 1 – до звуженої частини патрона. Вкладають тампон з вати і ущільнюють його до 4-5 мм. Обидва кінці фільтруючого патрона одразу закривають заглушками (з допомогою гумової трубки довжиною 15-20 мм) і зберігають в ексикаторі з хлоридом

кальцію. Показником відпрацювання патрому за парами води є утворення розмитих від зволоження зерен хлориду кальцію, за парами етанолу – поява в першу хвилину пропускання досліджуваного повітря зеленого кольору.

Перед початком аналізу повітряного середовища індикаторні трубки потрібно витримати 30 хв для досягнення температури навколошнього середовища. Для вимірювання концентрації газу (парів) відкривають кришку повітрезабірного пристрою УГ-2 і перевіряють відповідність номера штоку повітрезабірного пристрою УГ-2, відводять фіксатор, беруть із гнізда шток і вставляють його в направлячу втулку так, щоб наконечник фіксатора ковзав по канавці штока, над якою вказаний об'єм повітря. Тиском руки на головку штока стискають сильфон до доти, поки кінець фіксатора не попаде у верхнє заглиблення в канавці штока. Індикаторну трубку звільняють від герметизуючих ковпачків, виключаючи засмічення її герметизуючим матеріалом. Постукуючи стрижнем по стінках трубки, перевіряють ущільнення, і якщо при цьому між стовпчиком порошку і тампоном утворився просвіт, його забирають натисканням стрижня на тампон. Після цього трубку приєднують до гумової трубки повітрезабірного пристрою УГ-2 і розташовують в місці вимірювання.

При наявності в аналізованому повітрі парів (газів), що заважають визначенню, їх вловлюють фільтруючим патроном, який приєднують за допомогою гумової трубки до індикаторної трубки вузьким кінцем на стику. Вимірювання слід починати не пізніше, ніж через 1 хв після розгерметизації трубок. Однією рукою натискають на головку штока, другою рукою відводять фіксатор. Як тільки шток починає рухатися, фіксатор відпускають і включають секундомір. Коли фіксатор входить у нижнє заглиблення канавки штока, чути клацання, але повітря ще продовжує поступати.

При пропусканні заданого об'єму повітря тривалість ходу штока повинна вкладатися в межі, вказані на етикетці вимірювальної шкали для визначуваного газу (парів); індикаторний порошок після взаємодії з газом (парою) змінює забарвлення. Концентрацію газу (парів) знаходить, суміщуючи нижню межу стовпчика забарвленого порошку індикаторної трубки з нульовою позначкою вимірювальної шкали етикетки. Цифра на шкалі, що збігається з верхньою межею забарвленого стовпчика порошку, вказує на концентрацію газу (парів).

Якщо межі розділу забарвлених шарів початкового і прореагованого індикаторного порошку розмиті, відлік концентрації визначуваного газу (парів) за шкалою проводять по нижній і верхній частинах межі. Як результат вимірювання приймають середнє значення показів шкали.

Після закінчення роботи патрон від'єднують від індикаторної трубки, зразу закривають заглушками і вкладають на зберігання в ексикатор з хлоридом кальцію. Як кінцевий результат вимірювання приймають середнє арифметичне значення послідовних одиничних вимірювань концентрацій газу (парі) і приводять його до нормальних умов. При вимірюванні концентрації аміаку поправочний коефіцієнт знаходять за графіком.

При вимірюванні концентрації парів вуглеводнів нафти поправочний коефіцієнт K знаходить за такими даними:

Температура, $^{\circ}\text{C}$	10	15	20	30
K	1,22	1,14	1,00	0,95

Концентрацію оксиду азоту необхідно вимірювати індикаторно і поглинально-окиснювальною трубками. Поглинально-окиснювальну трубку приєднують до індикаторної трубки кінцем, який містить темно-фіолетовий порошок. Концентрацію диоксиду азоту необхідно вимірювати тільки індикаторною трубкою, а вимірювання сумарної концентрації оксиду і диоксиду азоту – індикаторною і окиснювальною трубками. Концентрацію ацетону при наявності кислих газів і парів вимірюють індикаторною і поглинальною трубками, а при їх відсутності – індикаторною.

Питання до шостого розділу

- У чому полягає суть методу хроматографії?
- Які процеси відбуваються у хроматографічних установках?
- Що можна визначити на основі другого закону Фіка?
- Що характеризує закон Рауля?
- Що називають часом утримання дози речовини у хроматографії?
- Яка роль детектора в хроматографічній установці?
- Які матеріали використовують для виготовлення хроматографічної колонки?
- Яка роль детектора в хроматографії?
- Які є типи детекторів, що використовуються у хроматографії?
- Які існують діапазони випромінювання електромагнітних коливань?
- Які є види спектрів випромінювання?
- З чого складається прилад емісійного спектрального аналізу?
- Які існують способи визначення довжин хвиль?
- У яких випадках використовують метод лінійної інтерполяції?
- Які прилади називаються полум'яними фотометрами?
- У чому полягає суть атомно-абсорбційного аналізу?
- У чому полягає закон Бугера-Ламберта-Бера?
- У чому полягає суть молекулярно-абсорбційного аналізу?
- Який характер має спектр поглинання молекул?
- Як виглядає схема молекулярно-абсорбційного аналізу?
- У чому полягає суть фотоколориметричного аналізу?
- У чому полягає суть методів турбідиметрії і нефелометрії?

Розділ 7

МЕТОДИ ПЛАНУВАННЯ ТА ОПТИМІЗАЦІЙ МОНІТОРИНГУ НАВКОЛИШНЬОГО СЕРЕДОВИЩА

7. Факторний експеримент

Основним методом, який застосовують для знаходження багатофакторних моделей, є регресійний аналіз. Перевага цього методу полягає у тому, що він не накладає ніяких обмежень на умови дослідження. Його недоліком є те, що знайдені коефіцієнти рівняння регресії з закорельованими, і це робить їх досить чутливими до умов проведення експерименту. Закорельованість коефіцієнтів також ускладнює їхній остаточну інтерпретацію. Однією з особливостей регресійного аналізу є те, що розробку моделі проводять на основі даних, отриманих під час пасивного експерименту, внаслідок чого ці дані можуть містити обмежений обсяг інформації про досліджуваний процес. У зв'язку з цим проводять пошуки нових методів вивчення складних багатофакторних систем, які б дали змогу уникнути недоліків класичного регресійного аналізу. Метод статистичного планування експерименту був започаткований у праці Бокса та Вільсона (1951).

У його основі лежить використання впорядкованого плану розміщення експериментальних точок у факторному просторі і перехід до нової системи координат. Запропонований вищезгаданими авторами метод суттєво відрізняється від традиційного підходу до проведення екологічного експерименту.

Це можна проілюструвати на такому прикладі. Припустимо, що мета дослідження полягає у вивченні процесу, параметр якого Y залежить від двох факторів – X_1 і X_2 . Треба знайти такі значення цих факторів, які забезпечили б максимальну величину параметра Y .

При застосуванні традиційного підходу (пасивний експеримент) дослідження проводять таким чином. Спочатку вибирають певне фіксоване значення фактора X_2 і проводять дослідження залежності параметра Y від фактора X_1 . На рис. 7.1 а показано залежність $Y=f(X_1)$, отриману внаслідок проведення такої серії дослідів. З цієї залежності видно, що існує певне значення фактора $X_1 = X_1^*$, яке забезпечує максимальне значення параметра Y . Якщо зафіксувати значення фактора $X_1 = \text{const}$, то експериментатор переходить до наступної серії дослідів, які полягають у вивченні впливу фактора X_2 в умовах сталості фактора X_1 і встановленні залежності $Y=f(X_2)$. Результати цієї серії дослідів показано на рис. 7.1 б.

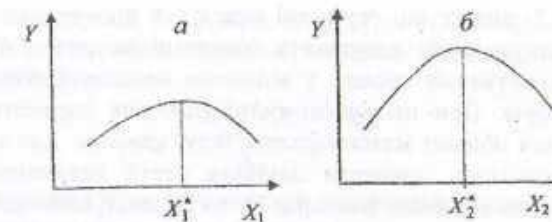


Рис. 7.1. Залежності $Y = f(X_1)$ (а) та $Y = f(X_2)$ (б)

При проведенні дослідів на перший погляд складається враження, що параметр Y набуде максимального значення за умови, що $X_1 = X_1^*$ та $X_2 = X_2^*$. Проте такий попередній висновок може бути хибним, оскільки інформація про досліджуваний процес є одержана на основі двох серій експериментів, і має частинний характер, та відноситься до обмеженої області факторного простору і охоплює відносно невелику частку із усіх можливих значень факторів X_1 та X_2 . Цей приклад наочно ілюструє обмеженість аналізу результатів в одновимірній системі проведення експерименту. Більшу кількість інформації можна отримати, якщо процес вивчати з позицій багатовимірності. Тобто якщо вплив факторів X_1 та X_2 на параметр Y вивчають в умовах одночасної зміни обох факторів і процес описують аналітичною залежністю виду $Y=f(X_1, X_2)$. Геометрично цю залежність відображають у системі координат $Y - X_1 - X_2$ у вигляді деякої сукупності точок, що можуть бути апроксимовані так званою поверхнею відклику.

Провівши дослідження функціональної залежності $Y=f(X_1, X_2)$, її можна зобразити на площині, подібно до того, як рельєф земної поверхні зображують на географічних картах у вигляді системи із контурних ліній, кожна з яких відповідає певному фіксованому значенню деякого параметра Y (рис. 7.2).

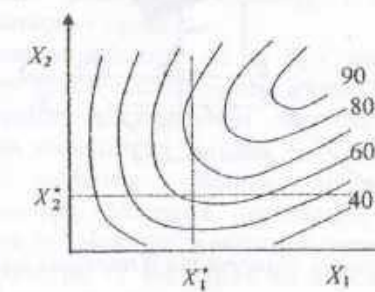


Рис. 7.2. Геометричне зображення профілю поверхні відклику (цифри біля кривих відповідають фіксованим значенням параметра Y)

З рис. 7.2. видно, що отримані внаслідок попередньо проведеннях двох серій експериментів результати (показані на рис. 7.1) адекватно описують досліджуваний процес у відносно невеликій області значень вибраних факторів. При цьому отримані значення параметра Y знаходяться далеко від області максимальних його значень. Для знаходження цієї області необхідно провести декілька серій додаткових дослідів, міняючи почергово значення факторів X_1 та X_2 поступово наближаючись до області максимальних значень параметра Y . Якщо використовувати традиційні методи проведення пасивного однофакторного експерименту, це потребуватиме проведення великої кількості дослідів, багато часу і значних матеріальних. Ефективніше ці завдання вирішують шляхом цілеспрямованого планування експерименту, коли одночасно змінюють усі досліджувані фактори і координати точок розміщують по всій поверхні відклику. Такий метод проведення експерименту називають методом факторного аналізу, або методом планування експерименту.

Суть методу факторного аналізу, або активного (планування) експерименту, полягає у тому, що для дослідження геометричної поверхні процесу (поверхні відклику) на кожному етапі дослідження необхідно вибирати таке оптимальне розміщення точок у факторному просторі, щоб отримати найповнішу інформацію про досліджуваний процес при якнайменшій кількості дослідів.

Якщо на поверхні відклику A (її описує залежність $Y = f(X_1, X_2)$) виділити центр, знайдемо проекцію окремої частини вибраної області на площину X_1X_2 (рис. 7.3).

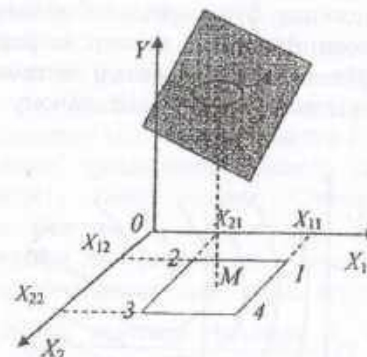


Рис. 7.3. Досліджувана область та її проекція на площину X_1X_2

Проекція досліджуваної області A на площину X_1X_2 у випадку двофакторної задачі є прямокутником з центром у точці M . Координати

кутових точок проекції: 1(X_{11}, X_{12}), 2(X_{21}, X_{12}), 3(X_{21}, X_{22}), 4(X_{11}, X_{22}). Щоб перейти до нової системи координат, опишемо значення змінних X_1 та X_2 за допомогою формули:

$$X_{ij} = \frac{2X_j - X_{1j} - X_{2j}}{X_{2j} - X_{1j}}, \quad (7.1)$$

де X_{ij} – координата будь-якої точки в початковій системі координат; x_{ij} – кодоване значення координати цієї точки.

Якщо у формулу (7.1) підставити замість X_{ij} координати точок 1, 2, 3, 4, то отримаємо координати цих точок у новій системі, початок якої знаходитьсь в центрі досліджуваної області (рис. 7.4). Координати вибраних точок у новій системі відліку будуть такими:

$$1)+1,+1; \quad 2)-1,+1; \quad 3)-1,-1; \quad 4)+1,-1.$$

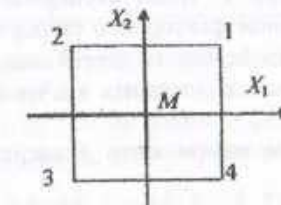


Рис. 7.4. Проекція області дослідження

Таким чином, використовуючи кодування змінних, переходимо із вихідної системи координат, в якій змінні зображені в натуральному вигляді, тобто з певними значеннями, до безрозмірних закодованих значень досліджуваних факторів. Таке використання закодованих значень має суттєві переваги у порівнянні з натуральною формою зображення значень змінних величин, оскільки робить їх рівноцінними в досліджуваній області факторного простору і дає змогу незалежно оцінити роль цих факторів у процесі.

Отримані значення факторів X_1 та X_2 є координатами точок так званого повного факторного експерименту. З рис. 7.4 видно, що фактори при такому факторному експерименті змінюються на двох рівнях відповідно до значень закодованих змінних +1 і -1. Координати точок для проведення дослідів зводяться у таблицю, яка називається матрицею планування експерименту. Матриця планування повного факторного експерименту містить усі можливі комбінації факторів на двох рівнях, а також значення параметра Y , які отримані в результаті експерименту, проведеного згідно з цим планом.

Матриця планування двофакторного експерименту ($k=2$) наведена у табл. 7.1.

Таблиця 7.1

Матриця планування повного факторного експерименту типу 2^3

№ досліду	x_0	x_1	x_2	Y
1	+1	+1	+1	y_1
2	+1	+1	-1	y_2
3	+1	-1	+1	y_3
4	+1	-1	-1	y_4

Із табличних даних видно, що матриця планування містить вектор-стовпчик фіктивної змінної $x_0 = +1$, вектори-стовпчики факторів x_1, x_2 і вектор-стовпчик параметра Y . План експерименту, поданий у вигляді табл. 7.1, називається планом факторного експерименту першого порядку. Кількість дослідів, які необхідно провести для реалізації цього плану згідно з матрицею планування, залежить від числа факторів k і стисненості $N=2^k$.

Побудований таким чином план експерименту характеризується такими властивостями:

1) містить усі можливі комбінації значень змінних відповідно до закодованих значень (+1), (-1);

$$2) \sum_{j=1}^n x_j^2 = n, j = 1, 2, \dots, k, \text{ де } n - \text{ число точок плану};$$

$$3) \sum_{i=1}^n x_i = 0;$$

$$4) \sum_{i=1}^n x_i x_{i0} = 0, j \neq 0.$$

Четверта властивість визначає умови ортогональності тому такі плани називають ортогональними планами. Ортогональні плани дають змогу позбутись недоліків класичного регресійного аналізу, зокрема закорельованості обчислених коефіцієнтів рівняння регресії, і суттєво спростити математичну процедуру обчислення коефіцієнтів рівняння регресії.

Отже, розглянуті властивості двофакторного плану та способи його побудови мають загальний характер і можуть бути поширені на багатофакторну задачу. Зокрема, у випадку трифакторного експерименту ($k = 3$) план має розмірність $N = 2^3$ і матриця повного факторного експерименту будеться на основі матриці двофакторного експерименту з додаванням стовпчика третього фактора спочатку на верхньому (+1), потім на нижньому (-1) рівнях (табл. 7.2).

Таблиця 7.2

Матриця планування повного факторного експерименту першого порядку типу 2^3

№ досліду	x_0	x_1	x_2	x_3	Y
1	+1	+1	+1	+1	y_1
2	+1	+1	-1	+1	y_2
3	+1	-1	+1	+1	y_3
4	+1	-1	-1	+1	y_4
5	+1	+1	+1	-1	y_5
6	+1	+1	-1	-1	y_6
7	+1	-1	+1	-1	y_7
8	+1	-1	-1	-1	y_8

Матриця планування трифакторного експерименту геометрично ображається у вигляді куба з центром на початку координат. Рівняння регресії, яке отримують на основі повного факторного експерименту 2^3 , видається залежністю $Y = f(x_1, x_2, x_3)$ у такому вигляді:

$$Y = b_0 x_0 + b_1 x_1 + b_2 x_2 + b_3 x_3. \quad (7.2)$$

Для оцінки коефіцієнтів цього рівняння складають систему нормальних рівнянь, що має такий вигляд:

$$\begin{aligned} b_0 \sum_n x_0^2 + b_1 \sum_n x_0 x_1 + b_2 \sum_n x_0 x_2 + b_3 \sum_n x_0 x_3 &= \sum_n x_0 Y, \\ b_0 \sum_n x_1 x_0 + b_1 \sum_n x_1^2 + b_2 \sum_n x_1 x_2 + b_3 \sum_n x_1 x_3 &= \sum_n x_1 Y, \\ b_0 \sum_n x_2 x_0 + b_1 \sum_n x_2 x_1 + b_2 \sum_n x_2^2 + b_3 \sum_n x_2 x_3 &= \sum_n x_2 Y, \\ b_0 \sum_n x_3 x_0 + b_1 \sum_n x_3 x_1 + b_2 \sum_n x_3 x_2 + b_3 \sum_n x_3^2 &= \sum_n x_3 Y. \end{aligned} \quad (7.3)$$

Використовуючи ортогональність планів повного факторного експерименту, систему нормальних рівнянь (7.3) приводять до такого спрощеного вигляду:

$$\begin{aligned} b_0 \sum_n x_0^2 &= \sum_n x_0 Y, \\ b_1 \sum_n x_1^2 &= \sum_n x_1 Y, \\ b_2 \sum_n x_2^2 &= \sum_n x_2 Y, \\ b_3 \sum_n x_3^2 &= \sum_n x_3 Y. \end{aligned} \quad (7.4)$$

Аналіз отриманої системи нормальних рівнянь вказує на те, що коефіцієнти b_0, b_1, b_2, b_3 рівняння регресії (7.2) можуть бути визначені незалежно один від одного за допомогою таких простих співвідношень:

$$b_1 = \frac{\sum x_i Y}{\sum x_i^2} = \frac{\sum x_i Y}{n}. \quad (7.9)$$

Таким чином, перетворення системи координат у факторному експерименті дає змогу отримувати ортогональні плани, в яких за допомогою простих обчислень можна визначити незакорельовані коефіцієнти регресійних моделей.

Спрощення процедури знаходження математичної моделі аналізу результатів повного факторного експерименту проводять у матричній формі. У цьому випадку матриця планування є безпосередньо матрицею вихідних експериментальних даних, яку для $n -$ факторів записують у такому вигляді:

$$\begin{aligned} X = & \begin{matrix} x_{00} x_{01} x_{02} \dots x_{0n} \\ x_{10} x_{11} x_{12} \dots x_{1n} \\ x_{20} x_{21} x_{22} \dots x_{2n} \\ \dots \\ x_{n0} x_{n1} x_{n2} \dots x_{nn} \end{matrix} \quad (7.6) \end{aligned}$$

Ортогональність планив повного факторного експерименту та незалежність оцінки коефіцієнтів рівняння регресії випливає з властивостей інформаційної матриці, яка у цьому випадку має такий вигляд:

$$(X^* X) = \begin{bmatrix} \sum x_0^2 & 0 & 0 & 0 \\ 0 & \sum x_1^2 & 0 & 0 \\ 0 & 0 & \sum x_2^2 & 0 \\ 0 & 0 & 0 & \sum x_n^2 \end{bmatrix}. \quad (7.7)$$

Як видно, інформаційна матриця $(X^* X)$ ортогонального плану містить тільки діагональні елементи. Те, що недіагональні члени інформаційної матриці, дорівнюють нулю вказує на ортогональність плану експерименту і на незакорельованість коефіцієнтів математичної моделі.

Обернена матриця у цьому випадку буде мати такий вигляд:

$$(X^* X)^{-1} = \begin{bmatrix} 1/\sum x_0^2 & 0 & 0 & 0 \\ 0 & 1/\sum x_1^2 & 0 & 0 \\ 0 & 0 & 1/\sum x_2^2 & 0 \\ 0 & 0 & 0 & 1/\sum x_n^2 \end{bmatrix}. \quad (7.8)$$

З отриманої оберненої матриці $(X^* X)^{-1}$ випливає, що для ортогонального планування характерна рівність дисперсій усіх коефіцієнтів рівняння регресії. Ці дисперсії є діагональними елементами дисперсійної матриці, яку визначають добутком матриці $(X^* X)^{-1}$ на дисперсію обчислених за рівнянням регресії значень параметра оптимізації $S^2(Y)$, тобто:

$$S^2(b_i) = \frac{S^2(Y)}{n}. \quad (7.9)$$

Розглянемо ще одну важливу властивість ортогональних планів першого порядку. Для цього дисперсію яку (відповідно до правила підсумування дисперсій) подаємо у вигляді такого співвідношення:

$$S^2(Y) = S^2(b_0) + S^2(b_1)x_1^2 + S^2(b_2)x_2^2 + \dots + S^2(b_i)x_i^2, \quad (7.10)$$

де $S^2(b_0), S^2(b_1), S^2(b_2), \dots$ – дисперсії відповідних коефіцієнтів рівняння регресії. Оскільки дисперсії коефіцієнтів, згідно з рівнянням (7.9), рівні, то їх можна звести за знак суми і записують у такому вигляді:

$$S^2(Y) = S^2(b_0)(1 + x_1^2 + x_2^2 + \dots + x_i^2). \quad (7.11)$$

Цей вираз містить у дужках рівняння сфері в $(k+1)$ -мірному просторі $\sum x_i^2 = r^2$ (r – радіус сфері, k – кількість досліджуваних факторів), що вказує, що дисперсія обчисленого за рівнянням регресії значення параметра оптимізації залежить тільки від радіуса сфері і має однакове значення на однакових відстанях від центра. Така властивість є важливою характеристикою планів і має назву ротатабельності.

Отже, статистичне планування експерименту на основі планів першого порядку дає змогу усунути недоліки класичного регресійного аналізу. А також отримати лінійну модель дослідженого процесу з незалежними коефіцієнтами і значно скоротити обсяг обчислень та підвищити ефективність експериментального дослідження. Практичне застосування повного факторного експерименту описане в наступних розділах.

§ 7.1. Моделі другого порядку

Складні за своєю структурою та механізмом екологічно-технологічні процеси не завжди можна описати лінійними моделями. Через це вдаються до статистичних моделей другого порядку. Відомим є те, що рівняння другого порядку не можна отримати з експериментальних даних з фіксованими змінними на двох рівнях. Але проведення експерименту зі зміною факторів не менш, як на трьох рівнях, потребує проведення великої кількості дослідів, що призводить до певних експериментальних труднощів у реалізації планів другого порядку. При побудові таких планів виявилось неможливим сумістити позитивні сторони в одному плані, важко сумістити ортогональність планів і їхньою ротатабельністю.

Для скорочення обсягу експериментальних досліджень був запропонований план, число точок якого задається таким співвідношенням

$$N = n + 2^k + n_0,$$

де n – число точок повного факторного експерименту; n_0 – число точок у центрі плану; 2^k – число точок на осіх координат.

Ці плани належать до композиційних планів, оскільки їх можна отримати внаслідок добудови планів першого порядку. Розміщення точок у факторному просторі для планів другого порядку у випадку двох і трьох змінних показано на рис. 7.1.5. Точки на координатних осіх називаються зоряними точками, а відстань від центра плану до зоряної точки – зоряним плечем a .

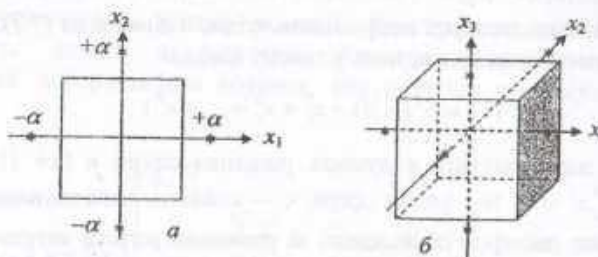


Рис. 7.1.5. Розміщення точок у планах другого порядку
a) $k = 2$; б) $k = 3$

З допомогою інформаційної матриці підбирають такі значення зоряного плеча a , для яких отриманий план буде ортогональним. При цьому можна скористатись такою заміною квадратичних членів рівняння другого порядку:

$$x_i^2 = x_i^2 - \bar{x}^2, \quad (7.1.12)$$

де \bar{x} – середнє значення квадратичних членів.

Розподіл зоряних точок на осіх не порушує ортогональності плану для високих x_i і x_j , однак простежується кореляція між коефіцієнтами b_0 і b_{ij} унаслідок очевидних співвідношень $\sum_i x_0 x_i^2 \neq 0$, $\sum_i x_i^2 x_j^2 \neq 0$.

Процес обчислення коефіцієнтів регресійних моделей другого порядку і перевірка їхньої значимості та адекватності рівнянь є таким самим, як і для моделей першого порядку. При зміні факторів на двох рівнях можна отримати рівняння першого і неповного вищого порядку. Поліном неповного вищого порядку, крім лінійних членів, містить члени вищих порядків, які характеризують ефекти взаємодії. Ефекти взаємодії характеризують взаємозв'язок факторів, тобто вплив i -того фактора на зв'язок j -того фактора з параметром Y . Так, рівняння регресії для двофакторного експерименту з врахуванням ефекту взаємодії матиме такий вигляд:

$$Y = b_0 x_0 + b_1 x_1 + b_2 x_2 + b_{12} x_1 x_2, \quad (7.1.13)$$

а у випадку трьох змінних –

$$Y = b_0 x_0 + b_1 x_1 + b_2 x_2 + b_3 x_3 + b_{12} x_1 x_2 + \\ b_{13} x_1 x_3 + b_{23} x_2 x_3 + b_{123} x_1 x_2 x_3. \quad (7.1.14)$$

Одним із недоліків ортогональних планів другого порядку є відсутність ротатабельності, яка забезпечує оптимальний вибір плану. У ротатабельних планах інформаційна матриця інваріантна до ортогонального обертання системи координат. Цю характеристику можна забезпечити, підбираючи відповідне зоряне плече на основі певних співвідношень елементів інформаційної матриці.

На практиці часто виникає необхідність у застосуванні ефективного плану другого порядку, що містив би мінімальну кількість дослідів. Вибір його здійснюється за допомогою різних критеріїв, до яких найчастіше відносять такі статистичні характеристики: об'єм еліпсоїда розсіювання оцінок параметра, максимальна величина дисперсії передбачених значень регресійної функції у заданій області, значення суми дисперсій оцінок параметрів та ін.

Якщо у ході планування експерименту об'єм еліпсоїда розсіювання буде мінімізуватися на множині планів у заданій області, то план буде належати до D-оптимальних.

Об'єм еліпсоїда розсіювання безпосередньо пов'язаний з визначником інформаційної матриці, оскільки D-оптимальним планам відповідає максимальний визначник цієї матриці.

Є відповідні каталоги, які містять цілу низку планів другого та вищих порядків. Для них обчислено комплекс статистичних характеристик (визначники інформаційної матриці, дисперсії оцінок

параметрів моделей у різних точках та ін.). Практичного застосування набули так звані В-плани, які, крім точок повного факторного експерименту, містять зоряні точки з величиною плеча $a = \pm 1$.

Згідно з умовою $N=2^k$, збільшення кількості досліджуваних факторів призводить до збільшення кількості дослідів. Враховуючи, що проведення дослідів часто спрямоване на оцінку в основному лінійних коефіцієнтів регресійних моделей (часто відомо заздалегідь, що процес описується лінійним рівнянням, тобто ефекти взаємодії відсутні), а число таких коефіцієнтів для k - змінних є $(k+1)$, то зі зростанням значення k значно збільшується число ступенів вільності $f = 2^k - k + 1$, що дає можливість знаходити значно більшу кількість коефіцієнтів або зменшити кількість дослідів. Зменшити обсяг експериментальних досліджень можна методом дробових реплік повного факторного експерименту. Суть цього полягає у тому, що для встановлення рівняння регресії використовують лише певну частину плану повного факторного експерименту, так звану дробову репліку, що дає змогу суттєво зменшити число експериментів.

Таблиця 7.1.3

Повний факторний експеримент 2^3

№ досліду	x_0	x_1	x_2	x_3	x_1x_2	x_1x_3	x_2x_3	$x_1x_2x_3$
1	+1	+1	+1	+1	+1	+1	+1	+1
2	+1	+1	-1	+1	-1	+1	-1	-1
3	+1	-1	+1	+1	-1	-1	+1	-1
4	+1	-1	-1	+1	+1	-1	-1	+1
5	+1	+1	+1	-1	+1	-1	-1	-1
6	+1	+1	-1	-1	-1	-1	-1	-1
7	+1	-1	+1	-1	-1	+1	+1	-1
8	+1	-1	-1	-1	+1	+1	+1	-1

На практиці це можна застосувати таким чином. Нехай треба знайти коефіцієнти рівняння регресії для $k=4$ за умови, що ефекти взаємодії дорівнюють нулю:

$$Y = b_0 x_0 + b_1 x_1 + b_2 x_2 + b_3 x_3 + b_4 x_4 \quad (7.1.15)$$

План повного факторного експерименту у цьому випадку побудований на основі результатів шістнадцяти дослідів ($N= 2^4$). Ортогональний план для чотирьох факторів, який містив би меншу кількість точок, можна побудувати на основі плану повного факторного експерименту для трьох факторів (табл.7.1.3).

Припустивши, що ефектами взаємодії можна нехтувати, використаємо будь-який із стовпчиків, що характеризує ефекти взаємодії. Прийнявши, наприклад, умову, що $x_4 = x_1x_2x_3$, отримаємо план, наведений в табл. 7.1.4.

Таблиця 7.1.4.

Дробовий факторний експеримент типу 2^{4-1}

№ досліду	x_0	x_1	x_2	x_3	$x_1x_2x_3$	Y
1	+1	+1	+1	+1	+1	Y_1
2	+1	+1	+1	-1	-1	Y_2
3	+1	+1	-1	+1	+1	Y_3
4	+1	+1	-1	-1	-1	Y_4
5	+1	+1	+1	+1	-1	Y_5
6	+1	+1	+1	-1	-1	Y_6
7	+1	+1	-1	+1	-1	Y_7
8	+1	+1	-1	-1	-1	Y_8

Такий план містить лише половину точок плану повного факторного експерименту і має назву піврепліки плану повного факторного експерименту для чотирьох факторів. Розмірність дробової репліки записують 2^{k-1} , де k - число факторів у плані повного факторного експерименту, до якого прирівнюється дробова репліка.

Оскільки в плані 2^{4-1} (табл.7.1.4) стовпці x_4 та $x_1x_2x_3$ збігаються, коефіцієнти b_{123} та b_4 (при відповідних членах рівняння регресії) не можуть бути визначені кожен окремо, а тільки у сумі. Тому при використанні дробових реплік необхідно попередньо з'ясувати, яким із ефектів взаємодії ми нехтуємо в кожному окремому випадку. Відповідно до попередньо прийнятої умови, запишемо:

$$x_4=x_1x_2x_3 \quad (7.1.16)$$

Таке співвідношення називається генеруючим співвідношенням, бо воно створює дробову репліку. Перемножуючи праву і ліву частини цього співвідношення на x_4 , одержуємо добуток, який називають визначальним контрастом I:

$$x_4^2=x_1x_2x_3x_4 \quad (7.1.17)$$

$$I=x_1x_2x_3 \quad (7.1.18)$$

Цей добуток дає змогу встановити, які з коефіцієнтів рівняння регресії є незмішаними оцінками факторів у процесі. Метод кругового сходження знайшов широке застосування для оптимізації екологотехнологічних досліджень, для математичного опису процесів в області

факторного простору, коли значення факторів міняються у вузькому інтервалі.

§ 7.2. Оптимізація моніторингу довкілля

Дослідження моніторингу довкілля спрямоване на вибір умов практичної реалізації та ефективного функціонування у умовах антропогенного навантаження. Людина свою діяльність завжди намагається організувати так, щоб наслідки були найефективнішими. Доволі часто основну роль у виборі оптимального варіанту чи умов розвитку біосфери відігравав досвід та інтуїція спеціаліста-еколога. Але вирішення цього складного завдання не завжди було вдалим, оскільки екологічні процеси дуже складні, що зумовлено впливом як численних зовнішніх факторів, так і внутрішніх взаємозв'язків.

З розвитком кібернетики і програмування разом з широким застосуванням обчислювальної техніки та методів математичної статистики відбуваються справді революційні зміни в методах дослідження, оптимізації та керування процесами промислової екології. Ці процеси забезпечують впровадження у виробництво нових технологій, які дозволяють проводити ефективний моніторинг навколошнього середовища.

§ 7.3. Градієнтні методи оптимізації моніторингу довкілля

До числових методів пошукового типу належать градієнтні методи. Ці методи добре опрацьовані з погляду математичного та технічного забезпечення і мають широке практичне застосування, оскільки універсальні й ефективні в багатьох випадках знаходження екстремальних значень різного виду функцій (як з обмеженнями, так і без них) а також і у тому випадку, коли аналітичний вираз функції є невідомий.

Іх суть полягає у встановленні незалежних змінних, які забезпечують найбільшу зміну цільової функції. Це можна досягти шляхом аналізу геометричної поверхні або поверхні відклику, яка відображає досліджувану функціональну залежність. Знаходження екстремальних точок проводять під час руху вздовж градієнта, ортогонального до контурної поверхні в даній точці.

Якщо поверхня відклику описується рівнянням

$$F = F(x_1, x_2, \dots, x_n),$$

то її градієнт у точці (x_1, x_2, \dots, x_n) виражається вектором (7.1.19)

$$\text{grad}F = \left(\frac{\partial F}{\partial x_1}, \frac{\partial F}{\partial x_2}, \dots, \frac{\partial F}{\partial x_n} \right) \quad (7.1.19)$$

Градієнтні методи відрізняються за такими характеристиками: способами визначення напряму руху по поверхні до оптимуму, розміром кроку, тривалістю пошуку в знайденому напрямі та критеріями зупинки оптимізаційного процесу. Оптимізація базується на обчисленнях, які дають можливість знайти напрям найшвидшої зміни дієвого функціоналу.

Особливе значення при використанні градієнтних методів має визначення напряму градієнтового вектора та встановлення розміру кроку руху по градієнту. Якщо крок дуже малий, необхідно багато часу для проведення обчислень. А якщо розмір кроку занадто великий, то можна випадково відійти від оптимуму. Напрям руху та розмір Δx_i кроку визначають відповідно до розміру кроку та константи, яка визначає розмір кроку:

$$\Delta x_i = \frac{K \frac{\partial F}{\partial x_i}}{\sqrt{\sum_{i=1}^n \left(\frac{\partial F}{\partial x_i} \right)^2}}, \quad (7.1.20)$$

де K — константа, яка визначає розмір кроку.

Напрям градієнта для лінійних функцій не залежить від положення точки на поверхні, якщо функція, яка описує поверхню, має такий вигляд:

$$F = c_1 x_1 + c_2 x_2 + c_3 x_3,$$

$$\frac{\partial F}{\partial x_1} = c_1, \frac{\partial F}{\partial x_2} = c_2, \frac{\partial F}{\partial x_3} = c_3,$$

тоді компонента градієнта в i -тому напрямі дорівнює:

$$\Delta x_i = \frac{c_i}{\sqrt{c_1^2 + c_2^2 + c_3^2}}. \quad (7.2.21)$$

Отже, якщо функція нелінійна, напрям градієнта залежить від положення точки на поверхні.

Хоч існують певні відмінності між градієнтними методами, стратегія пошуку оптимуму в більшості випадків є однаковою і зводиться до такої послідовності:

- 1) вибір базисної точки;
- 2) визначення напряму руху від базисної точки;
- 3) визначення розміру кроку;
- 4) знаходження наступної точки пошуку;

5) порівняння значення цільової функції в даній точці із значенням у попередній точці і вибір напряму наступного кроку – і так до досягнення оптимального значення.

Дослідження поверхні відклику та знаходження екстремальних точок є кінцевим завданням оптимізації. Оптимізацію, зазвичай, здійснюють на основі математичної моделі процесу. Якщо немає математичної моделі, пошук оптимальних значень параметрів проводять шляхом безпосереднього вивчення процесу. На практиці застосовуються такі методи: метод сіток, метод випадкового балансу та симплекс-метод. У методі сіток найчастіше використовують метод Гаусса-Зейделя і метод крутого сходження по поверхні відклику.

Метод сіток – це метод, який широко застосовують в експериментальних дослідженнях. Він базується на виборі області дослідження на основі априорної інформації, літературних даних або на результатах попередньо проведених дослідів.

В однофакторному експерименті (оптимізація змінюється лише від одного фактора) область дослідження є відрізок прямої, який ділить на однакові інтервали. В отриманих точках проводять досліди, а на основі отриманих значень параметра оптимізації аналітично або графічно методом знаходить значення екстремальних точок.

У двофакторному експерименті (параметр оптимізації залежить від двох факторів) досліджуваною областю є плошина, на яку накладают координатну сітку, у вузлах якої роблять досліди. Вибір масштабу сітки залежить від умов проведення дослідів та їхнього матеріального забезпечення. Пошук екстремальних значень параметра оптимізації проводять методом порівняння або графічно шляхом аналізу отриманих поверхні. Метод широко використовують на практиці при проведенні технологічних досліджень.

Метод випадкового балансу базується на проведенні експерименту згідно з планом, координати точок якого вибирають випадково. У випадку кількість точок повинна перевищувати кількість факторів інтервал їхньої зміни повинен бути максимальним. Розглянемо на практиці один із можливих варіантів реалізації такого плану.

Припустимо, що при попередньому дослідженні відшукали фактори на параметр оптимізації Y отримана гістограма (див. рис. 7.1.6). Фактори, відповідно до їх рангів, поділяють на дві групи. До першої належать фактори, які мають відносно невелику суму рангів (у випадку це фактори $x_1 - x_5$). Для цих факторів план експерименту складається на основі піврепліки 2^{5-1} (16 точок) від повного п'ятифакторного експерименту (табл. 7.1.5).

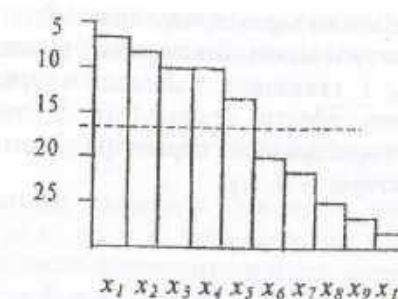


Рис.7.1.6. Гістограма результатів рангування факторів

До другої групи належать ті фактори, для яких координати вибирають випадково – за допомогою таблиць випадкових чисел або генератора випадкових чисел.

Зображення матриці випадкового балансу також має певні переваги. Якщо опрацювання результатів досліджень покаже, що фактори, які суттєво впливають на процес, належать до першої групи, то одразу можна отримати лінійну модель процесу. А якщо значущим виявиться фактор другої групи, то він може бути перенесений у першу частину таблиці. Це дає змогу отримати рівняння регресії, оцінити лінійні ефекти, а також ефекти парної взаємодії, незважаючи на те, що число ступенів вільності не є додатним.

При опрацюванні результатів досліджень, найперше складають діаграму розсіювання (рис.7.1.7) На осі абсцис відкладають відповідні значення рівнів факторів, які наведені в таблиці, а на осі ординат – параметр оптимізації.

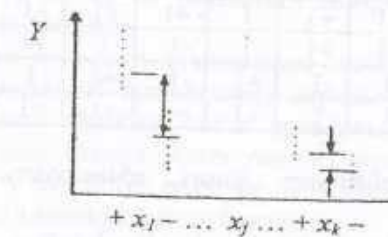


Рис.7.1.7. Діаграма розсіювання

Наступним кроком є нанесення експериментальних точок на діаграму. Для цього для кожного рівня досліджуваних факторів знаходять плану – значення фактора λ , яке з обох сторін має однакову кількість точок.

Різниця між медіанами характеризує значимість окремих факторів. Вибирають три фактори, які мають максимальну різницю між медіанами наприклад x_2 , x_3 , x_6 , і складають таблицю з трьома входами для обчислення відповідних ефектів (табл. 7.1.6). У таблицю записують отримані експериментально значення параметра оптимізації Y відповідно до рівнів вибраних факторів x_2 , x_3 , x_6 .

Таблиця 7.1.5

План експерименту, побудований згідно з методом випадкового балансу

№ досліду	Перша частина					Друга частина					Y
	x_1	x_2	x_3	x_4	x_5	x_6	x_7	x_8	x_9	x_{10}	
1	-1	-1	-1	-1	-1	-1	-1	+1	-1	+1	Y_1
2	+1	+1	-1	-1	-1	+1	+1	-1	-1	-1	Y_2
3	+1	-1	+1	+1	+1	+1	-1	-1	+1	-1	Y_3
4	-1	+1	+1	+1	+1	-1	-1	-1	-1	-1	Y_4
5	+1	-1	+1	-1	-1	+1	-1	+1	-1	-1	Y_5
6	-1	+1	+1	-1	-1	+1	+1	-1	+1	+1	Y_6
7	-1	-1	-1	+1	+1	+1	-1	-1	-1	+1	Y_7
8	+1	+1	-1	+1	+1	+1	-1	+1	+1	+1	Y_8
9	+1	-1	-1	-1	+1	-1	+1	-1	+1	-1	Y_9
10	-1	+1	-1	-1	+1	-1	+1	+1	-1	-1	Y_{10}
11	-1	-1	+1	+1	-1	-1	+1	+1	+1	+1	Y_{11}
12	+1	+1	+1	-1	-1	-1	-1	+1	+1	+1	Y_{12}
13	+1	-1	+1	+1	-1	+1	+1	+1	-1	+1	Y_{13}
14	-1	+1	+1	+1	-1	-1	-1	+1	+1	-1	Y_{14}
15	-1	-1	-1	-1	+1	-1	+1	-1	-1	+1	Y_{15}
16	+1	+1	-1	-1	+1	+1	+1	+1	+1	-1	Y_{16}

На основі табличних даних обчислюють ефекти впливу відповідних факторів:

$$a_2 = \frac{Y_1 + Y_2 + Y_3 + Y_4}{4} = \frac{Y_5 + Y_6 + Y_7 + Y_8}{4},$$

$$a_3 = \frac{Y_1 + Y_3 + Y_5 + Y_7}{4} = \frac{Y_2 + Y_4 + Y_6 + Y_8}{4}. \quad (7.1.22)$$

де Y_i — середні арифметичні значення параметра оптимізації. Оцінку значимості знайдених ефектів проводять з допомогою t -критерію, який обчислюють за формулою:

$$t_i = \frac{a_i}{S_i}, \quad S_i = S_0(Y_i) \sqrt{\sum_{j=1}^n \frac{1}{n_j}} \quad (7.1.23)$$

де $S_0^2(Y_i)$ — залишкова дисперсія (дисперсія адекватності) з числом ступенів вільності $f = n - m$; m — число середніх арифметичних значень Y у таблиці (7.1.6); n — число експериментальних значень Y у табл. (7.1.6) (у нашому випадку $n = 8, m = 4$).

Таблиця 7.1.6.

Значення параметра Y для оцінки ефектів факторів

Рівні факторів	$x_2(+1)$		$x_2(-1)$	
	$x_3(+1) x_3(-1)$	$x_3(+1) x_3(-1)$	$x_3(+1) x_3(-1)$	$x_3(+1) x_3(-1)$
$x_6(+1)$	Y_6	Y_2	Y_3	Y_7
	Y_{16}	Y_8	Y_5	Y_{13}
	Y_1	Y_2	Y_3	Y_4
Рівні факторів	$x_2(+1)$		$x_2(-1)$	
	$x_3(+1) x_3(-1)$	$x_3(+1) x_3(-1)$	$x_3(+1) x_3(-1)$	$x_3(+1) x_3(-1)$
	Y_4	Y_{10}	Y_{11}	Y_1
$x_6(-1)$	Y_5	Y_6	Y_7	Y_8

Дисперсію адекватності знаходить за відхиленням значень Y_i відносно середнього арифметичного в кожній колонці табл. (7.1.6). Обчисливши ефекти a_2 , a_3 , a_6 , результати вимірювань коректують для встановлення інших факторів.

Коректування проводять відніманням значень a_i від усіх значень параметра оптимізації, які відповідають верхньому рівню (+1) даного параметра. Подальшу обробку даних проводять, починаючи знову з побудови діаграм розсіювання, проте уже без перших трьох факторів, а далі — без шести і так доти, поки не буде перевірено за t -критерієм значимість кожного з досліджуваних факторів.

У випадку використання метода симплексів експериментальні дослідження проводять у вершинах правильного симплексу. Симплексом називають множину ($k+1$) незалежних точок, які утворюють випуклу фігуру у k -мірному просторі. Для $k = 2$ правильним симплексом є трикутник, для $k = 3$ — тетраедр і т.д. Правильний симплекс забезпечує умови ротатабельного планування першого порядку.

Суть даного методу полягає у тому, що, використавши попередні результати досліджень, вибирають фактори x_1, x_2, \dots, x_n , які найбільше впливають на параметр, оптимізації Y і які піддають подальшому дослідження. Для цього в заданій області фазового простору вибирають основний рівень та інтервали зміни цих факторів і переходят до закодованих значень змінних. Визначають координати ($k+1$) точок, які на фазовій поверхні утворюють правильний симплекс. У цих точках проводять досліди, знаходячи значення досліджуваного параметра оптимізації Y_1, Y_2, \dots, Y_{k+1} . Серед вимірюваних величин Y вибирають мінімальне значення Y . Точку симплексу x_{ij} для якої отримано мінімальне значення параметра Y , відкидають і знаходять її дзеркальне відображення x'_j (перший індекс відповідає номеру вершини симплекса, а другий – його координаті).

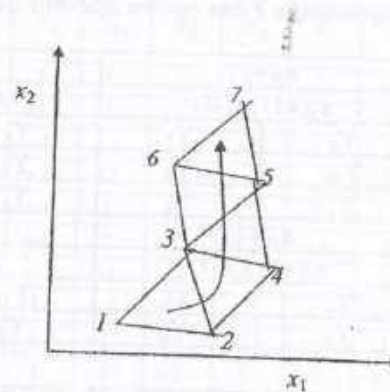


Рис. 7.1.8. Пошук оптимальної області методом симплексів

Координати нової вершини визначають за рівнянням:

$$x_j^* = 2(x_{1j} + x_{2j} + \dots + x_{(j-1)j} + \dots + x_{(k+1)j}) - x_{jj}. \quad (7.1.24)$$

Враховуючи ці нові точки x_{ij}^* , отримують новий симплекс, який включає дві точки попереднього симплексу і нову точку. Після проведення досліду у новій точці порівнюють значення параметрів оптимізації нового симплексу. Відхиливши точку, для якої значення параметра Y є мінімальним, аналогічно знаходять координати точки нового симплексу. У такий спосіб здійснюється рух по поверхні відклику у напрямі оптимальної точки (рис. 7.1.8).

Припустимо, що під час обчислення вихідного симплексу, побудованого на точках 1-2-3, мінімальне значення параметра оптимізації Y знайдено для точки 1. Нехтуючи цією точкою, будуємо новий симплекс,

який включає точки 2 та 3 попереднього симплексу та точку 4 – дзеркальне відображення точки 1. Оскільки при проведенні дослідів у точках нового симплексу мінімальне значення параметра Y отримано для точки 2, то новий симплекс включає відповідно точки 3, 4 та нову точку 5. Здійснення руху по поверхні відклику проводять до того часу, поки поліпшується параметр Y або симплекс починає обертатись навколо найбільшого значення цього параметра. Це свідчить про вихід поверхні в екстремальну область. Для симплекс-плану вихідна матриця має вигляд:

$$\left[\begin{array}{cccccc} x_1 & x_2 & \dots & x_j & \dots & x_{k-1} & x_k \\ -x_1 & x_2 & \dots & x_j & \dots & x_{k-1} & x_k \\ 0 & -2x_2 & \dots & x_j & \dots & x_{k-1} & x_k \\ \vdots & \vdots & \ddots & \vdots & \ddots & \vdots & \vdots \\ 0 & 0 & \dots & f_{kj} & \dots & x_{k-1} & x_k \\ \vdots & \vdots & \ddots & \vdots & \ddots & \vdots & \vdots \\ 0 & 0 & \dots & 0 & \dots & -(k-1)x_{k-1} & x_k \\ 0 & 0 & \dots & 0 & \dots & 0 & -kx_k \end{array} \right], \quad (7.1.25)$$

де $x_j = \frac{1}{[2j(j+1)]}$; j – порядковий номер змінної.

У цій матриці виконується умова $\sum x_i x_j = 0$, $\sum x_i = 0$, але не виконується умова $\sum x_i^2 = m$. Це означає, що симплексний план є рототабельним. Матриця планування у випадку чотирьох змінних наведена у табл. 7.1.7.

Таблиця 7.1.7.

Матриця симплексного планування для чотирьох факторів

№ досліду	x	x_2	x_3	x_4
1	0,5	0,289	0,204	0,158
2	-0,5	0,289	0,204	0,158
3	0	-0,578	0,204	0,158
4	0	0	-0,612	0,158

Провівши досліди за наведеним планом, розраховують мінімальні значення параметра Y і починають рух по поверхні відклику для пошуку оптимальної області. Цей метод оптимізації може бути використаний без

попереднього знаходження математичної моделі і є досить ефективним у дослідженнях. Застосовуючи його в процесі дослідження, можна застосувати додатково нові фактори і для опрацювання результатів експерименту використовувати метод регресійного аналізу з метою математичного опису досліджуваного процесу.

Метод Гаусса-Зейделя – метод локального пошуку оптимуму, який має особливо важливе практичне значення. За цим методом використовується точка M з координатами (x_1, x_2, \dots, x_n) , яка переміщається по фазовій поверхні, поступово наближаючись до оптимальної області. В даному методі, проводять одномірний експеримент, у ході якого досліджують вплив на параметр оптимізації лише одного фактора (значення інших факторів залишаються сталими). Переміщаючись по поверхні відклику паралельно, наприклад, до осі x_1 факторного простору, знаходить точку M_1 , для якої значення Y_1 параметра оптимізації є найкращим для заданого перерізу поверхні відклику (рис. 7.1.9). Отримане значення першого фактора фіксують і приступають до вивчення другого фактора, рухаючись паралельно до осі x_2 до точки M_2 , яка відповідає оптимальному значенню параметра оптимізації Y_2 для другого перерізу поверхні. По черзі змінюючи напрям руху, проходять точки M_3 , M_4 і т.д., досягаючи у кінцевому результаті області оптимуму. Перший цикл оптимізації – послідовне опрацювання у такий спосіб усіх досліджуваних факторів. Далі дослідження полягає у повторному уточненні оптимального значення першого фактора (при знайдених у першому циклі оптимальних значень усіх інших досліджуваних факторів) і уточнення значень другого, третього та інших факторів. Поки не досягають оптимуму поверхні відклику здійснюють Переїзд до наступних циклів і процедуру оптимізації здійснюють доти, поки не досягнуть оптимуму поверхні відклику.

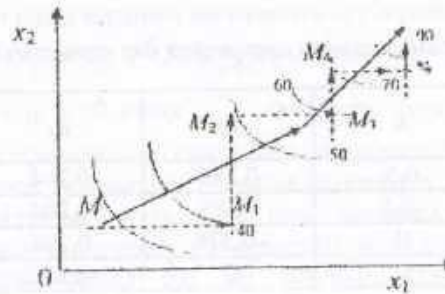


Рис. 7.1.9. Порівняння методу Гаусса-Зейделя (пунктирна лінія) з методом кругового сходження (суцільна лінія). Цифрами 40-90 позначені відповідні рівні перерізів поверхні відклику

Недоліком методу Гаусса-Зейделя є те, що дослідження часто припиняють після першого циклу, а їх треба проводити велику кількість.

Дослідниками Боксом і Вільсоном був запропонований метод, який називається методом кругового сходження, або методом найшвидшого спуску по поверхні відклику у напрямі градієнта. Це рух у факторному просторі у напрямі градієнта, коли переміщення від точки до точки супроводжується одночасною зміною значень усіх факторів. Відомо з векторного аналізу, що рух по поверхні у напрямі градієнта є рухом по найкоротшому і найкрутішому шляху. Протилежний напрям руху – це напрям найшвидшого спуску.

Суть даного методу полягає у проведенні експерименту на основі плану факторного експерименту, чи дробової репліки на невеликій ділянці поверхні відклику, яку можна розглядати як площину. Використовуючи отримані результати, знаходить адекватне лінійне рівняння регресії як рівняння цієї площини, а з цього розраховують складові градієнта функції і визначають напрям, у якому треба рухатися до точки оптимуму на поверхні.

Градієнт функції $F=f(x_1, x_2, \dots, x_k)$ виражається залежністю

$$\Delta F = \frac{\partial \varphi}{\partial x_1} i + \frac{\partial \varphi}{\partial x_2} j + \dots + \frac{\partial \varphi}{\partial x_k} k, \quad (7.1.26)$$

де i, j, \dots, k – одиничні вектори.

Якщо локальна поверхня відклику описується лінійною залежністю виду:

$$Y = b_2 x_2 + \dots + b_0 + b_1 x_1 + b_k x_k \quad (7.1.27)$$

$$\frac{\partial Y}{\partial x_1} = b_1; \quad \frac{\partial Y}{\partial x_2} = b_2; \quad \frac{\partial Y}{\partial x_k} = b_k; \quad (7.1.28)$$

Вважаючи, що одиничні вектори дорівнюють інтервалу зміни відповідного фактора Δx_i , і підставивши одержані значення частинних похідних у вираз для градієнта одержують рівняння:

$$\Delta Y = b_1 \Delta x_1 + b_2 \Delta x_2 + \dots + b_k \Delta x_k \quad (7.1.29)$$

Тому рух по поверхні відклику методом кругового сходження треба здійснювати пропорційно до коефіцієнтів регресії з урахуванням їхнього знаку та інтервалу зміни відповідних факторів Δx_i .

А величина кроку повинна бути тим більша, чим більша абсолютна величина градієнта. Використавши результати попереднього експерименту і одержаного рівняння регресії складають план експерименту за методом кругового сходження. Важливе значення у методі кругового сходження має правильний вибір кроку зміни відповідних факторів. Первінне значення кроку, дорівнює добутку коефіцієнта регресії на інтервал зміни. Деколи з певних причин можна змінити

величину кроку, наприклад, якщо він виявився занадто великим для однієї із змінних. Розраховані величини кроку додають до основних рівня змінних і таким чином знаходять координати точок у процесі руху по поверхні відклику. Для оцінки параметра оптимізації у вибраних точках ставлять досліди. Але в окремих точках можливий уявний дослід, який полягає у визначенні параметра Y шляхом обчислення його за регресійним рівнянням. Поки спостерігається поліпшення параметра оптимізації здійснюється послідовний рух по поверхні відклику. У випадку коли одержане екстремальне значення параметра оптимізації подальший рух по поверхні приводить до його погіршення, то на цьому завершують дослідження або переходять до більш грунтовного аналізу області оптимуму чи її опису поліномами вищих порядків.

Коли лінійні ефекти малі, а ефекти взаємодії є суттєвими, що вказує на значну крутизну поверхні, лінійне рівняння стає неадекватним. Один з методів більш грунтовного дослідження цієї поверхні може бути постановка експерименту згідно з вибраною новою решіткою і скоректованими інтервалами зміни факторів та наступним застосуванням методу крутого сходження. В даному дослідженні після досягнення оптимальної області, якщо дробова решітка використана поблизу останньої точки крутого сходження, то її можна добудувати до плану другого порядку. А потім знаходить математичну модель процесу яка описує оптимальну область, і за її допомогою знаходить екстремальні точки аналітичними чи числовими методами.

На рис. 7.1.9 наведене порівняння методу крутого сходження з методом Гаусса-Зейделя. Як видно з цього, у випадку використання методу крутого сходження шлях, проходження для досягнення області оптимуму, суттєво скорочується, однак метод крутого сходження має такі недоліки: рух по градієнту тривається на екстраполяції частинних похідних цільової функції по відповідних змінних, і оскільки форма поверхні відклику може змінюватись, тому необхідно відповідно змінювати напрям руху, що потребує проведення додаткових досліджень; метод крутого сходження можна використовувати лише для пошуку локального оптимуму.

§ 7.4. Практичне застосування методу планування і оптимізації експерименту

Процес переробки і утилізації фосфогіпсу є надзвичайно актуальну задачею багатотоннажних виробництв мінеральних добрив, на яких утворюються ці відходи. Проблема вимагає постановки великої кількості дослідів на напівпромислових і промислових установках, що в реальних умовах, вимагає величезних капітальних, енергетичних і

часових затрат. Тому, авторами був використаний і реалізований так званий метод статистичного планування експерименту. В основі цього методу лежить використання впорядкованого плану розміщення експериментальних точок у факторному просторі і перехід до нової системи координат.

Далі задача зводилась до пошуку оптимальних умов, при яких можливо отримати максимальне прискорення процесу переробки фосфогіпсу. Для цього було проведено центральне композиційне ротатабельне уніформ-планування другого порядку постановки експериментів і оцінки результатів дослідів.

Таблиця 7.1.8.

Інтервали зміни і кодовані значення незалежних змінних

	$X_1 \cdot 10^3, \text{м}$	$X_2 \cdot 10^3, \text{м}$	$X_3, \text{К}$	Код
Основний рівень	6,5	8	303	0
Інтервал зміни	0,892	3,57	278,97	-
Верхній рівень	6,892	11,57	308,87	+1
Нижній рівень	5,108	4,43	297,03	-1
Верхній рівень зіркових точок	8,0	14,0	313	+1,682
Нижній рівень зіркових точок	5,0	2,0	293	-1,682

Розмір частинок знаходився в межах $(2...14) \cdot 10^{-3} \text{ м}$, температура робочої рідини в діапазоні 293-313 К.

В якості незалежних змінних були вибрані наступні основні параметри, які впливають на величину коефіцієнта масовіддачі в указаних умовах: амплітуда пульсацій рідини (X_1), діаметр частинок фосфогіпсу (X_2), температура робочого середовища (X_3).

Інтервали зміни і кодовані значення основних змінних наведені в табл. 7.1.8. Параметром оптимізації є коефіцієнт масовіддачі Y .

Матриця планування і результати експериментальних досліджень наведені в табл. 7.1.9. При обробці результатів за методикою [3, 4, 5, 6, 7] на комп'ютері одержали рівняння регресії другого порядку, яке адекватно описує залежність коефіцієнта масовіддачі від досліджуваних параметрів:

$$\begin{aligned}
 Y = & 0,007532 + 0,0001567X_1 + 0,000115X_2 + \\
 & + 0,00112X_3 + 0,00034X_1 \cdot X_2 + 0,000292X_1 \cdot X_3 + \\
 & + 0,000371X_2 \cdot X_3 + 0,0000833X_1^2 + 0,00026X_2^2 + 0,0000915X_3^2
 \end{aligned} \quad (7.1.30)$$

Залишкова дисперсія для рівняння (7.1.30) дорівнює:

$S_{\text{залиш}}^2 = 0,2891 \cdot 10^{-6}$, дисперсія відтворення становить:

$S_{\text{відтв.}}^2 = 0,082 \cdot 10^{-6}$, де:

$$S_{\text{залиш}}^2 = \sum_{i=1}^n (Y_i - \bar{Y}_i)^2 / (N - l), \quad (7.1.31)$$

$$S_{\text{відтв.}}^2 = \sum_{i=1}^n (Y_i^0 - \bar{Y}_i)^2 / (m - 1), \quad (7.1.32)$$

де Y_i – значення i -го параметру оптимізації отримане із матриці планування експерименту, табл. 7.1.9; \bar{Y}_i – значення i -го параметру оптимізації отриманого з рівняння (7.1.30); N – число дослідів в матриці планування (табл. 7.1.9); l – число значимих коефіцієнтів у рівнянні регресії (7.1.30); Y_i^0 – значення i -го параметру оптимізації в серії паралельних дослідів; \bar{Y}_i^0 – середнє значення i -го параметру оптимізації (m – числа паралельних дослідів); m – число паралельних дослідів; $Y_{\text{теор}}$ – експериментальні значення функцій відклику; \bar{Y}_T – теоретичні значення функцій відклику, отримані на основі рівняння (7.1.30).

Значимість коефіцієнтів рівняння (7.1.30) визначалось за t_j – критерієм Стьюдента, який розраховували за допомогою такої залежності:

$$t_j = \frac{|b_j|}{Sb_j}, \quad (7.1.33)$$

де, b_j – значення j -го коефіцієнта рівняння регресії (7.1.30);

$$S_{b_j} = S_{\text{відтв.}}^2 / N \cdot m, \quad (7.1.34)$$

де $S_{\text{відтв.}}^2$ – дисперсія відтворення, розрахована за рівнянням (7.1.32); N – число дослідів у матриці планування (табл. 7.1.9); m – число паралельних дослідів у матриці планування (табл. 7.1.9).

Провірка значимості коефіцієнтів рівняння (7.1.30) за t_j – критерієм Стьюдента показала, що всі включені фактори суттєво впливають на кінетику розчинення фосфогіпсу.

Аналіз рівняння регресії (7.1.30) дозволив зробити висновок, що найбільший суттєвий вплив на кінетику розчинення фосфогіпсу має амплітуда коливань рідкої фази та її температура. Знайдена залежність коефіцієнта масовіддачі від діаметра частинок фосфогіпсу.

Залежність коефіцієнта масовіддачі Y від амплітуди коливань рідини X_1 , діаметра частинок X_2 і температури рідкого середовища X_3 наведені на рис. 7.1.10.

Таблиця 7.1.9

Матриця планування для трьох змінних

Номер	X_0	X_1	X_2	X_3	$Y_{\text{теор}} \cdot 10^3$	$\bar{Y}_T \cdot 10^3$
1	+1	-1	-1	-1	8,009	7,57
2	+1	+1	-1	-1	6,46	6,62
3	+1	-1	+1	-1	6,43	6,38
4	+1	+1	+1	-1	6,61	6,79
5	+1	-1	-1	+1	8,68	8,50
6	+1	+1	-1	+1	8,67	8,72
7	+1	-1	+1	+1	8,96	8,79
8	+1	+1	+1	+1	9,95	10,37
9	+1	-1,682	0	0	7,01	7,50
10	+1	+1,682	0	0	8,50	8,03
11	+1	0	-1,682	0	7,83	8,08
12	+1	0	+1,682	0	8,69	8,47
13	+1	0	0	-1,682	5,803	5,89
14	+1	0	0	+1,682	9,76	9,63
15	+1	0	0	0	7,84	7,54
16	+1	0	0	0	7,73	7,54
17	+1	0	0	0	7,37	7,54
18	+1	0	0	0	7,21	7,54
19	+1	0	0	0	7,79	7,54
20	+1	0	0	0	7,24	7,54

Вплив окремих параметрів процесу на кінетику розчинення фосфогіпсу вивчався методом січення поверхостей відклику за окремими параметрами. Залежність коефіцієнта масовіддачі від окремих параметрів при фіксації решти на окремому рівні отримані розрахунковим шляхом за рівнянням регресії (7.1.30). Із рис. 7.1.10 видно, що підвищення температури робочої рідини, амплітуди коливань \bar{Y}_T , а також збільшення діаметра частинок фосфогіпсу приводить до збільшення коефіцієнта масовіддачі, а значить і швидкості процесу розчинення фосфогіпсу в конкретному випадку його реалізації.

Важливою задачею було вияснити можливість збільшення коефіцієнта масовіддачі при зміні амплітуди коливань рідини і її температури при постійному діаметрі частинок фосфогіпсу. Розв'язок задачі проводився методом січення поверхонь відклику за окремими характеристиками.

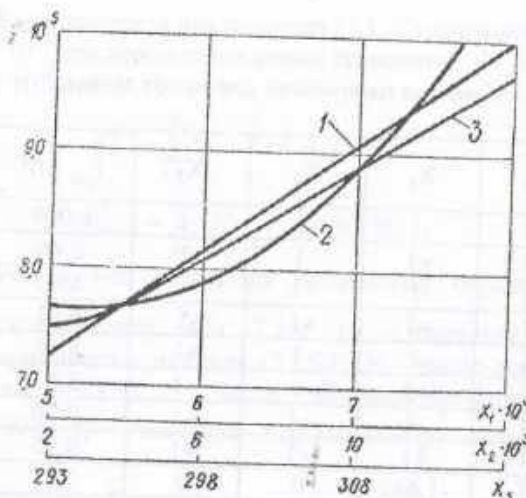


Рис. 7.1.10. Залежність коефіцієнта масовіддачі Y від амплітуди коливань рідини X_1 , діаметра частинок X_2 і температури рідкого середовища X_3

Розрахунок проводили на комп'ютері при постійному коефіцієнти масовіддачі і постійному діаметрі частинок фосфогіпсу. Результати наведені на рис. 7.1.11.

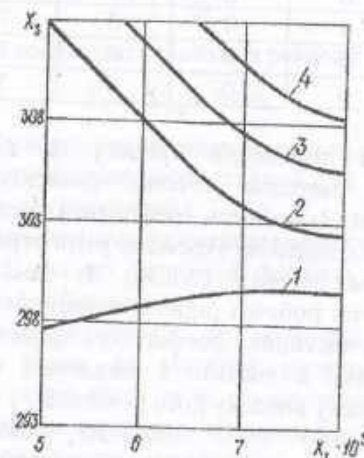


Рис. 7.1.11. Залежність коефіцієнта масовіддачі Y від амплітуди коливань рідини X_1 і п температури X_3

Із рис.7.1.11 видно, що для підтримування постійності коефіцієнта масовіддачі, необхідне збільшення амплітуди коливань рідини та зниження її температури і дозволяють визначити, як необхідно міняти ці параметри для отримання необхідного коефіцієнта масовіддачі.

$$1 - Y = \text{const} = 9 \cdot 10^{-5}, \text{ м/с}$$

$$2 - Y = \text{const} = 9.5 \cdot 10^{-5}, \text{ м/с}$$

$$3 - Y = \text{const} = 10 \cdot 10^{-5}, \text{ м/с}$$

$$4 - Y = \text{const} = 10.5 \cdot 10^{-5}, \text{ м/с}$$

$$Y, \text{м/с}; X_1, \text{м}; X_3, \text{К}; X_2 = \text{const} = 0.002 \text{м};$$

Для визначення умов, які дозволяють отримати максимальний коефіцієнт масовіддачі був використаний метод крутого сходження по градієнту. Отриманий оптимальний режим процесу розчинення фосфогіпсу у пристрой, наведений в табл. 7.1.10.

Таблиця 7.1.10.

Оптимальний режим отримання максимального коефіцієнта масовіддачі при розчиненні фосфогіпсу в пульсуючому потоці рідини

Коефіцієнт масовіддачі $Y, \text{м/с}$	Амплітуда коливань рідини $X_1 \cdot 10^3, \text{м}$	Діаметр частинок фосфогіпсу $X_2 \cdot 10^3, \text{м}$	Температура рідкої фази $X_3, \text{К}$
12,5	7,2	14,0	312,6

Отже, отримані в роботі теоретичні та експериментальні дослідження можуть бути використані для практичного застосування в реальній технологічній схемі переробки надзвичайно токсичних відходів, до яких належить фосфогіпс, що забруднює всі складові частини біосфери.

Питання до сьомого розділу

1. Коли був запропонований факторний експеримент і в чому його суть?
2. Що представляє матриця планування факторного експерименту?
3. Наведіть рівняння регресії повного факторного експерименту?
4. Коли використовуються моделі другого порядку?
5. В чому полягає суть дробного факторного експерименту?
6. Що таке градієнтні методи оптимізації?
7. Пояснити суть методу Гаусса-Зейделя і методу крутого сходження.

ДОДАТКИ

Таблиця Д. 1.

Значення функції Лапласа

$$\Phi(z) = \frac{1}{\sqrt{2\pi}} \int_0^z \exp\left(-\frac{Z^2}{2}\right) dz$$

z	Φ(z)	z	Φ(z)	z	Φ(z)
0.01	0.0040	0.90	0.3159	1.90	0.4713
0.03	0.0120	0.95	0.3289	1.90	0.4744
0.05	0.0199	1.00	0.3413	2.00	0.4772
0.07	0.0279	1.05	0.3531	2.10	0.4821
0.10	0.0398	1.10	0.3643	2.20	0.4861
0.15	0.0596	1.15	0.3749	2.30	0.4893
0.20	0.0793	1.20	0.3849	2.40	0.4918
0.25	0.0987	1.25	0.3944	2.50	0.4938
0.30	0.1179	1.30	0.4032	2.60	0.4953
0.35	0.1368	1.35	0.4115	2.70	0.4965
0.40	0.1554	1.40	0.4192	2.80	0.4974
0.45	0.1736	1.45	0.4265	2.90	0.4981
0.50	0.1915	1.50	0.4332	3.00	0.49865
0.55	0.2088	1.55	0.4394	3.20	0.49931
0.60	0.2257	1.60	0.4452	3.40	0.49966
0.65	0.2422	1.65	0.4505	3.60	0.49984
0.70	0.2580	1.70	0.4554	3.80	0.499928
0.75	0.2734	1.75	0.4599	4.00	0.499968
0.80	0.2881	1.80	0.4641	5.00	0.499997
0.85	0.3023	1.85	0.4678		

Таблиця Д. 2.

Значення критерію Фішера $F_{t,p}$
 $(f_1$ – число ступенів вільності більшої дисперсії,
 f_2 – число ступенів вільності меншої дисперсії)

Рівень значимості $p = 0.05$									
f_1	f_2								
	1	2	3	4	5	6	8	12	24
1	161	200	216	225	230	234	239	245	249
2	18.51	19.00	19.16	19.25	19.30	19.33	19.37	19.41	19.45
3	10.13	9.55	9.28	9.12	9.01	8.94	8.84	8.74	8.64
4	7.71	6.94	6.59	6.39	6.26	6.16	6.04	5.91	5.77
5	6.61	5.79	5.41	5.19	5.05	4.95	4.82	4.68	4.53
6	5.99	5.14	4.76	4.53	4.39	4.28	4.15	4.00	3.84
7	5.59	4.74	4.35	4.12	3.97	3.87	3.73	3.57	3.41
8	5.32	4.46	4.07	3.84	3.69	3.58	3.44	3.28	3.12
9	5.12	4.26	3.86	3.63	3.48	3.37	3.23	3.07	2.90
10	4.96	4.10	3.71	3.48	3.33	3.22	3.07	2.91	2.74
12	4.75	3.88	3.49	3.26	3.11	3.00	2.85	2.69	2.50
14	4.60	3.74	3.34	3.11	2.96	2.85	2.70	2.53	2.35
16	4.49	3.63	3.24	3.01	2.85	2.74	2.59	2.42	2.24
18	4.41	3.55	3.16	2.93	2.77	2.66	2.51	2.34	2.15
20	4.40	3.50	3.10	2.90	2.70	2.60	2.45	2.30	2.10
30	4.20	3.30	2.90	2.70	2.50	2.40	2.27	2.10	1.90
40	4.10	3.20	2.90	2.60	2.50	2.30	2.18	2.00	1.80
60	4.00	3.20	2.80	2.50	2.40	2.30	2.10	1.90	1.70

Закінчення табл. Д. 2.

f_1	Рівень значимості $p = 0.01$								
	1	2	3	4	5	6	8	12	24
1	4052	4999	5403	5625	5764	5859	5981	6106	6234
2	98.5	99.0	99.2	99.3	99.3	99.3	99.4	99.4	99.5
3	34.1	30.8	29.5	28.7	28.2	27.9	27.5	27.1	26.6
4	21.2	18.0	16.7	16.0	15.5	15.2	14.8	14.4	13.9
5	16.3	13.3	12.1	11.4	11.0	10.7	10.3	9.9	9.5
6	13.7	10.9	9.8	9.2	8.8	8.5	8.1	7.7	7.3
7	12.3	9.6	8.5	7.9	7.5	7.2	6.8	6.5	6.1
8	11.3	8.7	7.6	7.0	6.6	6.4	6.0	5.7	5.3
9	10.6	8.0	7.0	6.4	6.1	5.8	5.5	5.1	4.7
10	10.0	7.6	6.6	6.0	5.6	5.4	5.1	4.7	4.3
12	9.3	6.9	6.0	5.4	5.1	4.8	4.5	4.2	3.8
14	8.9	6.5	5.6	5.0	4.7	4.5	4.1	3.8	3.4
16	8.5	6.2	5.3	4.8	4.4	4.2	3.9	3.6	3.2
18	8.3	6.0	5.1	4.6	4.3	4.0	3.7	3.4	3.0
20	8.1	5.9	4.9	4.4	4.1	3.9	3.6	3.3	2.9
30	7.6	5.4	4.5	4.0	3.7	3.5	3.2	2.8	2.5
40	7.3	5.2	4.3	3.8	3.5	3.3	3.0	2.7	2.3
60	7.1	5.0	4.1	3.7	3.3	3.1	2.8	2.5	2.1

Таблиця Д. 3.

Значення критерію Стьюдента $t_{t,p}$

f	Рівні значимості p					
	0.3	0.2	0.1	0.05	0.02	0.01
1	1.96	3.07	6.31	12.70	31.82	63.66
2	4.39	1.89	2.92	4.30	6.96	9.92
3	1.25	1.64	2.35	3.18	4.54	5.84
4	1.19	1.53	2.13	2.78	3.75	4.60
5	1.16	1.48	2.02	2.57	3.36	4.03
6	1.13	1.44	1.94	2.45	3.14	3.71
7	1.12	1.42	1.90	2.36	3.00	3.50
8	1.11	1.40	1.86	2.30	2.90	3.36
9	1.10	1.38	1.83	2.26	2.82	3.25
10	1.09	1.37	1.81	2.23	2.76	3.17
11	1.09	1.36	1.80	2.20	2.72	3.11
12	1.08	1.36	1.78	2.18	2.68	3.06
14	1.08	1.34	1.76	2.14	2.62	2.98
16	1.07	1.34	1.75	2.12	2.58	2.92
20	1.06	1.32	1.72	2.09	2.53	2.84
25	1.06	1.32	1.71	2.06	2.48	2.79
30	1.05	1.31	1.70	2.04	2.46	2.75
60	1.04	1.30	1.67	2.00	2.39	2.66

Таблиця Д. 4.

Значення критерію $\chi^2_{t,p}$

Число ступенів вільності	Рівні значимості p							
	0.99	0.95	0.90	0.80	0.20	0.10	0.05	0.01
1	0.00016	0.0039	0.015	0.064	1.64	2.70	3.84	6.63
2	0.020	0.10	0.21	0.44	3.21	4.60	6.00	9.21
3	0.115	0.35	0.58	1.00	4.64	6.25	7.81	11.34
4	0.297	0.71	1.06	1.64	5.98	7.77	9.48	13.27
5	0.554	1.14	1.61	2.34	7.28	9.23	11.07	15.08
6	0.872	1.63	2.20	3.07	8.55	10.64	12.59	16.81
7	1.24	2.16	2.83	3.82	9.80	12.01	14.06	18.47
8	1.65	2.73	3.49	4.59	11.03	13.36	15.50	20.09
9	2.08	3.32	4.16	5.38	12.24	14.68	16.91	21.66
10	2.55	3.94	4.86	6.17	13.44	15.98	18.30	23.20
11	3.05	4.57	5.57	6.98	14.63	17.27	19.67	24.72
12	3.57	5.22	6.30	7.80	15.81	18.54	21.02	26.21
13	4.10	5.89	7.04	8.63	16.98	19.81	22.36	27.68
14	4.66	6.57	7.79	9.46	18.15	21.06	23.68	29.14
15	5.22	7.26	8.54	10.30	19.31	22.30	24.99	30.57
16	5.81	7.96	9.31	11.15	20.46	23.54	26.29	32.00
17	6.40	8.67	10.08	12.00	21.61	24.76	27.58	33.40
18	7.01	9.39	10.86	12.85	22.76	25.98	28.86	34.80
19	7.63	10.11	11.65	13.71	23.90	27.20	30.14	36.19
20	8.26	10.85	12.44	14.57	25.03	28.41	31.41	37.56
21	8.89	11.59	13.24	15.44	26.17	29.61	32.68	38.93
22	9.54	12.33	14.04	16.31	27.30	30.81	33.92	40.28
23	10.19	13.09	14.84	17.18	28.42	32.00	35.17	41.63
24	10.85	13.84	15.65	18.06	29.55	33.19	36.41	42.98
25	11.52	14.61	16.47	18.94	30.67	34.38	37.65	44.31
26	12.19	15.37	17.29	19.82	31.79	35.56	38.88	45.64
27	12.87	16.15	18.11	20.70	32.91	36.74	40.11	46.96
28	13.56	16.92	18.93	21.58	34.02	37.91	41.33	48.27
29	14.25	17.70	19.76	22.47	35.13	39.08	42.55	49.58
30	14.95	18.49	20.59	23.36	36.25	40.25	43.77	50.89

Таблиця Д. 5.

Вміст вологи у повітрі (d , г H_2O на 1кг сухого повітря)
та енталпія (i , кДж/кг сухого повітря) при різній відносній
вологості та температурі

T, K	$\varphi = 90\%$		$\varphi = 80\%$		$\varphi = 70\%$		$\varphi = 60\%$	
	d	i	d	i	d	i	d	i
268	2.27	0.63	2.02	0.00	1.76	-0.63	1.51	-1.26
273	3.46	8.62	3.07	7.66	2.69	6.70	2.30	5.74
278	4.95	17.42	4.40	16.04	3.85	14.65	3.29	13.27
283	7.00	27.63	6.21	25.62	5.43	23.70	4.65	21.73
288	9.76	39.69	8.66	36.89	7.56	34.12	6.47	31.36
293	13.46	54.18	11.94	50.28	10.42	46.47	8.91	42.62
298	18.39	71.85	16.29	66.53	14.21	61.21	12.14	55.94

Продовження таб. Д.5.

T, K	$\varphi = 50\%$		$\varphi = 40\%$		$\varphi = 30\%$		$\varphi = 20\%$	
	$d \cdot 10^3$	i						
268	1.26	-1.38	1.01	-2.51	0.75	-3.14	0.50	-3.77
273	1.92	4.81	1.53	3.81	1.15	-2.89	0.77	1.93
278	2.74	11.89	2.19	10.51	1.64	9.13	1.09	7.75
283	3.87	19.76	3.09	17.79	2.31	15.83	1.54	13.90
288	5.38	28.60	4.30	25.87	3.22	23.15	2.14	20.43
293	7.41	38.81	5.91	35.00	4.42	31.23	2.94	27.51
298	10.08	50.70	8.04	45.51	6.01	40.36	8.91	35.21

Таблиця Д. 6.

Енталпія перегрітої пари в залежності від тиску
i температури, кДж/кг

t, °C	Тиск, Н / м ² · 10 ⁻⁵					
	0.01	0.1	1.0	3.0	5.0	10.0
700	3931	3931	3929	3927	3925	3923
750	4043	4043	4042	4041	4040	4037
800	4157	4157	4157	4157	4156	4154
850	4276	4276	4276	4275	5274	4272
900	4395	4395	4395	4395	4394	4392

Таблиця Д. 7.

Середня масова теплоємкість газів (кДж/кг · град)

T, K	Г а з			
	N ₂	O ₂	SO ₂	SO ₃
873	1.078	0.990	0.741	0.838
973	1.089	1.003	0.754	0.862
1073	1.100	1.017	0.776	0.883
1173	1.110	1.026	0.775	0.901

Список рекомендованої літератури

1. Абаджев С.С., Семенишин Д.І., Ятчишин Й.Й., та ін. Фізикохімічні (інструментальні) методи аналізу. Конспект лекцій з курсу «Аналітична хімія». Частина II – Львів: Видавництво НУ «Львівська політехніка», 2004. -116с.
2. Астрелін І.М., Запольский В.І., Прокоф'єва Г.М. Теорія процесів виробництв неорганічних речовин. – К.: Вища школа, 1992. -397с.
3. Ахназарова С.А., Кафаров В.В. Оптимизация эксперимента в химии и химической технологии. – М.: Высшая школа, 1978. – 318с.
4. Батунер Л.М., Позин М.Е. Математические методы в химической технике. – Л.: Химия, 1968. – 820с.
5. Бенедек П., Ласло А. Научные основы химической технологии. – Л.: Химия, 1970. – 376с.
6. Бондар А.Г. Математическое моделирование в химической технологии. – К.: Вища школа, 1973. - 279с.
7. Бояринов А.И., Кафаров В.В., Методы оптимизации в химической технологии. – М.: Химия, 1969. – 564с.
8. Васильев В.П.Аналитическая химия. В 2 ч.. Ч.2. Физикохимические методы анализа. – М.: Высшая школа, 1989.- 384с.
9. Владимиров А.М., Ляхин Ю.И., Матвеев Л.Т., Орлов В.Г. Охрана окружающей среды. –Л.: Гидрометеоиздат, 1994. – 422с.
10. Вознесенский П.И. Техника лабораторных работ. – М.:Химия, 1989 – 512 с.
11. Гмурман В.Е., Теория вероятностей и математическая статистика. – М.: Высшая школа, 2001. – 478с.
12. Даниэль Ф., Оберти Р. Физическая химия / пер. С англ/. – М.: Мир, 1978. – 645с.
13. Драйпер Н., Смит Н. Прикладной регрессионный анализ. – М.: Статистика, 1973. – 392с.
14. Доерфель К., Статистические методы в аналитической химии / пер.с нем./. – М.: Химия, 1969. – 222с.
15. Еремин Е.Н. Основы химической термодинамики. – М.: Высшая школа, 1978. – 390с.
16. Заекгейм А.Ю. Введение в моделирование химикотехнологических процессов. – М.: Химия, 1982. – 287с.
17. Захарьевский М.С. Кинетика и катализ. – Л.: Изд-во Ленингр. Ун-та, 1963. – 312с.
18. Жидков Б.А., Бондарь А.Г. Алгоритмизация расчетов в химической технологии. – К.: Вища школа, 1970. – 270с.

19. Кулаков М.В.Технологические измерения и приборы для химических производств. – М.: Машиностроение, 1983. – 424с.
20. Касаткин А.Г. Основные процессы и аппараты химической технологии. –М.: Химия, 1973. – 784с.
21. Кафаров В.В. Методы кибернетики в химии и химической технологии. – М.: Химия, 1976. – 484с.
22. Квіт Д.І. Випадкова подія та випадкова змінна. – Львів.: Вид-во Львів.ун-ту, 1966.-140с.
23. Коган В.Б. Теоретические основы типовых процессов химической технологии. – Л.: Химия, 1977. – 592с.
24. Клименко М.О., Прищепа А.М., Вознюк Н.М. Моніторинг довкілля. – К.: Академія, 2006. – 360с.
25. Кутепов А.М., Бондарева Т.И., Беренгартен М.Г. Общая химическая технология. – М.: Высшая школа, 1990. – 520с.
26. Крестовникова А.Н., Вигдорович В.Н. Химическая термодинамика. – М.: ГНТИ, 1962. – 280с.
27. Лаптев А .А., Приемов С. И.,Родичкин С. И.,Шемшученко Ю. С. Охрана и оптимизация окружающей среды. – К.:Лыбидь, 1990. – 512 с.
28. Липатов Л.Н. Типовые процессы химической технологии как объекты управления. – М.: Химия, 1973.-812с.
29. Общая химическая технология / под ред. И.П.Мухленова/. Ч. 1. Теоретические основы химической технологии. М.: Высшая школа, Ч. 2. Важнейшие химические производства. М.: Высшая школа, 1977.
30. Налимов В.В., Чернова Н.А, Статистические методы планирования экстремальных экспериментов. – М.: Наука, 1965. – 340с.
31. Плановский А.Н., Николаева П.И. Процессы и аппараты химической и нефтехимической технологии. – М.: Химия, 1987. – 496с.
32. Плановский А.Н., Рамм В.М., Каган С.З. Процессы и аппараты химической технологии. – М.: Химия, 1974. – 848с.
33. Панчеков Г.М., Лебедев В.П.Химическая кинетика и катализ. – М.: Химия, 1985 – 592с.
34. Пустыльник Е.И. Статистические методы анализа и обработки наблюдений. – М.: Наука, 1968. – 288с.
35. Родионов А.И., Клушин В.Н.,Торочешников Н.С. Техника защиты окружающей среды.- М.: Химия, 1989. – 512 с..
36. Романков П.Г., Курочкина М.И. Примеры и задачи по курсу «Процессы и аппараты химической промышленности. – Л.: Химия, 1984. – 229с.
37. Рузинов Л.П. Статистические методы оптимизации химических процессов. – М.: Химия, 1972. – 198с.
38. Розенброк Х., Стори С. Вычислительные методы для инженеров-химиков / пер.с англ. /. – М.: Мир, 1968. – 444с.

39. Рудавський Ю.К., Мокрій Є.М., Піх З.Г., Чип І.Й., Куриляк І.Й. Математичні методи в хімії та хімічній технології. – Львів: Світ, 1993. – 206с.
40. Солтис М.М., Закордонський В.П. Теоретичні основи процесів хімічної технології. – Львів: Видавничий центр ЛНУ ім. І. Франка, 2003. – 430с.
41. Саутин С.Н., Пунин А.Е. Мир комп'ютеров и химической технологии. – Л.: Химия. 1991. -142с.
42. Тарасова В. В., Малиновський. А.С., Рибак М.Ф. Екологічна стандартизація і нормування антропогенного навантаження на природне середовище. – К.: Центр учебової літератури, 2007. - 276 с.
43. Уайлд Д.Л. Методы поиска экстремума. – М.: Наука, 1967. – 267с.
44. Царева З.М., Орлова Е.И. Теоретические основы химической технологии. – К.: Вища школа, 1986. – 271с.
45. Эмануэль Н.М., Кнорре Д.Г. Курс химической кинетики. – М.: Высшая школа, 1969. – 432с.

ЗМІСТ

Передмова.....	3
Розділ 1. Загальні відомості про вимірювання, засоби вимірювання і їх похиби.....	4
1. Основні поняття про вимірювання і засоби вимірювання.....	4
§ 1.1. Основні поняття про вимірювання.....	4
§ 1.2. Засоби вимірювання і їх основні елементи.....	6
§ 1.3. Похиби вимірювальних приладів.....	11
§ 1.4. Статистичне опрацювання результатів спостережень.....	17
§ 1.5. Регресійний аналіз результатів вимірювань.	
Метод найменших квадратів.....	19
Розділ 2. Прилади для вимірювання відносної вологості навколишнього середовища.....	25
2. Методи і прилади для вимірювання вологості газів.....	25
§ 2.1. Психрометричний метод вимірювання відносної вологості.....	25
§ 2.2. Електричні психрометри.....	29
§ 2.3. Конденсаційні гігрометри.....	30
§ 2.4. Сорбційні методи вимірювання вологості.....	31
§ 2.4.1. Сорбційно-електролітичні вологоміри (гігрометри).....	31
§ 2.4.2. Сорбційно-кулонометричні вологоміри.....	33
§ 2.4.3. П'єзосорбційні гігрометри.....	35
Розділ 3. Вимірювання температури навколишнього середовища.....	39
3. Методи і прилади для вимірювання температури навколишнього середовища.....	39
§ 3.1. Основні поняття, температурні шкали.....	39
§ 3.2. Класифікація приладів для вимірювання температур.....	42
§ 3.2.1. Манометричні термометри.....	43
§ 3.2.2. Контактний манометричний термометр.....	44
§ 3.2.3. Манометричні газові термометри.....	45
§ 3.2.4. Манометричні рідинні термометри.....	46
§ 3.2.5. Манометричні конденсаційні термометри.....	47
3.3. Термоелектричні термометри.....	49
§ 3.3.1. Термоелектричний ефект.....	49
§ 3.3.2. Увімкнення третього провідника в коло термоелектричного перетворювача.....	51
§ 3.3.3. Термоелектричні матеріали і термоелектричні перетворювачі.....	53
§ 3.3.4. Способи компенсації зміни температури вільних кінців термоелектричного перетворювача.....	58

§ 3.3.5. Прилади для вимірювання термоелектрорушійних сил.....	60
3.4. Термометри опору.....	64
§ 3.4.1. Загальні відомості, матеріали для виготовлення термометрів опору.....	64
3.5. Вимірювальні прилади термометрів опору.....	69
3.6. Пірометри випромінювання.....	70
§ 3.6.1. Теоретичні основи вимірювання температури.....	70
§ 3.6.2. Квазімонохроматичні пірометри.....	73
§ 3.6.3. Пірометри повного випромінювання.....	76
Розділ 4. Вимірювання тиску.....	79
4. Основні поняття.....	79
§ 4.1. Одиниці вимірювання тиску та співвідношення між ними.....	79
§ 4.2. Класифікація приладів для вимірювання тиску.....	80
4.3. Рідинні прилади.....	80
§ 4.3.1. Прилади з видимим рівнем.....	81
§ 4.3.2. Прилади без видимого рівня.....	84
4.4. Прилади для вимірювання тиску з пружинними чутливими елементами.....	92
§ 4.4.1. Прилади з трубчастими пружинами.....	93
§ 4.4.2. Мембрани і сильфонні прилади.....	99
4.5. Основні відомості про вибір, встановлення і захист від агресивних середовищ приладів тиску.....	103
4.6. Електричні манометри і вакууметри.....	105
§ 4.6.1. Манометри опору.....	106
§ 4.6.2. П'єзослабічні манометри.....	108
§ 4.6.3. Теплопровідні манометри.....	111
§ 4.6.4. Йонізаційні вакуумметри і манометри.....	112
Розділ 5. Вимірювання кількості і витрат.....	115
5. Основні поняття, одиниці вимірювання.....	115
5.1. Вимірювання кількості рідин і газу.....	117
§ 5.1.1. Об'ємні лічильники для рідин.....	117
§ 5.1.2. Швидкісні лічильники для рідин.....	119
§ 5.1.3. Лічильники кількості газів.....	121
5.2. Витратоміри змінного перепаду тиску.....	122
§ 5.2.1. Основи теорії.....	122
§ 5.2.2. Обчислювальні формули.....	126
5.3. Витратоміри динамічного тиску.....	131
5.4. Витратоміри постійного перепаду тиску.....	134
5.5. Безконтактні витратоміри.....	139
§ 5.5.1. Електромагнітні витратоміри.....	140

Розділ 6. Методи і прилади для аналізу складу і вимірювання параметрів речовин і довкілля.....	143
6. Загальні відомості, класифікація методів і приладів для аналізу складу і вимірювання параметрів речовин і довкілля.....	143
6.1. Хроматографічний метод аналізу.....	144
§ 6.1.1. Загальні відомості. Фізичні основи методу.....	144
§ 6.1.2. Газовий хроматограф і його основні елементи.....	151
6.2. Спектральні оптичні методи аналізу.....	158
§ 6.2.1. Характеристика діапазону електромагнітного випромінювання.....	158
§ 6.2.2. Механізм і закономірності випромінювання електромагнітних коливань атомами.....	161
§ 6.2.3. Структура і характеристика елементів спектральних приладів.....	162
§ 6.2.4. Якісний емісійний спектральний аналіз.....	164
§ 6.2.5. Кількісний аналіз.....	167
§ 6.2.6. Полум'яно-фотометричний аналіз.....	168
§ 6.2.7. Коротка характеристика атомно-абсорбційного аналізу.....	169
§ 6.2.8. Молекулярно-абсорбційні методи аналізу.....	171
§ 6.2.9. Якісний аналіз.....	174
§ 6.2.10. Закон Бугера-Ламберта-Бера.....	175
§ 6.2.11. Схема приладів для вимірювання спектра поглинання.....	176
§ 6.2.12. Кількісний фотоколометричний аналіз.....	177
§ 6.2.13. Фотоелектроколориметричне титрування.....	178
§ 6.2.14. Турбідиметрія і нефелометрія.....	179
§ 6.2.15. Газоаналізатори хімічні.....	180
§ 6.2.16. Газоаналізатор УГ-2.....	184
Розділ 7. Методи планування та оптимізації моніторингу навколошнього середовища.....	194
7. Факторний експеримент.....	194
§ 7.1. Моделі другого порядку.....	202
§ 7.2. Оптимізація моніторингу довкілля.....	206
§ 7.3. Градієнтні методи оптимізації моніторингу довкілля.....	206
§ 7.4. Практичне застосування методу планування і оптимізації експерименту.....	216
Додатки.....	223
Список рекомендованої літератури.....	230

Навчальне видання

**Юрим Микола Федорович
Сибірний Андрій Володимирович
Мартиняк Олег Володимирович
Гринчишин Наталя Миколаївна**

ПРИЛАДИ І МЕТОДИ МОНІТОРИНГУ НАВКОЛИШНЬОГО СЕРЕДОВИЩА

Навчальний посібник

Літературний редактор: **Марта Лабач**

Технічний редактор, верстка
та відповідальний за випуск: **Микола Фльорко**

Підписано до друку: 14.09.2009 р.
Формат 60×84/16. Гарнітура Times New Roman.
Друк на різографі. Папір офсетний. Наклад: 100.
Ум. друк. арк. 14,75. Обл.вид.арк. 14,5.

Друк ЛДУ БЖД
79007, Україна, м. Львів, вул. Клепарівська, 35
тел./факс: (8-032) 233-32-40, 233-24-79
e-mail: mail@ubgd.lviv.ua, ndr@ubgd.lviv.ua